



ผลของโมลีบดินัม และกรรมวิธีทางความร้อนต่อโครงสร้างจุลภาค
และสมบัติของเหล็กหล่อโครเมียมสูง

EFFECTS OF MOLYBDENUM AND HEAT TREATMENT
ON MICROSTRUCTURE AND PROPERTIES OF HIGH CHROMIUM
CAST IRONS

นายศรัณย์ พลับเบียง รหัส 49364752
นางสาวอรทัย เทียนสีเมือง รหัส 49362437

พิมพ์ลงนามในแบบนี้เท่านั้น
วันที่รับ 10 ก.ค. 2555
เลขที่บัญชี..... 15905213
ลงชื่อ..... H.S.
มหาวิทยาลัยนเรศวร ณ/161 W

ปริญญา呢พนนีเป็นส่วนหนึ่งของการศึกษาหลักสูตรปริญญาวิศวกรรมศาสตรบัณฑิต
สาขาวิชาวิศวกรรมวัสดุ ภาควิชาวิศวกรรมอุตสาหการ
คณะวิศวกรรมศาสตร์ มหาวิทยาลัยนเรศวร
ปีการศึกษา 2552



ใบรับรองปริญญาบัตร

ชื่อหัวข้อโครงการ ผลของโน้มลิบดินมั่น และกรรมวิธีทางความร้อนต่อโครงสร้างจุลภาค
และสมบัติของเหล็กหล่อโครงเมียมสูง

ผู้ดำเนินโครงการ นายศรัณย์ พลับเที่ยง รหัส 49364752
นางสาวอรทัย เทียนสีเมือง รหัส 49362437

ที่ปรึกษาโครงการ อาจารย์ชุลีพรย์ ป่าaire

สาขาวิชา วิศวกรรมวัสดุ

ภาควิชา วิศวกรรมอุตสาหการ

ปีการศึกษา 2552

คณะวิศวกรรมศาสตร์ มหาวิทยาลัยนเรศวร อนุมัติให้ปริญญาบัตรนี้เป็นส่วนหนึ่ง
ของการศึกษาตามหลักสูตรวิศวกรรมศาสตรบัณฑิต สาขาวิชาวิศวกรรมวัสดุ

.....ที่ปรึกษาโครงการ

(อาจารย์ชุลีพรย์ ป่าaire)

.....ประธานกรรมการ

(อาจารย์นพวรรณ ไม้ทอง)

.....กรรมการ

(อาจารย์กฤษณา พุฒสวัสดิ์)

.....กรรมการ

(อาจารย์ปิยันันท์ บุญพยัคฆ์)

.....กรรมการ

(อาจารย์ศิริกาญจน์ ขันสัมฤทธิ์)

ชื่อหัวข้อโครงการ	ผลของโน้มลิบดินมัม และกรรมวิธีทางความร้อนต่อโครงสร้างจุลภาค และสมบัติของเหล็กหล่อโครงเมียมสูง		
ผู้ดำเนินโครงการ	นายศรัณย์ พลับเทียง รหัส 49364752		
	นางสาวอรทัย เทียนสีม่วง รหัส 49362437		
ที่ปรึกษาโครงการ	อาจารย์ชุลีพรย์ ป่าไร่		
สาขาวิชา	วิศวกรรมวัสดุ		
ภาควิชา	วิศวกรรมอุตสาหการ		
ปีการศึกษา	2552		

บทคัดย่อ

โครงการนี้ได้ศึกษาผลของกรรมวิธีทางความร้อนต่อโครงสร้างจุลภาค และสมบัติของเหล็กหล่อโครงเมียมสูงร้อยละ 25 โดยนำน้ำหนักที่ไม่เติมโน้มลิบดินมัม และเติมโน้มลิบดินมาร้อยละ 0.7 โดยน้ำหนัก โดยนำเหล็กหล่อสภาพหล่อทั้งสองไปอบดีสเตรบีไลเซ็นที่อุณหภูมิ 900 ถึง 1100 องศาเซลเซียส เป็นเวลา 2, 4 และ 8 ชั่วโมง จากนั้นนำมาอบใหม่เปอร์งที่อุณหภูมิ 350 ถึง 600 องศาเซลเซียส เป็นเวลา 4 ชั่วโมง ศึกษาโครงสร้างจุลภาคของชิ้นงานก่อน และหลังกรรมวิธีทางความร้อน ด้วยกล้องจุลทรรศน์แสง กล้องจุลทรรศน์อิเล็กตรอนแบบส่องกราด วิเคราะห์ปริมาณธาตุศึกษาชนิดเพสต์ด้วยเทคนิคการเลี้ยวเบนของรังสีเอ็กซ์ และทดสอบความแข็งแบบวิกเกอร์ จากผลการทดลองพบว่าโครงสร้างจุลภาคในสภาพหล่อของเหล็กหล่อทั้งสอง ประกอบด้วยเดนไครท์ของอสเทเนนไนต์-ปั๊มนูนิล้อมรอบด้วยยูเกตติกคาร์ไบด์-อสเทเนนไนต์ หลังการอบดีสเตรบีไลเซ็นท์ประกอบด้วยคาร์ไบด์-ทุติยภูมิที่ตกตะกอนในอสเทเนนไนต์ปั๊มนูนิชีงเบลี่ยนเป็นมาแทนไชซ์ท์ระหว่างการเย็นตัวในอากาศ การอบใหม่เปอร์งหลังการอบดีสเตรบีไลเซ็นทำให้ปริมาณเฟสมาแทนไชซ์ท์ และคาร์ไบด์ทุติยภูมิเพิ่มขึ้น โดยเฉพาะเหล็กหล่อที่เติมโน้มลิบดินมัม จากการทดสอบความแข็งพบว่าการอบดีสเตรบีไลเซ็นในเหล็กหล่อทั้งสองความแข็งเพิ่มขึ้นจากสภาพหล่อ เนื่องจากการตกตะกอนของการไบค์ทุติยภูมิในมาแทนไชซ์ท์ หลังการอบใหม่เปอร์งพบว่าในเหล็กหล่อที่ไม่เติมโน้มลิบดินมัมความแข็งใกล้เคียงกับหลังการอบดีสเตรบีไลเซ็น ส่วนเหล็กหล่อที่เติมโน้มลิบดินมัมความแข็งสูงกว่าการอบดีสเตรบีไลเซ็นอาจเนื่องมาจากการตกตะกอนของโน้มลิบดินมัมคาร์ไบด์แต่เมื่ออบใหม่เปอร์งที่อุณหภูมิสูงกว่า 550 องศาเซลเซียส ความแข็งของเหล็กหล่อทั้งสองมีแนวโน้มลดลงต่ำกว่าในสภาพหล่ออาจเนื่องจากการเกิดโครงสร้างเพอร์ไรท์

กิตติกรรมประกาศ

การจัดทำโครงการในครั้งนี้สามารถดูล่วงไปได้ด้วยดี เนื่องจากได้รับคำแนะนำ อบรม ให้ความรู้ จากท่านอาจารย์ชุลีพรย์ ป่าໄเร และอาจารย์อัมพร เวียงมูล ที่ช่วยชี้แนะแนวทางที่เป็นประโยชน์ต่อการทำโครงการวิจัยในครั้งนี้ จึงขอขอบพระคุณเป็นอย่างยิ่งไว้ ณ ที่นี่

ขอขอบพระคุณอาจารย์ภาควิชาอุตสาหการทุกท่านที่ให้คำแนะนำช่วยเหลือในการจัดทำโครงการวิจัย

ขอขอบพระคุณอาจารย์ภาควิชาอุตสาหการทุกท่านที่ให้คำแนะนำช่วยเหลือในการจัดทำโครงการวิจัย

ขอขอบพระคุณอาจารย์อัมพร เวียงมูล ภาควิชาพิสิกส์ คณะวิทยาศาสตร์ มหาวิทยาลัย-นเรศวร ที่ให้ความอนุเคราะห์เครื่องมือ อุปกรณ์ และสถานที่ในการทำงานทดลอง และงบประมาณ ด้านๆ

ขอขอบพระคุณเจ้าหน้าที่ที่อำนวยความสะดวกในด้านต่างๆ

ขอขอบพระคุณคณะวิศวกรรมศาสตร์ มหาวิทยาลัยนเรศวร ที่ให้สถานที่เรียน

ขอขอบพระคุณบิดา-มารดา ที่สนับสนุนค่าใช้จ่ายตลอดระยะเวลาที่ศึกษา และเพื่อนๆ ที่เป็นกำลังใจในการทำรูปเล่มครั้งนี้

ผู้ดำเนินโครงการ
ศรัณย์ พลับเที่ยง
อรทัย เทียนสีเมือง

เมษายน 2554

สารบัญ

หน้า

ใบรับรองปริญญาบัตร.....	ก
บทคัดย่อ.....	ข
กิตติกรรมประกาศ.....	ค
สารบัญ.....	ง
สารบัญตาราง.....	จ
สารบัญรูป.....	ช
บทที่ 1 บทนำ.....	1
1.1 ความเป็นมา และความสำคัญของโครงการ.....	1
1.2 วัตถุประสงค์ของโครงการ.....	1
1.3 เกณฑ์ชี้วัดผลงาน (Output)	1
1.4 เกณฑ์ชี้วัดผลสำเร็จ (Outcome).....	1
1.5 ขอบเขตในการดำเนินโครงการ	2
1.6 แผนการดำเนินโครงการ	2
บทที่ 2 หลักการ และทฤษฎีเบื้องต้น	3
2.1 เหล็กหล่อโครงเมียมสูง	3
2.2 แผนภาพของระบบเหล็ก-โครงเมียม-คาร์บอน	6
2.3 เหล็กหล่อโครงเมียมสูงอสเทนนิติก	8
2.4 เหล็กหล่อโครงเมียมสูงมาร์เทนซิติก	9
2.5 เหล็กหล่อผสมโครงเมียม-โมลิบดินัม	10
2.6 กรรมวิธีทางความร้อนเหล็กหล่อโครงเมียมสูง	11
2.7 การกระจายของการรีบด์.....	12
2.8 การใช้งานของเหล็กหล่อโครงเมียมสูง	13
2.9 บทความวิจัยที่เกี่ยวข้อง.....	16

สารบัญ (ต่อ)

	หน้า
บทที่ 3 วิธีดำเนินโครงการ	17
3.1 วัตถุดิบ และส่วนผสมทางเคมี	17
3.2 กรรมวิธีทางความร้อน	17
3.3 การศึกษาโครงสร้างจุลภาค	19
3.4 การศึกษานิติฟิส	20
3.5 การวิเคราะห์ปริมาณธาตุ	21
3.6 การทดสอบความแข็ง	21
บทที่ 4 ผลการทดลอง และวิเคราะห์	22
4.1 ศึกษาโครงสร้างจุลภาคหลังการหล่อ	22
4.2 ผลการตรวจสอบโครงสร้างจุลภาค และความแข็งหลังกรรมวิธีทางความร้อน หลังการอบดีสเตบีไลเซน	31
4.3 ผลของกรรมวิธีทางความร้อนหลังการอบเทมเปอร์ิ่ง	41
บทที่ 5 บทสรุป และข้อเสนอแนะ	60
5.1 สรุปผล	60
5.2 ข้อเสนอแนะ และการพัฒนา	60
5.3 ปัญหา และแนวทางการแก้ไข	60
เอกสารอ้างอิง	61
ภาคผนวก ก	62
ประวัติผู้ดำเนินโครงการ	67

สารบัญตาราง

ตารางที่	หน้า
1.1 แผนการดำเนินงานวิจัยตลอดโครงการ.....	2
2.1 ชนิดของโครงเมียมคาร์ไบด์ และความแข็ง.....	4
2.2 ส่วนผสม และความแข็งของเหล็กหล่อโครงเมียม (BS 4844).....	5
2.3 ส่วนผสมทางเคมีของเหล็กหล่อโครงเมียมสูง (ASTM A532 87)	5
3.1 ส่วนผสมทางเคมีของเหล็กหล่อโครงเมียมสูงที่ใช้ในการทดลอง.....	17
3.2 สภาพการอบดีสเตบีไลเซนชั่นของชิ้นงานที่ใช้ในการทดลอง.....	18
3.3 สภาพการอบเทมเพอร์ริ่งของเหล็กหล่อโครงเมียมสูงชนิด A และ B	18
4.1 ปริมาณชาตุโครงเมียม เหล็ก โมลิบดินัม และคาร์บอน (ร้อยละโดยน้ำหนัก) ในยูทิคติกการไบด์ และเดนไครท์ ในสภาพหล่อของเหล็กหล่อที่ไม่เติมโมลิบดินัม.....	28
4.2 ปริมาณชาตุโครงเมียม เหล็ก โมลิบดินัม และคาร์บอน (ร้อยละโดยน้ำหนัก) ในยูทิคติกการไบด์ และเดนไครท์ ในสภาพหล่อของเหล็กหล่อที่เติมโมลิบดินัม.....	29
4.3 ศึกษาผลของการอุณหภูมิในการอบดีสเตบีไลเซนชั่นต่อการตกตะกอนของขนาด ของคาร์ไบด์ทุติยภูมิของเหล็กหล่อโครงเมียมสูงไม่เติมโมลิบดินัม	36
4.4 ศึกษาผลของการเวลาในการอบดีสเตบีไลเซนชั่นต่อการตกตะกอนของขนาด ของคาร์ไบด์ทุติยภูมิของเหล็กหล่อโครงเมียมสูงไม่เติมโมลิบดินัม.....	36
ก.1 ผลของการอบดีสเตบีไลเซนชั่นต่อความแข็งของเหล็กหล่อโครงเมียมสูงที่ไม่เติมโมลิบดินัม..	63
ก.2 ผลของการอบดีสเตบีไลเซนชั่นต่อความแข็งของเหล็กหล่อโครงเมียมสูงที่เติมโมลิบดินัม.....	64
ก.3 ผลของการอบดีสเตบีไลเซนชั่น และการอบเทมเพอร์ริ่งต่อความแข็งของเหล็กหล่อ โครงเมียมสูงที่เติมโมลิบดินัม.....	65
ก.4 ผลของการอบดีสเตบีไลเซนชั่น และการอบเทมเพอร์ริ่งต่อความแข็งของเหล็กหล่อ โครงเมียมสูงที่เติมโมลิบดินัม.....	66

สารบัญรูป

รูปที่	หน้า
2.1 แผนภาพของระบบเหล็ก-โครงเมียม-คาร์บอนของ Thorpe และ Chicco แสดงส่วนผสมของเหล็กหล่อโครงเมียมสูงที่ใช้งานโดยทั่วไปซึ่งมีโครงสร้างเป็นอสเทนในต์.....	7
2.2 แผนภาพแสดงภาพฉายของพื้นผิวลิกวิดดัส (Liquidus Surface) ของระบบเหล็ก-โครงเมียม-คาร์บอนของ โดยกล่องสีเหลี่ยมแสดงส่วนผสมของเหล็กหล่อโครงเมียมสูงแบบไฮเปอร์เทคติกที่ใช้งานโดยทั่วไป.....	7
2.3 โครงสร้างจุลภาคหลังการหล่อของเหล็กหล่อโครงเมียมสูงร้อยละ 30 โดยน้ำหนัก และคาร์บอนร้อยละ 2.4 โดยน้ำหนักที่ประกอบด้วย เดนไครท์ป้อมภูมิยุทธศึกษาไวร์ และยูเทคติก ออสเทนในต์ที่เปลี่ยนเป็นมาเทนไฮซิต.....	8
2.4 ตัวถังปั๊มแบบหอยโข่งสำหรับการขันด้วยน้ำมันดิน ตัวปั๊มมีรัศมีภายใน 1 เมตร และมีน้ำหนัก 350 กิโลกรัม.....	14
2.5 ล้อลูกกลิ้งสำหรับใช้ในการบดหินในอุตสาหกรรมเหมืองแร่มีน้ำหนัก 4500 กิโลกรัม.....	15
3.1 กรรมวิธีทางความร้อนของเหล็กหล่อโครงเมียมสูง.....	17
3.2 กล้องจุลทรรศน์แบบแสง	19
3.3 กล้องจุลทรรศน์อิเล็กตรอนแบบส่องกล้อง (Scanning Electron Microscope).....	20
3.4 เครื่องวิเคราะห์การเลี้ยวเบนของรังสีเอ็กซ์ ยี่ห้อ Philips รุ่น Expert	20
3.5 เครื่องทดสอบความแข็ง ยี่ห้อ Galileo	21
4.1 ภาพถ่ายโครงสร้างจุลภาคในสภาพหล่อที่ประกอบด้วยเดนไครท์ของอสเทนในต์ป้อมภูมิ และยูเทคติกไวร์-ออสเทนในต์-อสเทนในต์ของเหล็กหล่อที่ไม่เติมโมลิบดินัม.....	23
4.2 ภาพถ่ายโครงสร้างจุลภาคในสภาพหล่อที่ประกอบด้วยเดนไครท์ของอสเทนในต์ป้อมภูมิ และยูเทคติกไวร์-ออสเทนในต์-อสเทนในต์ของเหล็กหล่อที่เติมโมลิบดินัม.....	24
4.3 ลักษณะของยูเทคติกไวร์-ออสเทนในต์หลังการกัดกรดแบบลีก.....	25
4.4 รูปแบบการเลี้ยวเบนของรังสีเอ็กซ์ แสดงเพลที่เกิดขึ้นในสภาพหล่อของเหล็กหล่อโครงเมียมสูงที่ไม่เติมโมลิบดินัม และเติมโมลิบดินัม.....	26
4.5 สเปกตรัมของการวัดการกระจายพลังงานของรังสีเอ็กซ์ แบบจุด (Point Analysis) ในสภาพหล่อของเหล็กหล่อที่ไม่เติมโมลิบดินัม.....	27
4.6 สเปกตรัมของการวัดการกระจายพลังงานของรังสีเอ็กซ์ แบบจุด (Point Analysis) ในสภาพหล่อของเหล็กหล่อที่เติมโมลิบดินัม.....	28

สารบัญรูป (ต่อ)

รูปที่	หน้า
4.7 สเปกตรัมของการวัดการกระจายพลังงานของรังสีเอ็กซ์ แบบ Mapping แสดงการกระจายตัวของเหล็ก ไมลิบดินัม คาร์บอน โครเมียม บริเวณยุทธিকาร์เบอร์ และเดนไดร์ทของเหล็กหล่อ โครเมียมสูงที่เติมไมลิบดินัมในสภาพหล่อ โดยสีเหลืองแทนธาตุเหล็กสีเขียวแทนไมลิบดินัม สีแดงแทนการบอน สีน้ำเงินแทนโครเมียม	30
4.8 โครงสร้างจุลภาคหลังการอบดีสเตบีไลเซชันของเหล็กหล่อที่ไม่เติมไมลิบดินัม ที่มีการตกตะกอนของคาร์ไบด์ทุติยภูมิในเดนไดร์ทของมาเทนไซต์.....	32
4.9 ภาพถ่ายจากกล้องSEM แสดงลักษณะคราบดีบใน 3 มิติ หลังการกัดกรดแบบลึก.....	33
4.10 ผลของอุณหภูมิในการดีสเตบีไลเซชันต่อการตกตะกอนของคาร์ไบด์ทุติยภูมิของเหล็กหล่อ โครเมียมสูงร้อยละ 25 โดยน้ำหนัก ที่ไม่เติมไมลิบดินัม โดยอบเป็นเวลา 4 ชั่วโมงเท่ากัน.....	34
4.11 ผลของเวลาในการอบดีสเตบีไลเซชันต่อการตกตะกอนของคาร์ไบด์ทุติยภูมิของเหล็กหล่อ โครเมียมสูงร้อยละ 25 โดยน้ำหนักที่ไม่เติมไมลิบดินัม เมื่ออบที่อุณหภูมิ 1000 องศาเซลเซียส เท่ากัน.....	35
4.12 รูปแบบการเลี้ยวเบนของรังสีเอ็กซ์ แสดงเฟสที่เกิดขึ้นในสภาพหล่อ และหลังการอบ ดีสเตบีไลเซชันของเหล็กหล่อโครเมียมสูงที่ไม่เติมไมลิบดินัม.....	37
4.13 รูปแบบการเลี้ยวเบนของรังสีเอ็กซ์ แสดงเฟสที่เกิดขึ้นในสภาพหล่อ และหลังการอบ ดีสเตบีไลเซชันของเหล็กหล่อโครเมียมสูงที่เติมไมลิบดินัม.....	38
4.14 ผลของการอบดีสเตบีไลเซชันต่อกลุ่มเฟสที่ให้ (-) แทนเหล็กหล่อโครเมียมสูง ที่ไม่เติมไมลิบดินัม และ (- - -) แทนเหล็กหล่อโครเมียมสูงเติมไมลิบดินัม วงกลม แทน อุณหภูมิที่เลือกใช้ในการอบเทมเปอร์ริ่ง.....	40
4.15 โครงสร้างจุลภาคหลังการอบดีสเตบีไลเซชัน และเทมเปอร์ริ่ง.....	42
4.16 ภาพถ่ายจากกล้อง SEM แสดงการเกิดคราบดีบในเดนไดร์ทของมาเทนไซต์ ของเหล็กหล่อที่ไม่เติมไมลิบดินัม หลังการอบดีสเตบีไลเซชัน และการอบเทมเปอร์ริ่งเป็นเวลา 4 ชั่วโมง.....	43
4.17 ภาพถ่ายจากกล้องจุลทรรศน์ SEM แสดงการเกิดคราบดีบในเดนไดร์ททุติยภูมิ และเทมเปอร์ริ่ง ในยุทธิคาร์ไบด์-อสเทเนในต์ของเหล็กหล่อที่ไม่เติมไมลิบดินัม หลังการอบดีสเตบีไลเซชัน และการอบเทมเปอร์ริ่ง เป็นเวลา 4 ชั่วโมง.....	46

สารบัญรูป (ต่อ)

รูปที่	หน้า
4.18 ภาพถ่ายจากกล้อง SEM แสดงการเกิดการใบด์ทุติยภูมิในเดนไคร์ทของมาเทนไซต์ เหล็กหล่อที่เติมโนลิบดินัม หลังการอบดีสเตบีไลเซชัน และการอบเทมเปอร์ริ่งเป็นเวลา 4 ชั่วโมง.....	49
4.19 ภาพถ่ายจากกล้อง SEM แสดงการเกิดการใบด์ทุติยภูมิ และเทมเปอร์คราร์ใบดีในยูเทคติก คาร์ใบด์-อสเทนในต์ของเหล็กหล่อที่เติมโนลิบดินัม หลังการอบดีสเตบีไลเซชัน และการอบเทมเปอร์ริ่ง เป็นเวลา 4 ชั่วโมง.....	52
4.20 ภาพถ่ายจากกล้อง SEM แสดงการเกิดการใบด์ทุติยภูมิในเดนไคร์ทของมาเทนไซต์หลังการอบดีสเตบีไลเซชัน และการอบเทมเปอร์ริ่ง เป็นเวลา 4 ชั่วโมง ที่อุณหภูมิ 450 องศาเซลเซียส.....	55
4.21 รูปแบบการเดี้ยวเบนของรังสีเอ็กซ์ของเหล็กหล่อที่ไม่เติมโนลิบดินัม.....	57
4.22 รูปแบบการเดี้ยวเบนของรังสีเอ็กซ์ของเหล็กหล่อที่ไม่เติมโนลิบดินัม.....	58
4.23 ผลของอุณหภูมิหลังการอบดีสเตบีไลเซชัน และการอบเทมเปอร์ริ่งต่อความแข็งของเหล็กหล่อ ไครเนียมสูงที่ไม่เติมโนลิบดินัม และเติมโนลิบดินัม.....	59

บทที่ 1

บทนำ

1.1 ความเป็นมา และความสำคัญของโครงงาน

จากปัญหาปั๊มหอยโ่งของโรงพยาบาลสังกัดสี จังหวัดตาก ที่มีการใช้เหล็กหล่อโครงเมียมสูงร้อยละ 25 โดยน้ำหนักในสภาพหล่อเป็นปั๊มหอยโ่งข่ายสินแร่ ซึ่งปั๊มหอยโ่งที่ผลิตในประเทศไทยมีอายุการใช้งานสั้นเพียง 6 วันเท่านั้น เนื่องจากการเสียดสีของสินแร่มีความแข็งสูง และการกัดกร่อนของสารละลายที่ใช้ในกระบวนการแยกแร่สังกะสี จึงมีแนวคิดปรับปรุง และยืดอายุการใช้งานของปั๊มให้นานขึ้น ซึ่งโดยทั่วไปวิธีการปรับปรุงเหล็กหล่อให้มีความแข็งเพิ่ม โดยผ่านกรรมวิธีทางความร้อน และการเติมธาตุ

- ดังนั้นโครงงานนี้มีวัตถุประสงค์เพื่อศึกษาผลของการเติมราชุโนลีบดีน้ำ และกระบวนการวิธีทางความร้อนต่อโครงสร้างจุลภาค และความแข็งของเหล็กหล่อโครงเมียมสูงร้อยละ 25 โดยน้ำหนัก ซึ่งจากโครงงานนี้จะได้รับความรู้ที่เป็นประโยชน์ต่ออุตสาหกรรมหล่อโลหะไทย และอุตสาหกรรมทั่วไป ที่มีการใช้งานเหล็กหล่อโครงเมียมสูง

1.2 วัตถุประสงค์ของโครงการ

ศึกษาผลของการเติมไมโลibคินัมหลังผ่านกรรมวิธีทางความร้อนต่อโครงสร้างจุลภาค และความแข็งของเหล็กหล่อโลหะเมี่ยมสูงร้อยละ 25 โดยน้ำหนัก

1.3 เกณฑ์ชี้วัดผลงาน (Output)

1.3.1 โครงสร้างจุดภาคของขั้นงานเหล็กหล่อโครงเมียมสูงร้อยละ 25 โดยน้ำหนักที่เติมไมลิตันมร้อยละ 0.7 โดยน้ำหนัก และไม่เติมนิลิตันม หลังผ่านการอบดีสเตปไอลเซ็น และการอบเทมเปอร์

1.3.2 ผลความแข็งของขั้นงานเหล็กหล่อโครงเมียมสูงร้อยละ 25 โดยน้ำหนัก ที่เติมโนลิบดินมาร้อยละ 0.7 โดยน้ำหนัก และไม่เติมโนลิบดินม หลังผ่านการอบดีสเตบีไลเซน และการอบเทมเปอร์ริ่ง

1.4 เกณฑ์วัดผลสำเร็จ (Outcome)

1.4.1 ผลของการเติมโมลิบดินัมในเหล็กหล่อโครงเมียมสูงร้อยละ 25 โดยน้ำหนักต่อโครงสร้างจะภาคภัยหลังผ่านการอบดีสเตบปีโลเช็ชัน และการอบเพาเปอร์ริง

1.4.2 ผลของการเติมโมลิบดินัมในเหล็กหล่อโครงเมียมสูงร้อยละ 25 โดยน้ำหนักต่อความแข็งหลังผ่านการอบดีสเทบีโลเซ็ท และการอบเทมเปอร์ริ่ง

1.5 ขอบเขตในการดำเนินโครงการ

- 1.5.1 โน้ตบุ๊กนัมที่เติมมีปริมาณร้อยละ 0.7 โดยน้ำหนัก
- 1.5.2 กรรมวิธีทางความร้อนที่ใช้คือ การอบดีสเตป์ไลเซชัน และการอบเทมเปอร์
- 1.5.3 ศึกษาโครงสร้างจุลภาคด้วยกล้องจุลทรรศน์แบบแสง และกล้องจุลทรรศน์อิเล็กตรอนแบบส่องกราด
- 1.5.4 ศึกษาสมบัติโดยการทดสอบความแข็งด้วยเครื่องทดสอบแบบวิกเกอร์

1.6 แผนการดำเนินโครงการ

ตารางที่ 1.1 แผนการดำเนินงานวิจัยตลอดโครงการ

ลำดับ	การดำเนินงาน	ต.ค.	พ.ย.	ธ.ค.	ม.ค.	ก.พ.	มี.ค.	เม.ย.
1	ทฤษฎีที่เกี่ยวข้อง	↔						
2	นำขึ้นงานที่ผ่านการหล่อในแบบหล่อทราย มาอบดีสเตป์ไลเซชัน และการอบเทมเปอร์		↔	↔				
3	เตรียมขึ้นงานเพื่อศึกษาโครงสร้างจุลภาค			↔				
4	ศึกษาโครงสร้างจุลภาคโดยรวมของขึ้นงาน ด้วยกล้องจุลทรรศน์แบบแสง และ กล้องจุลทรรศน์อิเล็กตรอนแบบส่องกราด				↔			
5	ทดสอบความแข็งแบบวิกเกอร์					↔		
6	วิเคราะห์ผลการทดลอง					↔		
7	สรุปผลการทดลอง และเขียนรายงาน					↔		

บทที่ 2

หลักการ และทฤษฎีเบื้องต้น

2.1 เหล็กหล่อโครงเมียมสูง

เหล็กหล่อขาวผสมโครงเมียมสูงเริ่มมีบทบาทการใช้งานที่สำคัญมากขึ้นในอุตสาหกรรมเมืองแร่ และอุตสาหกรรมชีเมนต์ โดยเฉพาะลูกบดเพาะโครงเมียมการนำไปรีดมีคุณสมบัติทนการเสียดสีสูง ทำให้มีอายุการใช้งานยาวนานขึ้น โดยทั่วไปในเหล็กหล่อโครงเมียมสูงจะมีการบอนระห่วง ร้อยละ 2.0 ถึง 3.0 โดยน้ำหนัก และปริมาณของโครงเมียมประมาณร้อยละ 10 ถึง 30 โดยน้ำหนัก ในปัจจุบันมีโรงหล่อผลิตเหล็กหล่อโครงเมียมสูงอยู่หลายเกรด แต่ที่นิยมผลิตมากที่สุดได้แก่ เหล็กหล่อโครงเมียมสูงชนิด 2828 คือเหล็กหล่อที่มีการบอนอยู่ร้อยละ 2.8 โดยน้ำหนัก และมีโครงเมียมผสมอยู่ร้อยละ 28 โดยน้ำหนัก การผลิตเหล็กหล่อโครงเมียมสูงได้ทำกันมาเป็นระยะเวลานานแล้ว โดยหลอมด้วยเตา Cupola แต่ทำการควบคุมด้านคุณภาพกระทำได้ไม่ดีที่ควร เพราะการหลอมด้วยเตา Cupola การควบคุมปริมาณคาร์บอนได้ยาก ทำให้เหล็กหล่อโครงเมียมสูงที่มีปริมาณคาร์บอนสูง เกิดการประแทรกหักง่ายขึ้น แต่ปัจจุบันได้ทดลองไปหลังปี 2462 เมื่อบริษัท Niagara Work ได้ทดลองหลอมเหล็กหล่อโครงเมียมสูงด้วยเตาไฟฟ้า ซึ่งสามารถผลิตเหล็กหล่อที่มีการบอนต่ำ และเพิ่มปริมาณของโครงเมียมได้สูงถึงร้อยละ 30 โดยน้ำหนัก ทำให้บริษัทการใช้เหล็กหล่อโครงเมียมสูงเพิ่มมากขึ้น จึงกลับเป็นคู่แข่งของเหล็กกล้า Hadfield โดยเฉพาะที่ใช้หักลูกบดวัสดุแข็ง เช่น ชีเมนต์ และแร่ต่างๆ

จากรายงานของ K. Bungardt, R.S. Jackson และ W. Jelinghaus ปรากฏโครงเมียมการไปร์อยู่ 4 ชนิด ขึ้นอยู่กับปริมาณของการบอน และโครงเมียมที่รวมตัวกัน คือ $(Fe,Cr)_3C$, $(Fe,Cr)_7C_3$, $(Fe,Cr)_{23}C_6$ และ $(Fe,Cr)_3C_2$ ตารางที่ 2.1 แสดงชนิดของโครงเมียมการไปร์ และความแข็งของโครงเมียมการไปร์ทุกชนิดจะมีความแข็งอยู่ในเกณฑ์สูงกว่ามาร์เทนไซต์ คือ มีค่าความแข็งอยู่ประมาณ 1000 ถึง 1800 HV₅₀ ถึงแม้ว่าความแข็งของโครงเมียมการไปร์จะสูงมากก็จริง แต่สมบัติต้านทานการสึกหรอของเหล็กหล่อจะมีมาก หรือน้อยจะขึ้นอยู่กับเดนไครท์ เพราะถ้าเดนไครท์ไม่มีความแข็งสูงพอที่จะต้านทานการสึกหรอ คาร์ไบด์ซึ่งถูกห่อหุ้มด้วยเดนไครท์จะถูกทำให้หลุดไปได้ง่ายในขณะใช้งาน การสึกหรอของเหล็กหล่อจะอยู่ในอัตราสูง ดังนั้นการศึกษาเรื่องเหล็กหล่อโครงเมียมสูงจึงต้องพิจารณา ร่วมไปเดนไครท์ รวมถึงกรรมวิธีทางความร้อนเพื่อให้เดนไครท์ที่มีความแข็งสูง และทนทานการสึกหรอ (มนัส, 2527)

ตารางที่ 2.1 ชนิดของโครงเมียมคาร์ไบด์ และความแข็ง

Type	Crystalline System	Lattice Constance	Specific Gravity	Hardness (HV)
(Fe, Cr) ₃ C	Rhombic	a = 4.52, b = 5.09, c = 6.74	7.67	1000
(Fe, Cr) ₇ C ₃	Hexagonal	a = 6.88, b = 4.54	-	-
	Rhombic	a = 4.54, b = 6.88, c = 11.94	6.92	1400
(Fe, Cr) ₂₃ C ₆	Rhombohedral	a = 13.98, b = 4.52	-	-
	F.C.C	a = 10.64	6.97	-
(Fe, Cr) ₃ C ₂	Rhombic	a = 2.82, b = 5.52, c = 11.46	6.68	-

ที่มา : มนส (2527)

2.1.1 มาตรฐานเหล็กหล่อโครงเมียมสูง

มาตรฐานเหล็กหล่อโครงเมียมสูงที่มักถูกอ้างอิงถึงมี 2 มาตรฐาน คือ British Standard (BS484) และ ASTM Standard A532 สำหรับ JIS ยังไม่ปรากฏว่ามีมาตรฐานเหล็กหล่อโครงเมียมสูง มาตรฐานของเหล็กหล่อโครงเมียมสูงของอังกฤษแบ่งออกเป็น 5 เกรด ดังตารางที่ 2.2 ส่วนมาตรฐานเหล็กหล่อโครงเมียมสูงของอเมริกา ASTM แบ่งออกเป็น 6 เกรด ดังตารางที่ 2.3

เหล็กหล่อโครงเมียมสูงร้อยละ 14 ถึง 28 โดยน้ำหนัก สามารถใช้งานในรูปของ ออสเทนไนต์ หรือมาเทนไซต์จุดประสิทธิภาพเติมโมลิบดินัมเพื่อหลีกเลี่ยงการเกิดโครงสร้างเพิร์ลไอล์ต หลังการหล่อ และเพิ่มความสามารถในการวิธีทางความร้อน ส่วนชิลิกอนจะช่วยเพิ่มความสามารถ ในการให้力 และลดการเกิดอกซิเดชัน แต่ปริมาณของชิลิกอนต้องไม่เกินร้อยละ 0.8 โดยน้ำหนัก เนื่องจากจะทำให้เกิดโครงสร้างของเพิร์ลไอล์ต และลดความสามารถในการขับแข็ง ส่วนเหล็กหล่อโครงเมียมสูงร้อยละ 30 ถึง 35 โดยน้ำหนัก จะใช้ในงานที่ต้องการความต้านทานการเกิดอกซิเดชัน และการกัดกร่อนที่อุณหภูมิสูง เช่น ชั้นส่วนของเตาเผา โดยโครงสร้างจุลภาคของเหล็กหล่อกลุ่มนี้ ประกอบด้วยเฟอร์ไรต์ และยูเทกติกคาร์ไบด์ (อัมพร, 2549)

ตารางที่ 2.2 ส่วนผสม และความแข็งของเหล็กหล่อโครเมียมสูง (BS 4844)

Grade	Chemical Composition								As-Cast Hardness H _B min
	C	Si (max)	Mn	Cr	Mo	Ni	Cu	P (max)	
3 A	2.4-3.0	1.0	0.5-1.5	14-17	0-2.5	0-1.0	0-1.2	0.1	450
3 B	3.0-3.6	1.0	0.5-1.5	14-17	1-3.0	0-1.0	0-1.2	0.1	500
3 C	2.2-3.0	1.0	0.5-1.5	17-22	0-3.0	0-1.5	0-1.2	0.1	450
3 D	2.4-2.8	1.0	0.5-1.5	22-18	0-1.5	0-1.0	0-1.2	0.1	400
3 E	2.8-3.2	1.0	0.5-1.5	22-28	0-1.5	0-1.5	0-1.2	0.1	400

ที่มา : อัมพร (2549)

ตารางที่ 2.3 ส่วนผสมทางเคมีของเหล็กหล่อโครเมียมสูง (ASTM A532-87)

Class	Type	Designation	Element (%wt)								
			C	Mn	Si	Ni	Cr	Mo	P	S	Cu
I	A	Ni-Cr-HC	2.8-3.6	2.0	0.8	3.3-5.0	1.4-4.0	1.0	0.3	0.15	-
	B	Ni-Cr-IC	2.4-3.0	2.0	0.8	3.3-5.0	1.4-4.0	1.0	0.3	0.15	-
	C	Ni-Cr-GB	2.5-3.7	2.0	0.8	4.0	1.0-1.5	1.0	0.3	0.15	-
	D	Ni-HiCr	2.5-3.6	2.0	2.0	4.5-7.0	7.0-11.0	1.5	0.1	0.15	-
II	A	12%Cr	2.0-3.3	2.0	1.5	2.5	11.0-14.0	3.0	0.1	0.6	1.2
	B	15%Cr-Mo	2.0-3.3	2.0	1.5	2.5	14.0-18.0	3.0	0.1	0.6	1.2
	D	20%Cr-Mo	2.0-3.3	2.0	1-2.2	2.5	18.0-23.0	3.0	0.1	0.6	1.2
III	A	25%Cr	2.3-3.3	2.0	1.5	2.5	23.0-30	3.0	0.1	0.6	1.2

ที่มา : อัมพร (2549)

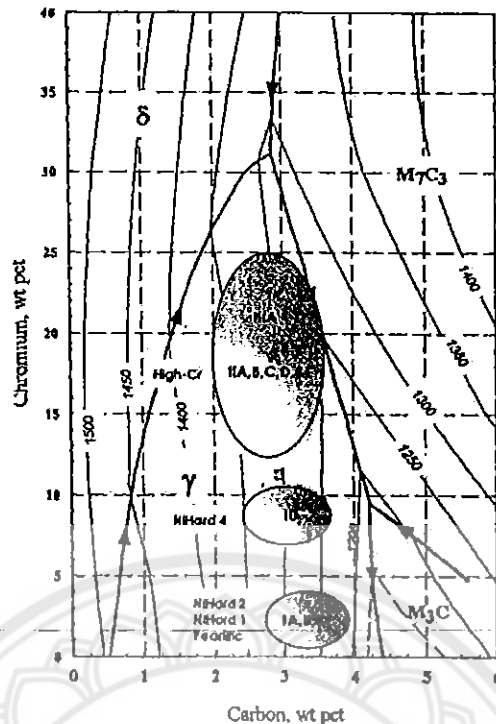
2.2 แผนภาพของระบบเหล็ก-โครเมียม-คาร์บอน

จากรูปที่ 2.1 แสดงส่วนผสมทางเคมีของเหล็กหล่อโครเมียมสูงตามมาตรฐาน ASTM A532 (ตารางที่ 2.3) ในเฟลเดออะแกรมของ Thorpe and Chicco สำหรับเหล็กหล่อโครเมียมสูง IA, B and C ที่อยู่ส่วนล่างของรูปที่ 2.1 จะเกิดโครงสร้างยูเทคติกของออสเทนในร์ และคาร์บิด $(Fe,Cr)_3C$ ในขณะที่เหล็กหล่อ ID, IIA, B, C, D, E และ IIIA จะเกิดโครงสร้างยูเทคติกของออสเทนในร์ และคาร์บิด $(Fe,Cr)_7C_3$ ส่วนของเหล็กหล่อเกรด ID ที่มีปริมาณโครเมียมสูงกว่าเกรด IA-C จะเกิด ยูเทคติกของการรีบีด $(Fe,Cr)_7C_3$ ซึ่งบางส่วนจะเปลี่ยนเป็นคาร์บิด $(Fe,Cr)_3C$ ในระหว่างการเย็นตัว ทำให้เกิดโครงสร้างของคาร์บีดดูเพล็กซ์ซึ่งมีขนาดเล็กกว่าคาร์บิด $(Fe,Cr)_3C$ ในเกรด IA-C ทำให้ เหล็กหล่อเกรด ID มีความหนืดลื่นสูงกว่า เมื่อปริมาณคาร์บอนในเดนไดร์ทของออสเทนในร์ลดลง ในขณะที่อุณหภูมิของปฏิกิริยา yutectic เพิ่มขึ้น

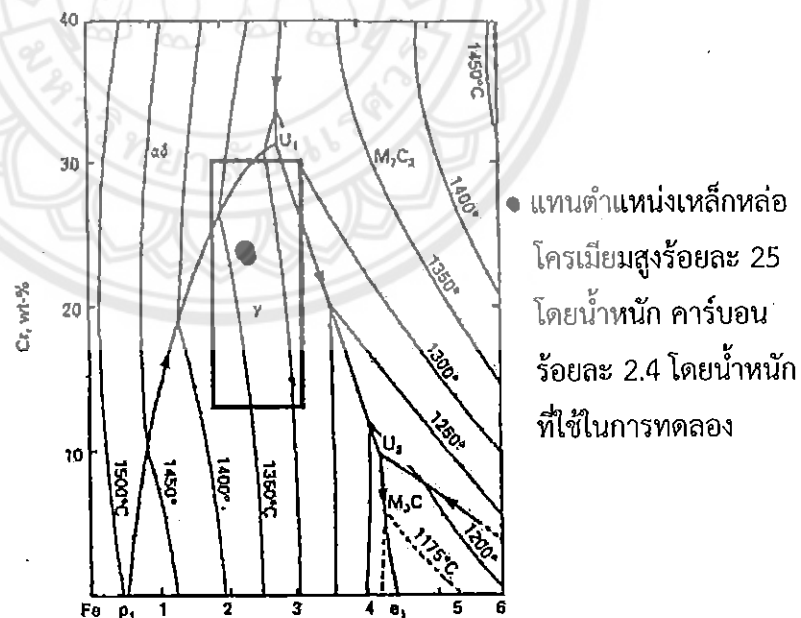
เหล็กหล่อโครเมียมสูงที่ได้รับการใช้งานส่วนใหญ่เป็นแบบไฮเปอร์ยูเทคติก ที่มีส่วนผสมอยู่ในช่วง เฟสของออสเทนในร์ คือ โครเมียมร้อยละ 10 ถึง 30 โดยน้ำหนัก และคาร์บอนร้อยละ 2 ถึง 3.5 โดย น้ำหนัก ดังรูปที่ 2.2 เหล็กหลอกลุ่มนี้เมื่อแข็งตัวจากน้ำโลหะจะเกิดเป็นเดนไดร์ทของออสเทนในร์ ปัจจุบันตามด้วยยูเทคติกของออสเทนในร์ และยูเทคติกการรีบีด $(Fe,Cr)_7C_3$ จากรูปที่ 2.2 การ แข็งตัวของเหล็กหล่อที่มีส่วนผสมโครเมียมร้อยละ 25 โดยน้ำหนัก และคาร์บอนร้อยละ 2.4 โดย น้ำหนัก เริ่มจากเกิดเป็นเดนไดร์ทของออสเทนในร์ปัจจุบันในรูปแบบเดียวกันกับโครเมียม และคาร์บอนจะ ถูกผลักออก ทำให้น้ำโลหะมีปริมาณโครเมียมและคาร์บอนสูงขึ้น และเคลื่อนที่เข้าสู่จุด ยูเทคติก (U_1-U_2) จนกระทั่งอุณหภูมิลดลงถึงปฏิกิริยา yutectic ($L \rightarrow \gamma + (Fe,Cr)_7C_3$) จะเกิด โครงสร้างของยูเทคติก คือ yutectic ของออสเทนในร์ และยูเทคติกการรีบีด $(Fe,Cr)_7C_3$ ระหว่างแข็งของ เดนไดร์ทของออสเทนในร์ปัจจุบัน การแข็งตัวของโลหะจะสมบูรณ์ก่อนจะถึงจุด U_2

เหล็กที่ส่วนผสมในช่วงการบอนร้อยละ 2 ถึง 2.5 โดยน้ำหนัก และมีโครเมียมมากกว่าร้อยละ 30 โดยน้ำหนัก จะเกิดเฟสเฟอร์ไรท์ปัจจุบัน ซึ่งมักใช้ในงานที่ต้องการความต้านทานต่อความร้อน แต่ เหล็กหลอกลุ่มนี้จะอ่อนเกินไปทำให้สามารถทนต่อการสึกหรอไม่ดีนักทั้งนี้เนื่องจากเฟอร์ไรท์มี เสถียรภาพลดลงช่วงอุณหภูมิค่อนข้างกว้าง และเหล็กหลอกลุ่มนี้ไม่สามารถเพิ่มความแข็งโดย กรรมวิธีทางความร้อนได้

โดยทั่วไปแล้วเราจะหลีกเลี่ยงเหล็กหล่อที่มีส่วนผสมในช่วงที่เป็นไฮเปอร์ยูเทคติก ซึ่งทำให้เกิด เฟสคาร์บีดปัจจุบัน เนื่องจากคาร์บีดปัจจุบันนี้เป็นเฟสที่ขนาดใหญ่ และทำให้ขึ้นงานหล่อประมาณ การแข็งตัวของเหล็กหล่อที่เริ่มจากการเกิดเป็นคาร์บิด $(Fe,Cr)_7C_3$ ปัจจุบัน ทำให้น้ำโลหะมีปริมาณ โครเมียม และคาร์บอนลดลง และเคลื่อนที่เข้าสู่ปฏิกิริยา yutectic (U_1-U_2) (อัมพร, 2549)



รูปที่ 2.1 แผนภาพของระบบเหล็ก-โครเมียม-คาร์บอนของ Thorpe และ Chicco แสดงส่วนผสมของเหล็กหล่อโครเมียมสูงที่ใช้งานโดยทั่วไปซึ่งมีโครงสร้างเป็นօอสเทนไนต์
ที่มา : ประกายพิพิธ และ อัมพร (2550)

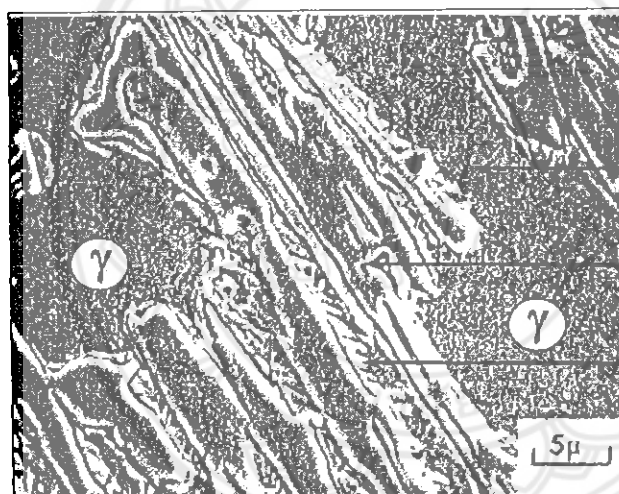


รูปที่ 2.2 แผนภาพแสดงภาพฉายของพื้นผิวน้ำดิน (Liquidus Surface) ของระบบเหล็ก-โครเมียม-คาร์บอนของ โดยกล่องสี่เหลี่ยมแสดงส่วนผสมของเหล็กหล่อโครเมียมสูงแบบไฮเปอร์เทคโนโลยีที่ใช้งานโดยทั่วไป

ที่มา : Chicco and Thorpe (2536)

2.3 เหล็กหล่อโครงเมียมสูงอสเทนนิติก

เหล็กหล่อที่มีปริมาณโครงเมียมประมาณร้อยละ 10 ถึง 30 โดยน้ำหนัก และคาร์บอนร้อยละ 2 ถึง 3.5 โดยน้ำหนัก จะถูกนำไปใช้สำหรับผลิตเป็นชิ้นส่วนที่มีสมบัติเฉพาะสำหรับใช้งานในงานลักษณะต่างๆ เช่น กระบวนการที่เกี่ยวข้องกับแร่ การผลิตปูนซีเมนต์ และระบบปั๊มของไฟลประภาก ของเหลวเนื้อผสมชนิดอนุภาคหนึ่ง เป็นต้น เนื่องจากสภาพความต้านทานการสึกหรอ และความหน่วงของเหล็กประเภทนี้จะแปรไปตามคุณสมบัติในการทำงาน โดยชิ้นอยู่กับชนิด และสัดส่วนของคาร์บอนในเนื้อเหล็ก รวมทั้งประเภทการใช้งาน และการมีเดนไดรร์ที่มีสมบัติเหมาะสมโครงสร้างจุลภาคในสภาพหล่อของเหล็กหล่อคลุมนี้ ประกอบด้วยเดนไดรร์ท (โครงสร้างที่มีลักษณะเป็นกิ่งก้าน) ของอสเทนในต์ โดยระหว่างแขนเดนไดรร์ (Interdendritic Dendrite) จะประกอบด้วยโครงสร้างของยูเทกติก (Eutectic Structure) ซึ่งประกอบด้วย ยูเทกติกการ์เบอร์ซึ่งเป็นสารประกอบของเหล็กโครงเมียม และคาร์บอน คือ M_7C_3 และยูเทกติกอสเทนในต์ที่มักจะเปลี่ยนเป็นมาเทนไซต์ระหว่างการเย็บตัวในแบบหล่อ ดังรูปที่ 2.3 (ประกายทิพย์ และอัมพร, 2550)



เดนไดรร์ทของอสเทนในต์ปฐมภูมิ

ยูเทกติกการ์เบอร์ M_7C_3

ยูเทกติกอสเทนในต์ที่เปลี่ยนเป็นมาเทนไซต์

รูปที่ 2.3 โครงสร้างจุลภาคหลังการหล่อของเหล็กหล่อโครงเมียมสูงร้อยละ 30 โดยน้ำหนัก และคาร์บอนร้อยละ 2.4 โดยน้ำหนัก ประกอบด้วย เเดนไดรร์ทปฐมภูมิ ยูเทกติกการ์เบอร์ และยูเทกติกอสเทนในต์ที่เปลี่ยนเป็นมาเทนไซต์
ที่มา : Pearce (2542)

สำหรับเหล็กหล่อโครงเมียมสูงนั้น เพื่ออสเทนในต์ที่เกิดจากการแข็งตัวของน้ำโลหะอาจจะตกค้างระหว่างการเย็บตัวในแบบ หรืออาจจะเปลี่ยนไปเป็นมาเทนไซต์ (บางส่วน หรือทั้งหมด) หรือกลอยเป็นเฟอร์ไรท์ และการ์เบอร์ที่เล็กและเยื่อ (แบบทุติยภูมิ หรือเพร์ลิติก) ก็ได้ ทั้งนี้ขึ้นอยู่กับปัจจัยหลัก 2 ประการ ได้แก่ ส่วนผสมทางเคมี และอัตราการเย็บตัวเฉพาะแห่งของชิ้นงาน

โครงสร้างจุลภาคที่มีเดนไดร์ทเป็นอสเทนในตั้งหมดจะเกิดภายใต้เงื่อนไขต่อไปนี้

- การเย็นตัวอย่างรวดเร็ว (เช่น ในบริเวณชิ้นงานหนาไม่มาก)
- อัตราส่วนระหว่างโครงเมี่ยม / คาร์บอนมีค่าสูง
- มีธาตุนิกเกิล โมลิบดินัม หรือทองแดง
- มีการตกตะกอนของคาร์บิดในระหว่างการเย็นตัวของชิ้นงานน้อยที่สุดเท่าที่จะเป็นไปได้
- ไม่มีการเปลี่ยนเฟสไปเป็นเฟอร์ไรท์ และคาร์บไนท์ หรือเพริลไลต์
- อุณหภูมิของการเกิดเฟสมาเทนไซต์ (Martensite Start Temperature, M_s) ของเฟส

อสเทนในตั้งกว่าอุณหภูมิโดยรอบ

ในการใช้งานบางอย่าง เหล็กหล่อโครงสร้างอสเทนนิทิกในสภาพหล่ออาจจะใช้ได้ หันนี้เนื่องจากเฟสօอสเทนในตั้งสามารถเพิ่มความแข็งเมื่อได้รับแรงกระทำ (Work Harden) โดยมีความแข็งเพิ่มขึ้นเป็น 900 HV₃₀ ซึ่งทำให้ผู้ชิ้นงานที่ทนต่อการสึกหรอเกิดใหม่ทดแทนได้

2.4 เหล็กหล่อโครงเมี่ยมสูงมาร์เทนซิติก

เหล็กหล่อโครงเมี่ยมสูงที่มีโครงสร้างเป็นแบบอสเทนในตั้งมีข้อจำกัด คือ มีความต้านทานต่อการสึกหรอต่ำ ดังนั้นจึงจำเป็นต้องปรับปรุงคุณสมบัติเพื่อทำให้มีโครงสร้างที่แข็งขึ้น โดยกรรมวิธีทางความร้อน เพื่อเปลี่ยนโครงสร้างจากอสเทนในตั้งที่อ่อนไปเป็นมาเทนไซต์ที่แข็ง

กรรมวิธีทางความร้อนเหล็กหล่อโครงเมี่ยมสูง เริ่มจากการเผาเหล็กหล่อโครงเมี่ยมสูงภายหลังการเย็นตัวในแบบหล่อที่อุณหภูมิระหว่าง 950 ถึง 1100 องศาเซลเซียส เพื่อให้โครงเมี่ยม และคาร์บอนที่ละลายอยู่ในอสเทนในตั้ง (ในสภาพหล่อ) ซึ่งละลายอยู่ในลักษณะเกินจุดอมตัวที่ อสเทนในตั้งจะยอมให้ละลายอยู่ได้ การเผาในขั้นนี้จะเรียกว่า ดีสเทบีไลเซชัน (Destabilisation) ทำให้คาร์บอน และโครงเมี่ยมแยกตัวออกจากกันเป็นคาร์บไนท์ทุติยภูมิ (Secondary Carbide) ซึ่งเป็นการลดปริมาณคาร์บอนในอสเทนในตั้ง ทำให้ความสามารถในการซุบแข็งของอสเทนในตั้งเพิ่มขึ้น กล่าวคือ อสเทนในตั้งจะเปลี่ยนไปเป็นเพริลไลต์ได้ยากขึ้น หรือโอกาสที่จะได้มาร์เทนไซต์จะสูงขึ้น หลังการทำดีสเทบีไลเซชันในเวลาพอสมควรแล้ว (1 ชั่วโมง ต่อความหนา 20 ถึง 25 มิลลิเมตร) แล้วปล่อยให้ชิ้นงานเย็นลงอย่างรวดเร็วโดยการใช้ลมเป่าด้านหลังมีขนาดเล็ก และรูปร่างซับซ้อน แต่ถ้าเป็นชิ้นงานที่มีความหนามากๆ จะใช้การชุบน้ำมัน (Oil Quenched) ซึ่งจะทำให้ได้โครงสร้างมาเทนไซต์ และอสเทนในตั้งบางส่วนที่ตกค้าง (อัมพร, 2549)

เหล็กกล้าไร้สนิมกลุ่มมาเทนซิติก จะมีคาร์บไนท์ทุติยภูมิตกตะกอนเป็นจำนวนมาก ซึ่งจะลดความต้านทานแรงกระแทก ความแข็งที่อุณหภูมิสูง และความต้านทานการกัดกร่อน ในขณะที่อสเทนในตั้งเหลือตกค้างจะลดความต้านทานแรงดึง ความแข็ง และความต้านทานการกัดกร่อนของวัสดุ แต่บางครั้งพบว่าสามารถส่งผลกระทบเชิงบวกต่อความต้านทานการสึกหรอ ต้านทานการล้าตัว และเพิ่มความเหนียวระหว่างการใช้งาน ทั้งนี้อาจมีการเติมในโอเบียม ชิลิกอน ทังสเทน หรือวานเดียม

เพื่อปรับปรุงสมบัติที่ได้หลังการอบคลายความเค็น และอาจเติมนิกเกิลในบริเวณเล็กน้อยเพื่อความแข็งแกร่ง (สยาม, 2554)

2.5 เหล็กหล่อผสมโครเมียม-โนลิบดินัม

การผสมโนลิบดินัมในเหล็กหล่อโครเมียม จะส่งผลด้านเพิ่มความต้านทานการสึกหรอของเหล็กได้ เพราะโนลิบดินัมเมื่อร่วมกับคาร์บอนจะได้คาร์บิดซึ่งมีความแข็งสูงประมาณ 1000 HV_{50} และเป็นการเพิ่มคุณสมบัติความสามารถในการขับแข็ง (Hardenability) ให้กับเหล็ก โดยมีบพบที่จะป้องกันไม่ให้ออสเทนในตัวเปลี่ยนไปเป็นเพรลิตในขณะเหล็กเย็นตัวในแบบทราย หรือในขณะที่ทำการรวมวิธีทางความร้อน การผสมโนลิบดินัมนอกจากจะเพิ่มความต้านทานการสึกหรอแล้ว ยังมีผลในส่วนที่เกี่ยวกับความหนึ่งของเหล็กจะดีขึ้น โดยเฉพาะกับงานหล่อที่มีความหนามากๆ ในอุตสาหกรรมเหมืองแร่ ซึ่งเป็นอุปกรณ์ที่ใช้สำหรับตัวร่วมกับกระแทกต่อการกระแทกสูง จึงนิยมใช้เหล็กหล่อผสมทั้งโครเมียม และโนลิบดินัม ถึงแม้ว่าเหล็กจะมีราคาแพงกว่าเหล็กผสมโครเมียมเพียงอย่างเดียว ก็ตาม ดังที่ปรากฏในมาตรฐานเหล็กผสมโครเมียม ASTM A 532 ชั้นคุณภาพ 15 Cr-Mo ดังตารางที่ 2.3 จะผสมโนลิบดินัมร้อยละ 1 ถึง 3 โดยน้ำหนัก โดยลดปริมาณโครเมียมลงเหลือร้อยละ 14 ถึง 18 โดยน้ำหนัก และในชั้นคุณภาพโครเมียมร้อยละ 25 โดยน้ำหนัก จะผสมโนลิบดินัมประมาณไม่เกินร้อยละ 1.5 โดยน้ำหนัก เหล็กหล่อโครเมียมโนลิบดินัมบางชนิดที่ใช้กับงานหล่อที่มีความหนามากๆ จะผสมนิเกิล และทองแดง ประมาณไม่เกินร้อยละ 1 โดยน้ำหนัก ลงไปเพื่อความมุ่งหมายในการเพิ่มความสามารถในการขับแข็งเพิ่มขึ้น ดังเช่นเหล็กหล่อผสมโครเมียม และโนลิบดินัมที่มีมาตรฐาน BS 4844 ดังตารางที่ 2.2 ส่วนผสม และความแข็งของเหล็กหล่อโครเมียม BS 4844 เหล็กหล่อผสมโครเมียม และโนลิบดินัมสามารถนำไปใช้งานได้ในสภาพหล่อ เพราะโครงสร้างที่ได้จะเป็นออสเทนในตัว แต่เนื่องจากขั้นงานภายหลังการเย็นตัวในแบบทรายจะมีความเครียดเหลือค้างอยู่บ้าง จึงสมควรนำไปอบคลายความเครียดที่อุณหภูมิ 200 ถึง 250 องศาเซลเซียส เพื่อปรับปรุงความหนึ่ง โดยไม่ทำให้ความแข็งลดลง

หมายเหตุ : ธาตุผสมที่มีบพบที่ในเหล็กหล่อโครเมียมในฐานะที่เป็นธาตุผสมร่วมได้แก่ชิลิกอน และแมงกานีส ชิลิกอนมีผลทำให้เดนไดร์ฟมีแนวโน้มเป็นเฟอร์ไรท์ ซึ่งจะทำให้เหล็กมีความแข็งแรง และความต้านทานการสึกหรอต่ำลง แต่ถ้าผสมชิลิกอนในเหล็กหล่อโครเมียมไม่เกินร้อยละ 1.4 โดยน้ำหนัก จะมีผลทางด้านลดความต้านทานการสึกหรอน้อย แต่ถ้าเกินกว่าร้อยละ 1.4 โดยน้ำหนัก จะมีผลไปลดความต้านทานการสึกหรอ และความแข็งแรงมาก แมงกานีสมีผลทำให้เกิดโครเมียมคาร์บิดสูงขึ้น โดยแมงกานีสสามารถรวมกับคาร์บอนรวมกับโครเมียมในรูป $(\text{Fe,Cr})_3\text{C}_3$ แต่จะมีผลทำให้คาร์บิดประจำทำให้ความต้านทานต่ำลงด้วยส่วนรวมลดลง และอีกประการหนึ่งแมงกานีสเพิ่มความสามารถในการขับแข็งให้สูงขึ้น ทำให้ออสเทนในตัวมีเสถียรภาพสูงจะเปลี่ยนเป็นมาร์เทนไซต์ได้ช้า แต่เมื่อถูกแรงกระแทกในขณะใช้งาน ทำให้ความต้านทานการสึกหรอของเหล็กลดลง (มนัส, 2527)

2.6 กรรมวิธีทางความร้อนเหล็กหล่อโครงเมียมสูง

สาเหตุที่ต้องใช้กรรมวิธีทางความร้อนกับเหล็กหล่อ โดยทั่วไปมีดังนี้

- เพื่อเป็นการคลายความเค้นภายใน
- เพื่อทำให้โครงสร้างօอสเทนไนต์ และเป็นการทำให้เหล็กเย็นตัวอย่างรวดเร็ว หรือชุบแข็ง ทำให้เหล็กแข็งขึ้น ในสภาพที่มีปริมาณธาตุผสมอยู่ต่ำ
 - ทำให้โครงสร้างօอสเทนไนต์ในเหล็กโครงเมียมสูงเกิดความไม่เสถียร เพื่อช่วยให้เกิดการชุบแข็งในบรรยากาศ (Air-Hardening) ได้
 - เพื่อเป็นการอบคืนด้า หรือการอบเทมเพอร์ิng (Tempering) โครงสร้างมาร์เทนไซต์
 - เป็นการอบเพื่อแก้ปัญหาความไม่เหมาะสม และสม่ำเสมอของสมบัติในการหล่อ
 - ทำให้เหล็กมีความแข็งลดลง เพื่อให้การกัดกลึง หรืองานปรับแต่งทำได้ง่ายขึ้น
 - ปรับปรุงความเนียนย โดยการอบที่อุณหภูมิสูง
 - เปลี่ยนสภาพของօอสเทนไนต์ที่ตกค้าง

หลังจากงานหล่อผ่านการชุบมาแล้วย่อมจะมีความเครียดเหลือค้าง ควรจะต้องทำการกรรมวิธีทางความร้อนเพื่oclายความเครียดเป็นการเพิ่มความเนียนยให้กับชิ้นงาน การอบคลายความเครียดจะอบชิ้นงานที่อุณหภูมิประมาณ 200 องศาเซลเซียส ให้เวลาระหว่าง 4 ถึง 8 ชั่วโมง ในกรณีที่ชิ้นงานต้องรับแรงกระแทกสูงควรใช้อุณหภูมิอบคลายความเครียดสูงกว่า 200 องศาเซลเซียส ภายหลังที่ชิ้นงานผ่านกรรมวิธีทางความร้อนแล้ว ควรจะเพิ่มความแข็งขึ้นจากสภาพหล่อ 500 HV₁₀ เป็น 800 HV₁₀

ในกรณีที่ต้องกลึง หรือกัดเจาะชิ้นงานหล่อภายหลังการเย็นตัวในแบบทราย ซึ่งมีความแข็งสูง ดังนั้นจึงจำเป็นต้องทำให้ชิ้นงานอ่อนลงโดยการอบอ่อน (Annealing Heat Treatment) สำหรับเหล็กหล่อโครงเมียมสูงสามารถทำการอบอ่อนได้ โดยการอบที่อุณหภูมิ 950 ถึง 1010 องศาเซลเซียส และปล่อยให้เย็นลงช้าๆ ในเตาจนถึงอุณหภูมิประมาณ 760 องศาเซลเซียส แล้วปล่อยให้เหล็กลอยู่ อุณหภูมินานประมาณ 10 ถึง 50 ชั่วโมง จะทำให้คาร์บอนแยกตัวรวมกับโครงเมียมเป็นคาร์บิด ให้เหลือคราบอนละลายในօอสเทนไนต์อยู่ที่สุดเพื่อออสเทนไนต์จะได้เปลี่ยนเป็นเฟอร์ไรท์ในช่วงการเย็นตัวสุดท้าย ซึ่งโครงสร้างที่ได้จะเป็นเฟอร์ไรท์โดยมีการใบดกรายจัดกระจายอยู่ทั่วไป ทำให้สามารถกลึง หรือใส่ได้สะดวก

ชิ้นงานหล่ออาจได้รับการอบอ่อนการอบดีสเตบิไลเซชัน เพื่อให้ชิ้นงานมีส่วนผสมที่สม่ำเสมอ ซึ่งทำได้โดยการอบชิ้นงานที่อุณหภูมิ 740 ถึง 780 องศาเซลเซียส เป็นเวลา 4 ถึง 8 ชั่วโมง แล้วปล่อยให้ชิ้นงานเย็นตัวในเตา (Furnace Cooling) จนกระทั่งอุณหภูมิต่ำกว่า 300 องศาเซลเซียส การอบอ่อนจะทำให้ได้เดนไดร์ฟที่อ่อน (ความแข็งประมาณ 350 ถึง 400 HV₃₀) เนื่องจากเดนไดร์ฟประกอบด้วยเพิร์ลิติกคาร์บิด และเฟอร์ไรท์ ชิ้นงานในลักษณะนี้จะกัดแต่งได้ง่าย และมีความเค้นตกค้างต่ำ

โครงสร้างที่ได้รับการเพิ่มความแข็งมีเฟสօอสเทนในตตค้าง (Retained Austenite) ซึ่งจะเกิดการเปลี่ยนเฟสในระหว่างการใช้งาน ทำให้ขั้นจานเกิดการแตกหัก เพื่อที่จะลดข้อเสียข้อนี้ เราสามารถปริมาณเฟสօอสเทนในตตค้างโดยการอบเทมเปอร์ริงใต้วิกฤติ (Sub-Critical Tempering) ซึ่งเป็นกรรมวิธีทางความร้อนของเหล็กหล่อโครงเมียมสูงอีกవิธีหนึ่ง เพื่อปรับปรุงสมบัติต้านทานการสึกหรอโดยเหล็กถี่ยงกรรมวิธีทางความร้อนที่อุณหภูมิสูงเป็นการสืบเปลี่ยนพลังงานความร้อน และไม่เสียต่อการแตกกร้าวนากนัก แต่ผลที่ได้จะไม่สูงเท่ากับกรรมวิธีทางความร้อนที่อุณหภูมิสูงโดยหลักการจะใช้อุณหภูมิประมาณ 500 องศาเซลเซียส อบชั้นจานหล่อภายนหลังจากที่เย็นตัวในแบบทรายแล้ว ซึ่งจะทำให้ออสเทนในตตค้างบางส่วนที่เกิดจากการเย็นตัวในแบบทรายเปลี่ยนเป็นมาเทนไซต์ และเมื่อปล่อยให้เหล็กเย็นตัวลงมาจนถึงอุณหภูมิห้องจะทำให้เหล็กมีความแข็งสูงขึ้นเล็กน้อย ภายหลังการอบเทมเปอร์ริง หรืออบคืนไฟจะได้ความแข็งประมาณ 709 HV_{30} และเหล็กจะมีความเหนียวสูงขึ้น การอบเทมเปอร์ริงจะได้ผลดีเฉพาะกับเหล็กหล่อโครงเมียม-โนลิบดินัม ซึ่งนิยมใช้มากในอุตสาหกรรมทำลูกรีดเหล็กขนาดใหญ่ และจะทำหลังจากการอบเพิ่มความแข็ง

2.7 การกระจายของคาร์ไบด์

คาร์ไบด์เป็นเฟสที่มีความแข็ง และเปราะ การกระจายของคาร์ไบด์ตามขอบเกรนจึงเป็นผลต่อความแข็งแรงที่อุณหภูมิสูง ดังนั้นปริมาณ และการกระจายของคาร์ไบด์จะมีความสำคัญมาก ในกลุ่มชุบเปอร์อลลอยด์ทั่วไปจะมีคาร์บอนประมาณร้อยละ 0.02 – 0.2 โดยน้ำหนัก ซึ่งจะทำให้เกิดคาร์ไบด์ห้องบริเวณขอบเกรน และในเกรน ถ้าไม่มีคาร์ไบด์เกาะที่ขอบเกรน อาจเกิดการร่วมตัวของช่องว่าง (Voids) ขณะใช้งานที่อุณหภูมิสูง เป็นเหตุให้เกิดการเลื่อนของขอบเกรนทำให้ความแข็งแรงลดลง ในทางตรงกันข้ามถ้ามีคาร์ไบด์ต่อเนื่องตลอดขอบเกรนจะทำให้เกิดการแตกหัก ซึ่งเป็นจากการเลื่อนของขอบเกรนถูกขัดขวางจนเกิดความคืบสูงเกินไป นำไปสู่การแตกหักก่อนเวลาอันควร ถ้ามีคาร์ไบด์เชื่อมกันอย่างไม่ต่อเนื่องตามขอบเกรน จะขัดขวางการแตกที่ขอบเกรนได้ดี คาร์ไบด์มีหลายชนิดมีส่วนผสมดังนี้

MC ซึ่ง M ได้แก่ ไทเทเนียม แทนทาลัม โคบอลต์ หัสดา เผบฯ คาร์ไบด์เหล่านี้มีความเสียรภาพ และเกิดในช่วงแรกของการแข็งตัว

$M_{23}C_6$ ซึ่ง M ได้แก่ โครงเมียม อาจแทนที่ด้วยเหล็ก หัสดา โนลิบดินัม ปริมาณเล็กน้อย $M_{23}C_6$ มักเกิดระหว่างการทำกรรมวิธีทางความร้อนที่อุณหภูมิต่ำ หรือการใช้งานที่ 760 ถึง 980 องศาเซลเซียส บางกรณีอาจเกิดจากการสลายตัวของ MC ก็ได้ มักเกิดที่ขอบเกรน

M₅C คล้าย M₂₃C₆ มักเกิดที่อุณหภูมิสูงกว่า คือที่อุณหภูมิ 815 ถึง 980 องศาเซลเซียส จะเกิดได้เมื่อมีปริมาณของทั้งสแตน แอลูมิเนียมมาก เช่น M – 252 และ Rene' 41 มีปริมาณของโมลิบดินัม และทั้งสแตนมากกว่าร้อยละ 6 ถึง 8 โดยน้ำหนัก จะเกิดการใบด์ M₆C รวมกับการใบด์ M₂₃C₆ ที่ขอบเกรน Cr₇C ไม่ค่อยเสื่อมรักเปลี่ยนไปเป็น M₂₃C₆

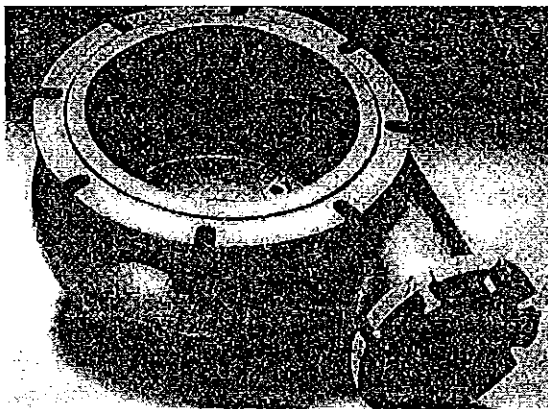
2.8 การใช้งานของเหล็กหล่อโครงเมียมสูง

เหล็กหล่อโครงเมียมสูง มีการใช้งานอย่างกว้างขวางในงานที่ต้องการความทนทานต่อการสึกหรอแบบขัดถู (Abrasive) เช่น ในกระบวนการผลิตสินแร่ การบดหินเป็นผง การผลิตซีเมนต์ และการบีบของเหลวขั้น ชั้นส่วน หรือผลิตภัณฑ์ที่ทำจากเหล็กหล่อคู่กันมีหลายขนาดตั้งแต่ลูกบดขนาดเล็กๆ ไปจนถึงชิ้นส่วนที่มีขนาดใหญ่ เช่น รากลูกกลิ้งสำหรับดีบเป็นผง และชิ้นส่วนของลูกกลิ้ง ในการใช้งานหลายประเภทของเหล็กหล่อคู่กันนี้จะต้องมีความต้านทานต่อการสึกหรอแบบขัดถู และความต้านทานต่อการแตกหักสูงเพียงพอเพื่อป้องกันไม่ให้ชิ้นงานแตกกร้าวเมื่อได้รับแรงกระแทก ในบางกรณีเหล็กหล่อจะมีความต้านทานต่อการสึกหรอ และการกัดกร่อนร่วมกัน ในระยะเวลาหลายปีที่ผ่านมา นั้น เหล็กหล่อโครงเมียมสูงมีแนวโน้มที่จะแทนที่เหล็ก Ni-Hard ซึ่งเป็นเหล็กหล่อ никเกล และโครงเมียมแบบมาร์เทนซิติก เนื่องจากเหล็กหล่อโครงเมียมสูงสามารถทนต่อการแตกหัก การสึกหรอ รวมทั้งการกัดกร่อนได้ดีกว่า และในหลายกรณีเหล็กหล่อโครงเมียมสูงได้รับการเลือกใช้งานแทนที่เหล็กกล้าทันต่อการสึกหรอ (Wear Resistant Steels) (อัมพร, 2549)

2.8.1 ตัวอย่างชิ้นงานเหล็กหล่อโครงเมียมสูง

2.8.1.1 ตัวถังปั๊มแบบหอยโ่ง (Centrifugal Pump Casing)

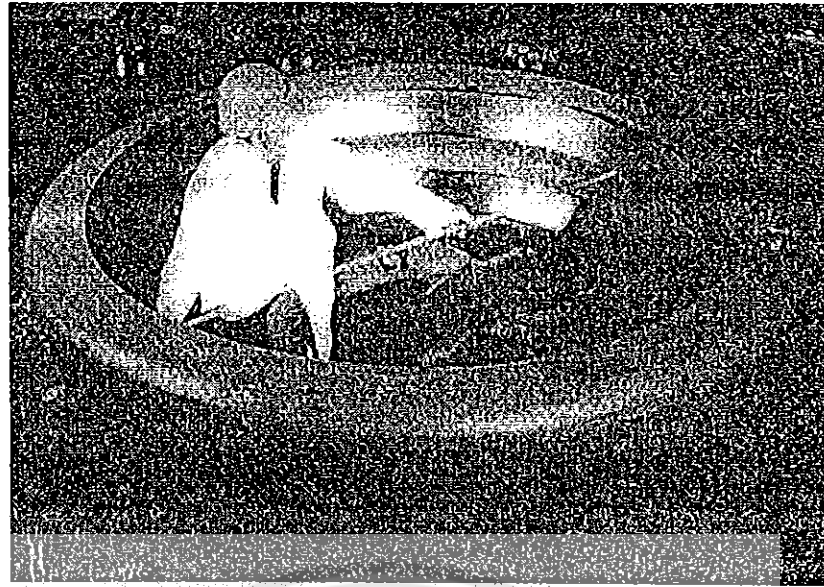
ชิ้นส่วนนี้มักได้รับการระบุให้ผลิตโดยถูกต้องแล้วใช้เหล็กหล่อโครงเมียมสูงร้อยละ 25 โดยน้ำหนัก และคาร์บอนร้อยละ 3 โดยน้ำหนัก ตามมาตรฐาน BS 4844:1986 Grade 3E ทั้งในสภาพชิ้นงานหล่อ หรือชิ้นงานที่ผ่านกรรมวิธีทางความร้อนแม้ว่าตัวถังปั๊มแบบหอยโ่งจะมีลักษณะรูปร่างที่ค่อนข้างซับซ้อนก็ตาม แต่ความหนาของบริเวณต่างๆ ส่วนใหญ่จะมีค่าใกล้เคียงกัน ประมาณ 50 มิลลิเมตร ทำให้กรรมวิธีทางความร้อนทำได้ไม่ยากนักเนื่องจากชิ้นงานหนาไม่มาก อีกทั้งลักษณะรูปร่างของชิ้นงานยังทำให้อากาศไหลเวียนได้อย่างสะดวกในระหว่างการขึ้นโดยใช้ลมพ่นเป่า



รูปที่ 2.4 ตัวถังปั๊มแบบหอยโข่งสำหรับการขันถ่ายน้ำมันดิน ตัวปั๊มมีรัศมีภายนอก 1 เมตร และ มีน้ำหนัก 350 กิโลกรัม

2.8.1.2 ล้อลูกกลิ้ง (Roller Tyres)

ล้อลูกกลิ้งเป็นอุปกรณ์ซึ่งใช้ในการบดถ่ายหิน หรือปูนในโน้ມแบบแกนแนวตั้ง ขึ้นงานนี้อาจมีเส้นผ่านศูนย์กลางภายนอกได้ตั้งแต่ 1 ถึง 4 เมตร สูง 0.75 ถึง 1.25 เมตร และหนาได้ ถึง 0.35 เมตร ลูกกลิ้งมักจะทำจากเหล็กหล่อโดยเรียบสูงร้อยละ 20 โดยน้ำหนัก และร้อยละ 2 ถึง 2.5 โดยน้ำหนัก ตามมาตรฐาน BS 4844 เกรด 3C ที่ผ่านกรรมวิธีทางความร้อนมาแล้ว และในทำนองเดียวกับตัวถังของปั๊ม (Pump Casting) ระดับความยากของกรรมวิธีทางความร้อนอย่างมีประสิทธิภาพ จะเพิ่มขึ้นตามขนาดของขึ้นงานอัตราการเพิ่มจะขึ้นอยู่กับอุณหภูมิจะควบคุมตามขนาดของขึ้นงาน ถ้าขึ้นงานที่มีขนาดใหญ่จะต้องการระยะเวลาในการหิงไว้ในเตา ก่อนถึงอุณหภูมิ ดีสเทบีໄลเซ็น การปล่อยให้เย็นตัวในอากาศจะต้องเป็นไปอย่างสม่ำเสมอเพื่อลดความแตกต่างของ อุณหภูมิระหว่างบริเวณต่างๆ ภายในเนื้อขึ้นงานต่อจากการพ่นเป่าด้วยอากาศ ในขณะที่ความร้อน ส่วนสุดท้ายที่หลงเหลืออยู่กำลังจะหมดไปนั้นจำเป็นอย่างยิ่งที่จะต้องหลีกเลี่ยง “อากาศเย็น (Draughts)” เนื่องจากขึ้นงานหล่อ มีความเสี่ยงต่อการแตกร้าวสูงสุดช่วงนี้ การอบเหมเปอริง จะทำหลังจากขึ้นงานหล่อ มีอุณหภูมิถึงอุณหภูมิโดยรอบเท่ากันทั่วทุกส่วน และเข่นเดียวกับเหล็กผสม ทุกชนิด อุณหภูมิในการอบเหมเปอริงที่เหมาะสมที่สุดจะขึ้นอยู่กับส่วนผสมทางเคมี และค่าความแข็ง สุดท้ายที่ต้องการ



รูปที่ 2.5 ล้อลูกกลิ้งสำหรับใช้ในการบดหินในอุตสาหกรรมเหมืองแร่เมืองน้ำหนัก
4500 กิโลกรัม

2.8.1.3 แท่งสำหรับกระแทก (Impact Bars)

แท่งประภานีมัคจะมีขนาดยาว 1 เมตร x กว้าง 0.5 เมตร x หนา 0.1 เมตร และขึ้นงานอาจจะมีช่องร่าง (Slot) ตามแนวยาว หรือตามแนวขวางในตำแหน่งต่างๆ ขึ้นงานนี้ ทำหน้าที่เป็นส่วนที่ต้องทนต่อการสึกหรอในอุปกรณ์บดกระแทกแบบหมุน (Rotary Impact Crushers) และมักจะทำจากเหล็กหล่อตามมาตรฐาน BS 4844 เกรด 3E ที่มีส่วนผสม ศีอิโครมีเยียม ร้อยละ 22 ถึง 28 โดยน้ำหนัก และคาร์บอนร้อยละ 2.8 ถึง 3.5 โดยน้ำหนัก แม้ว่าขึ้นงานนี้จะมี รูปร่างง่าย และไม่ซับซ้อนมากนัก แต่ก็จำเป็นต้องได้รับการควบคุมคุณภาพของกรรมวิธีทางความ ร้อนอย่างระมัดระวัง แม้ว่าอัตราเพิ่มอุณหภูมิ หรือระยะเวลาที่ใช้ขึ้นงานไว้ จะเหมือนไม่เป็นปัญหา มากนัก แต่เราต้องจำเป็นต้องสนใจเกี่ยวกับการจัดวางขึ้นงานในเตาอบ และการลดอุณหภูมิตัวอากาศ เช่น ห้ามวางแท่งสำหรับกระแทกนี้ช้อนๆ กันเหมือนการเรียงอิฐ แต่ต้องจัดเรียงกันโดยทิ้งที่ว่างเอาไว้ พอดีสมควร (อย่างต่ำ 0.1 เมตร) เพื่อให้มั่นใจว่าขึ้นงานได้รับการเพิ่มอุณหภูมิอย่างสม่ำเสมอ และ ได้รับการซุบมาที่อุณหภูมิท้อง

2.9 บทความวิจัยที่เกี่ยวข้อง

จากบทความวิจัยของ อัมพร (2549) ได้ทำการศึกษาโครงสร้างจุลภาคของเหล็กหล่อโครงเมียมสูง ที่มีส่วนผสมโครงเมียมร้อยละ 30 โดยน้ำหนัก คาร์บอนร้อยละ 2.3 โดยน้ำหนัก ด้วยกล้องจุลทรรศน์แบบแสง และกล้องจุลทรรศน์อิเล็กตรอนแบบส่องร้าด ชิ้นงานสภาพหล่อได้ทำการอบดีสเตบีไลเซ็นที่อุณหภูมิ 900 ถึง 1100 องศาเซลเซียส เป็นเวลา 2 ถึง 8 ชั่วโมง และปล่อยให้เย็นตัวในอากาศ ชิ้นงานในสภาพหล่อ และหลังกรรมวิธีทางความร้อนได้ทำการทดสอบความแข็งแบบวิกเกอร์ จากการทดลองพบว่าโครงสร้างจุลภาคของชิ้นงานในสภาพหล่อนั้น ประกอบด้วยเดนไครท์ของอสเทเนในตปฐมภูมิล้อมรอบด้วยโครงสร้างยูเทคติก ซึ่งประกอบด้วย ยูเทคติกคาร์ไบด์ที่มีปริมาณโครงเมียมสูง และหลังจากการอบดีสเตบีไลเซ็นโครงสร้างจุลภาคประกอบด้วยคาร์ไบด์ทุติยภูมิที่แตกต่างกันในเดนไครท์ของอสเทเนในตปฐมภูมิ ซึ่งเปลี่ยนเป็นมาแทนไซต์ระหว่างการเย็นตัวในอากาศ ผลจากการทดสอบพบว่าหลังการอบดีสเตบีไลเซ็นที่อุณหภูมิ 1025 องศาเซลเซียส เป็นเวลา 4 ชั่วโมงให้ความแข็งสูงสุด ซึ่งความแข็งโดยรวม และความแข็งจุลภาคมีค่าเพิ่มขึ้น เนื่องมาจาก การแตกต่างกันของคาร์ไบด์ทุติยภูมิในเดนไครท์ของอสเทเนไซต์

จากบทความวิจัยของ ประกายพิพิญ และอัมพร (2550) ได้ทำการศึกษาโครงสร้างจุลภาคของเหล็กหล่อโครงเมียมสูงที่มีส่วนผสมโครงเมียมร้อยละ 18 โดยน้ำหนัก คาร์บอนร้อยละ 3 โดยน้ำหนัก และโมลิบดินัมร้อยละ 6.7 โดยน้ำหนัก ด้วยกล้องจุลทรรศน์แบบแสง กล้องจุลทรรศน์อิเล็กตรอนแบบส่องร้าด และแบบส่องผ่านชิ้นงานสภาพหล่อได้ทำการอบดีสเตบีไลเซ็นที่อุณหภูมิ 1000 องศาเซลเซียส เป็นเวลา 4 ชั่วโมง และปล่อยให้เย็นตัวในอากาศ จากนั้นนำมารอบเหมเปอริงที่อุณหภูมิ 450 องศาเซลเซียส เป็นเวลา 4 ชั่วโมง และให้เย็นตัวในอากาศ ชิ้นงานในสภาพหล่อ และหลังกรรมวิธีทางความร้อนได้ทำการทดสอบความแข็งแบบวิกเกอร์จากการทดลองพบว่าโครงสร้างจุลภาคของชิ้นงานในสภาพหล่อนั้น ประกอบด้วยเดนไครท์ของอสเทเนในตปฐมภูมิล้อมรอบด้วยโครงสร้างยูเทคติก ซึ่งประกอบด้วยยูเทคติกคาร์ไบด์ที่มีปริมาณโมลิบดินัมสูง และหลังจากการอบดีสเตบีไลเซ็นโครงสร้างจุลภาคประกอบด้วยคาร์ไบด์ทุติยภูมิที่แตกต่างกันในเดนไครท์ของอสเทเนในตปฐมภูมิ ซึ่งเปลี่ยนเป็นมาแทนไซต์ระหว่างการเย็นตัวในอากาศ จากการวิเคราะห์แบบรูปการเดี้ยวเบนของอิเล็กตรอนยืนยันได้ว่ายูเทคติกคาร์ไบด์ และคาร์ไบด์ทุติยภูมิเป็นชนิด M_7C_3 สำหรับเดนไครท์หลังการอบดีสเตบีไลเซ็นเป็นมาแทนไซต์ ผลจากการทดสอบพบว่าหลังการอบดีสเตบีไลเซ็น ความแข็งโดยรวม และความแข็งจุลภาคมีค่าเพิ่มขึ้น เนื่องมาจากการแตกต่างกันของคาร์ไบด์ทุติยภูมิในเดนไครท์ของมาแทนไซต์ นอกจากนี้ยังพบว่าชิ้นงานที่ผ่านการอบเหมเปอริงหลังการอบดีสเตบีไลเซ็นทำให้ความแข็งมีค่าสูงขึ้น เนื่องจากการลดลงของเฟสอสเทเนในต์ตกค้าง

บทที่ 3

วิธีดำเนินโครงการ

3.1 วัตถุดิบ และส่วนผสมทางเคมี

เหล็กหล่อโครงเมียมสูงที่ใช้ในการทดลองมี 2 ส่วนผสม คือ เหล็กหล่อโครงเมียมสูงชนิดไม่เติมโมลิบดินัม และเหล็กหล่อโครงเมียมสูงชนิดเติมโมลิบดินัม ดังตารางที่ 3.1 เหล็กหล่อโครงเมียมสูงได้จากการหลอมเหล็กพิกที่มีชิลิกอน และธาตุต่างๆในปริมาณต่ำ หลอมด้วยเตาไฟฟ้าแบบเหนียวแนงจากนั้นนำมาเทในแบบหล่อทรายรูปทรงกรวยที่มีขนาดเส้นผ่าศูนย์กลาง 2.5 เซนติเมตร ยาว 30 เซนติเมตร

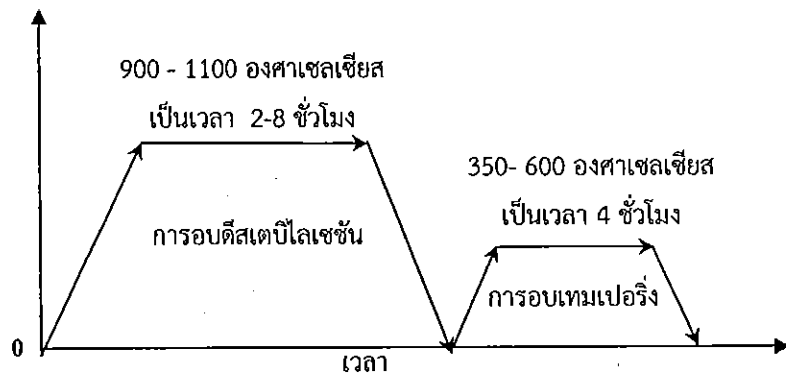
ตารางที่ 3.1 ส่วนผสมทางเคมีของเหล็กหล่อโครงเมียมสูงที่ใช้ในการทดลอง

เหล็กหล่อโครงเมียมสูง	ส่วนผสมทางเคมี (ร้อยละโดยน้ำหนัก)									
	Cr	C	Si	Mn	S	P	Ni	Cu	Mo	Fe
ไม่เติม โมลิบดินัม	25.56	2.440	0.735	0.911	0.029	0.041	0.120	0.080	0.012	70.072
เติม โมลิบดินัม	25.44	2.430	0.706	0.595	0.042	0.048	0.120	0.090	0.724	69.085

3.2 กรรมวิธีทางความร้อน

กรรมวิธีทางความร้อนในการทดลองนี้มี 2 วิธี ดังรูปที่ 3.1 คือการอบดีสเตบีໄโลเซชัน หลังการอบดีสเตบีໄโลเซชัน และการอบเทมเปอร์ โดยมีจุดประสงค์ และขั้นตอนดังต่อไปนี้

อุณหภูมิ(องศาเซลเซียส)



รูปที่ 3.1 กรรมวิธีทางความร้อนของเหล็กหล่อโครงเมียมสูง

3.2.1 ศึกษาผลของการอบดีสเตบีไลเซ็นต์ต่อโครงสร้างและความแข็ง

ในการทดลองได้นำขั้นงานเหล็กหล่อโครงเมียมสูงในสภาพหล่อที่ผ่านการอบดีสเตบีไลเซ็นท์อุณหภูมิ 900, 1000 และ 1100 องศาเซลเซียส เป็นเวลา 2, 4 และ 8 ชั่วโมง และปล่อยให้เย็นตัวในอากาศ จากนั้นนำไปศึกษาโครงสร้างจุลภาค และทดสอบความแข็ง รายละเอียด ดังรูปที่ 3.1 และตารางที่ 3.2

ตารางที่ 3.2 สภาพการอบดีสเตบีไลเซ็นต์ของเหล็กหล่อโครงเมียมสูง

อุณหภูมิ (องศาเซลเซียส)	เวลา (ชั่วโมง)
900	2
	4
	8
1000	2
	4
	8
1100	2
	4
	8

ตารางที่ 3.3 สภาพการอบดีสเตบีไลเซ็นต์ และเพิ่มเปลี่ยนของเหล็กหล่อโครงเมียมสูง

การอบดีสเตบีไลเซ็นต์	การอบเพิ่มเปลี่ยน
เลือกสภาพที่มีความแข็งสูงสุด และใกล้เคียงกัน	350 องศาเซลเซียส เป็นเวลา 4 ชั่วโมง
	400 องศาเซลเซียส เป็นเวลา 4 ชั่วโมง
	450 องศาเซลเซียส เป็นเวลา 4 ชั่วโมง
	500 องศาเซลเซียส เป็นเวลา 4 ชั่วโมง
	550 องศาเซลเซียส เป็นเวลา 4 ชั่วโมง
	600 องศาเซลเซียส เป็นเวลา 4 ชั่วโมง

3.2.2 ศึกษาผลของการอบเทมเปอร์ริงหลังการอบดีสเตบิไลเซชันต่อโครงสร้าง และความแข็ง

โดยนำเหล็กในสภาพหล่อจำานวน 7 ชิ้นไปอบดีสเตบิไลเซชันที่อุณหภูมิ 1000 องศาเซลเซียส เป็นเวลา 4 ชั่วโมง จากนั้นนำขึ้นงานจำานวน 6 ชิ้น มาอบเทมเปอร์ริงที่อุณหภูมิ 350, 400, 450, 500, 550 และ 600 องศาเซลเซียส เป็นเวลา 4 ชั่วโมง และปล่อยให้เย็นตัวในอากาศ ดังรูปที่ 3.1 และตารางที่ 3.3

3.3 การศึกษาโครงสร้างจุลภาค

โครงสร้างจุลภาคของเหล็กหล่อโครงเมียมสูง ศึกษาด้วยกล้องจุลทรรศน์แบบแสง (Light Microscopy, LM) และกล้องจุลทรรศน์อิเล็กตรอนแบบส่องกราด (Scanning Electron Microscopy, SEM) ขั้นตอนการเตรียมตัวอย่างมีดังต่อไปนี้

3.3.1 นำขึ้นงานขัดด้วยกระดาษทรายซิลิกอนคาร์บide เบอร์ 180, 320, 600, และ 1000 ตามลำดับ

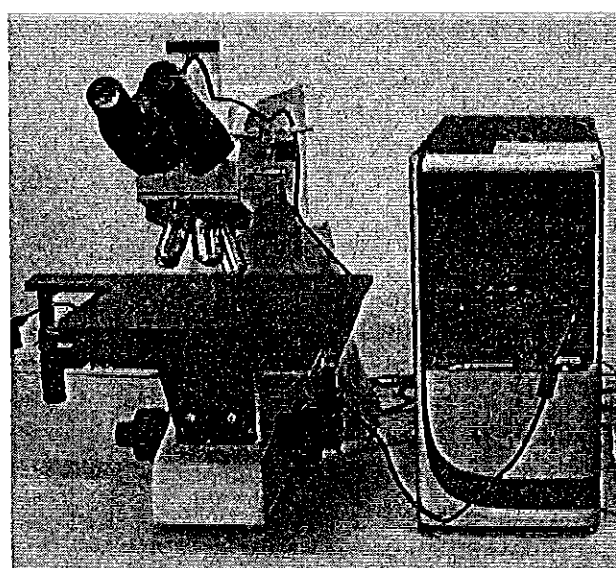
3.3.2 นำขึ้นงานที่ขัดด้วยกระดาษทรายมาขัดละเอียดด้วยผงเพชรขนาด 6 ไมครอน

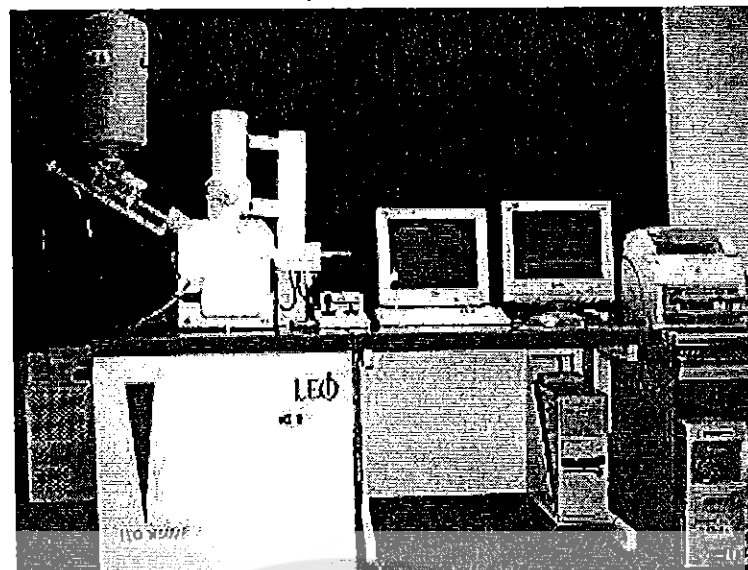
3.3.3 นำขึ้นงานมาแล้วทำการกัดกรด ซึ่งกรดที่ใช้มี 3 ชนิดคือ

3.3.3.1 กรด 10 กรัม ของ $\text{Na}_2\text{S}_2\text{O}_5$ + 50 มิลลิลิตร ของ HCl + ในน้ำกลั่น 100 มิลลิลิตร เพื่อศึกษาโครงสร้างจุลภาคโดยรวม และแยกชนิดของเดนไدرท์

3.3.3.2 กรด 10 มิลลิลิตร ของ HCl + 100 มิลลิลิตร ของ เมทานอล เป็นเวลา 27 ชั่วโมง เรียกว่า กัดลึก (Deep Etching) ซึ่งจะกัดเอาส่วนของเดนไдрท์ออกเหลือเฉพาะคาร์บide ทำให้เห็นลักษณะคาร์บideใน 3 มิติ

3.3.3.3 กรด 4 กรัม ของ KMnO_4 + 4 กรัม ของ NaOH + H_2O ซึ่งจะกัดเฉพาะคาร์บideออกเหลือเดนไдрท์ ทำให้เห็นลักษณะคาร์บideทุกมุม





รูปที่ 3.3 กล้องจุลทรรศน์อเล็กทรอนแบบส่องภาพ (Scanning Electron Microscope)

3.4 การศึกษาชนิดเฟส

ชนิดเฟส และโครงสร้างผลึกของเหล็กหล่อโครงเมียมสูง ศึกษาด้วยเทคนิคการเลี้ยวเบนของรังสีเอ็กซ์ (X-Ray Diffractometry, XRD) โดยกำหนดมุมอยู่ในช่วง 30 ถึง 130 องศา ยี่ห้อ Philips รุ่น Expert โดยใช้ $Cu K\alpha$ มีขั้นตอนการเตรียมชิ้นงานคือ นำเหล็กในสภาพหล่อ และเหล็กที่ผ่านการอบตีสเตปไอลเซชัน และการอบเทมเปอร์ริงไปชัดด้วยกระดาษทรายซิลิกอนคาร์บิด เบอร์ 180, 320, 600, 800 และ 1000 ตามลำดับ จากนั้นนำไปตัดให้มีความสูงไม่เกิน 0.5 เซนติเมตร



รูปที่ 3.4 เครื่องวิเคราะห์การเลี้ยวเบนของรังสีเอ็กซ์ ยี่ห้อ Philips รุ่น Expert

3.5 การวิเคราะห์ปริมาณธาตุ

การวิเคราะห์องค์ประกอบทางเคมีสเปกตรัมของการวัดการกระจายพลังงานของรังสีเอ็กซ์ เพื่อดูการกระจายตัวของธาตุต่างๆ ในเดนไครท์ และยูเทคติการ์เบดได้จากการวัดการกระจายพลังงานของรังสีเอ็กซ์ (Energy Dispersion X-Ray Spectroscopy, EDXS) ที่ต่อ กับกล้องจุลทรรศน์อิเล็กตรอนแบบส่องกราด

3.6 การทดสอบความแข็ง

การทดสอบความแข็งโดยรวมของเหล็กหล่อโครงเมียมสูงก่อน และหลังกรรมวิธีทางความร้อน โดยใช้แบบวิกเกอร์ (Vickers Macrohardness Testing) โดยการนำชิ้นงานที่เตรียมสำหรับโครงสร้างจุลภาคที่ยังไม่ได้กัดกรدمำทำการทดสอบ โดยใช้น้ำหนัก 30 กิโลกรัม เป็นเวลา 15 วินาที หักดเป็นแบบเพชร และทำการทดสอบชิ้นงานละ 10 จุดแบบสุ่มแล้วนำมาหาค่าเฉลี่ย



รูปที่ 3.5 เครื่องทดสอบความแข็ง ยี่ห้อ Galileo

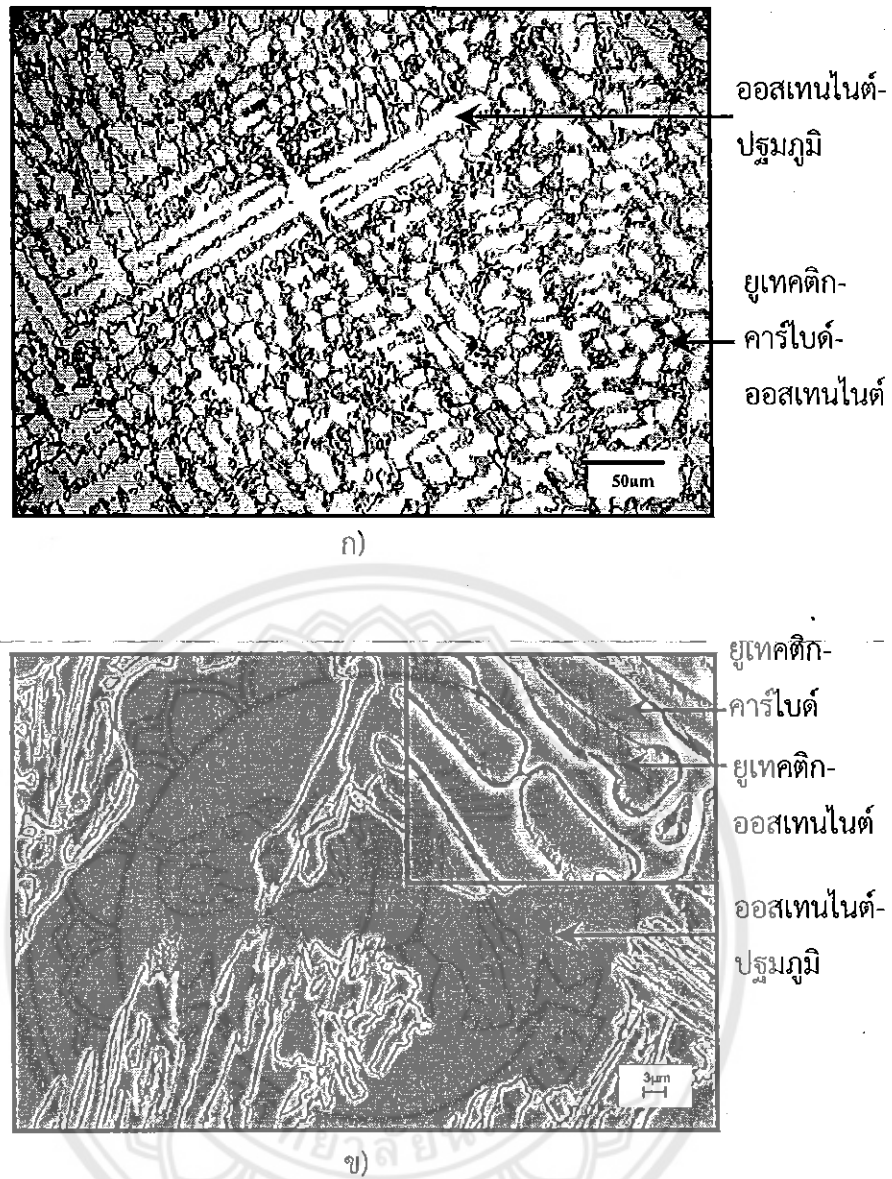
บทที่ 4

ผลการทดลอง และวิเคราะห์

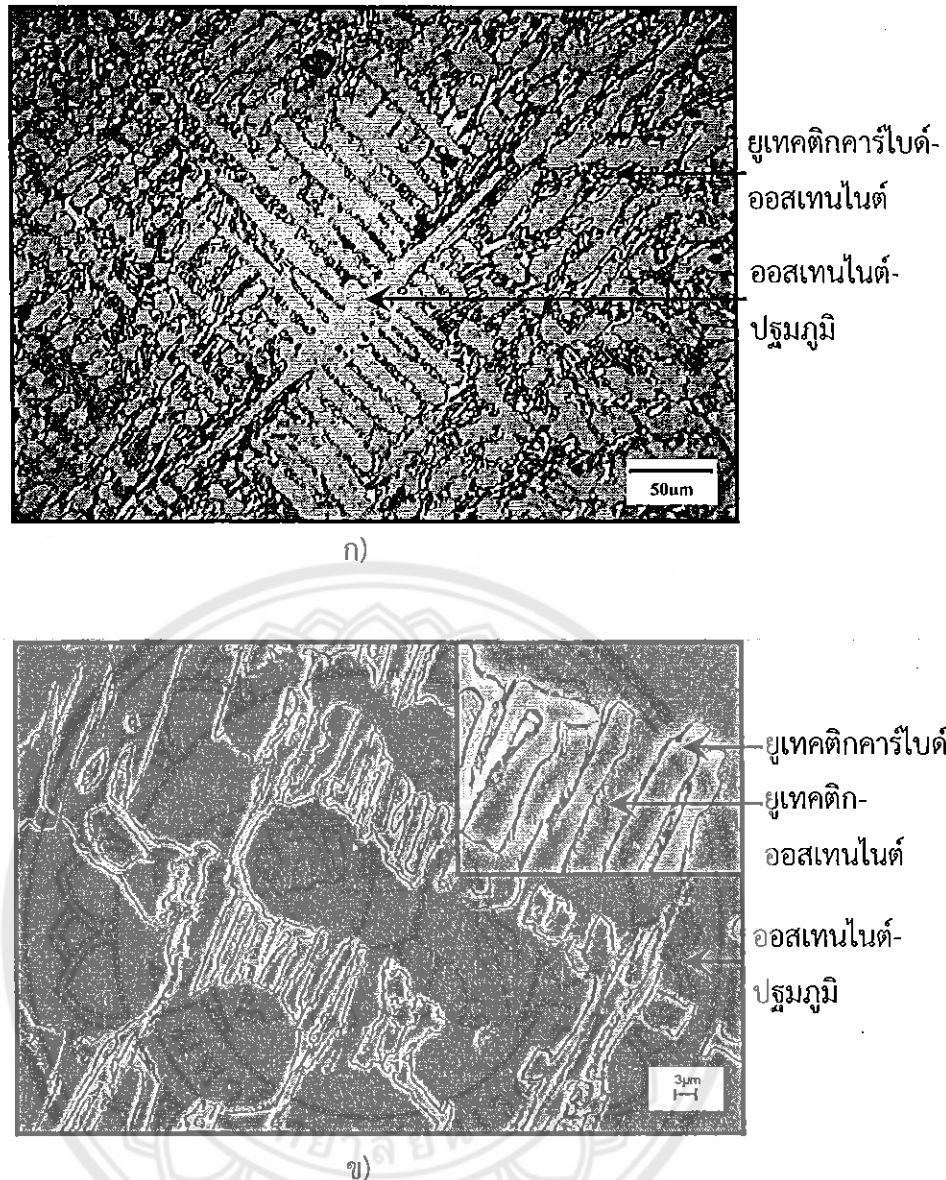
4.1 ศึกษาโครงสร้างจุลภาคหลังการหล่อ

4.1.1 โครงสร้างจุลภาคในสภาพหล่อ

จากการศึกษาโครงสร้างในสภาพหล่อด้วยกล้องจุลทรรศน์แบบแสง (LM) กล้องจุลทรรศน์อิเล็กตรอนแบบส่องกราด (SEM) พบว่าโครงสร้างจากกล้องจุลทรรศน์แสดงประกอบด้วยโครงสร้าง 2 ส่วน คือ เด่นไดร์ทของอสเทนในต์ปัตต์มูนภูมิแสดงเป็นสีขาว และยูเทกติกคาร์ไบด์-อสเทนในต์แสดงเป็นสีขาวลับดำ ดังรูปที่ 4.1 ก) และ 4.2 ก) เมื่อศึกษาโครงสร้างจากกล้องจุลทรรศน์อิเล็กตรอนแบบส่องกราดประกอบด้วยโครงสร้าง 2 ส่วน คือ เด่นไดร์ทของอสเทนในต์ปัตต์มูนภูมิแสดงเป็นสีดำ และยูเทกติกคาร์ไบด์-อสเทนในต์แสดงเป็นสีลับขาว-ดำ (ดังรูปที่ 4.1-ช) และ 4.2 ช) หลังการกัดกรดแบบลึก ด้วยกรด HCl เป็นเวลา 27 ชั่วโมง จะเห็นลักษณะของยูเทกติกคาร์ไบด์ที่เชื่อมต่อกันที่กำลังขยายสูงขึ้น พบว่ามีลักษณะการไบเดอร์ทุติยภูมิเป็นแผ่นเป็นแท่งยาว และเรียงตัวในแนวเดียวกัน ดังรูปที่ 4.3



รูปที่ 4.1 ภาพถ่ายโดยรังสีวิเคราะห์สร้างจุลภาคในสภาพหล่อที่ประกอบด้วยเดนไคร์ทของօօսเทนไนต์-ปրอเมกมี และยูเทคติกคาร์ไบด์-օօսเทนไนต์ ของเหล็กหล่อที่ไม่เติมโนโลหิตินัม
 ก) ภาพถ่ายจากกล้อง LM
 ข) ภาพถ่ายจากกล้อง SEM
 (กรด 10 กรัม ของ $\text{Na}_2\text{S}_2\text{O}_5$ + 50 มิลลิลิตร ของ HCl + ในน้ำกลั่น 100 มิลลิลิตร)

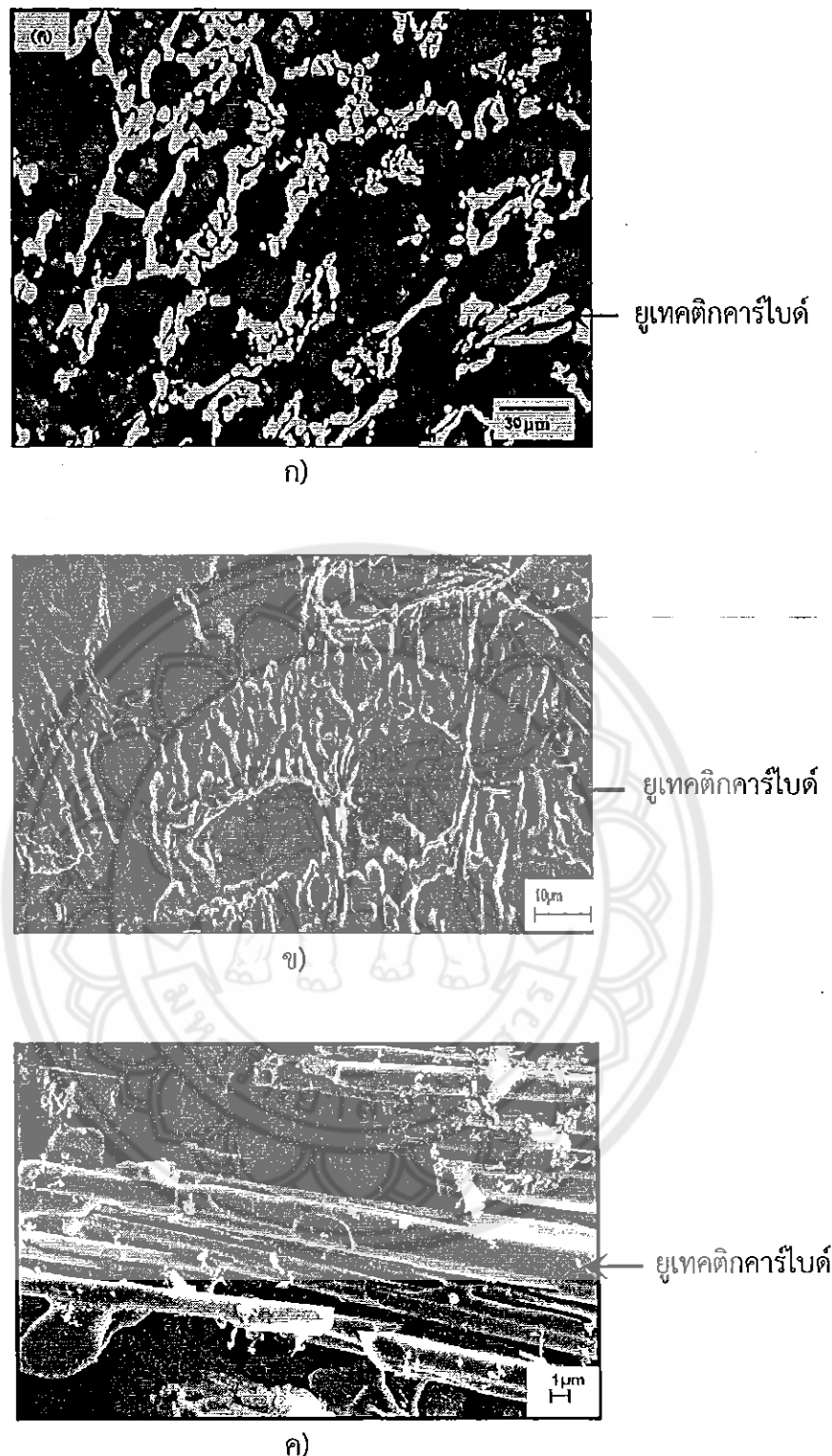


รูปที่ 4.2 ภาพถ่ายโครงสร้างจุลภาคในสภาพหล่อที่ประกอบด้วยเดนไดร์ทของออสเทนไนต์-
ปรัมภภูมิ และยูเทคติกการ์บีด-ออสเทนไนต์ของเหล็กหล่อที่เติมโนโลหิตน้ำมัน

ก) ภาพถ่ายจากกล้อง LM

ข) ภาพถ่ายจากกล้อง SEM

(กรด 10 กรัม ของ $\text{Na}_2\text{S}_2\text{O}_5$ + 50 มิลลิลิตร ของ HCl + ในน้ำกลั่น 100 มิลลิลิตร)



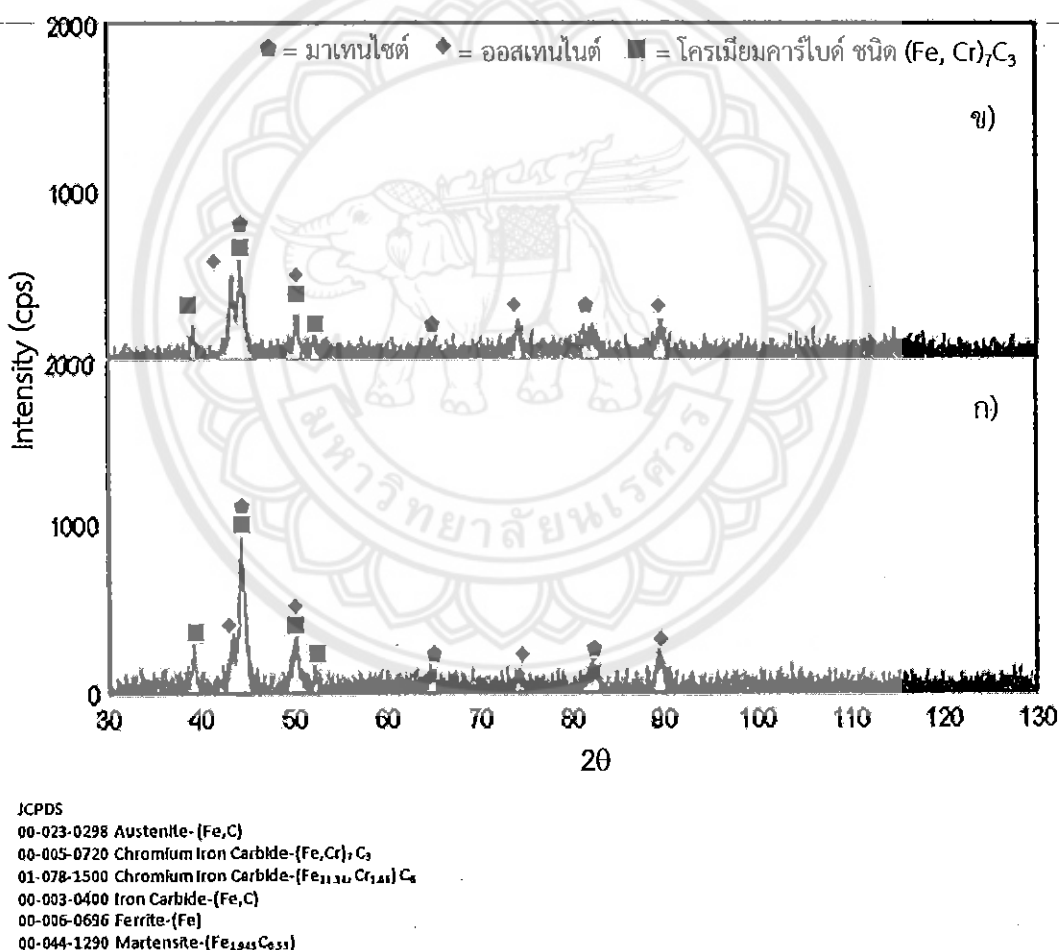
รูปที่ 4.3 ลักษณะของยูเทคติกการ์บีเดิร์หลังการกัดกรดแบบลึก

- ก) ภาพถ่ายจากกล้อง LM 2/5
 - ข) ภาพถ่ายจากกล้อง SEM กำลังขยาย 1000 เท่า 0/16/0/
 - ค) ภาพถ่ายจากกล้อง SEM กำลังขยาย 10000 เท่า 2/5/2
- (กรด 10 มิลลิลิตร ของ HCl + 100 มิลลิลิตร ของ เมทานอล)

จากนั้น เพื่อทำการวิเคราะห์ชนิดของเฟสในชิ้นงานในสภาพหล่อที่ยังไม่ได้กัดกรดของชิ้นงานทั้งสองชนิดจึงทำการตรวจสอบการเลี้ยวเบนของรังสีเอ็กซ์ด้วยเครื่อง (X-ray diffractometer, XRD) รุ่น X'Pert ของบริษัท Philips

4.1.2 การศึกษาชนิดเฟสด้วยเครื่องทดสอบการเลี้ยวเบนของรังสีเอ็กซ์

จากรูปที่ 4.4 แสดงรูปแบบการเลี้ยวเบนของรังสีเอ็กซ์ของเหล็กหล่อที่ไม่เติมโมลิบดินัม และเติมโมลิบดินัม ตามลำดับ จากการทดลองพบว่าในสภาพหล่อของเหล็กหั้งสองประกอบด้วยเฟส ออสเทนไนต์ โครเมียมคาร์ไบด์ชนิด $(Fe,Cr)_7C_3$ และมาเทนไไซต์ โดยใช้เปรียบเทียบกับ Joint Committee Powder Diffraction Standards (JCPDS) ของออสเทนไนต์ หมายเลข 023-0298 โครเมียมคาร์ไบด์ชนิด $(Fe,Cr)_7C_3$ หมายเลข 005-0720 และมาเทนไไซต์ หมายเลข 044-1290

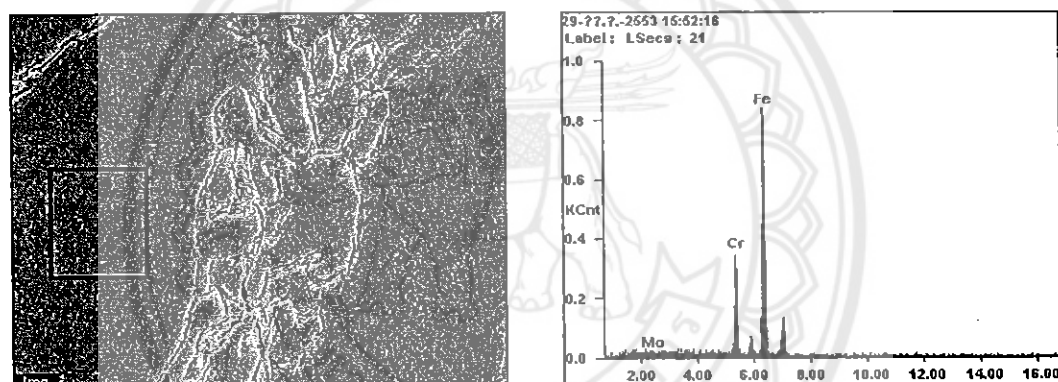


รูปที่ 4.4 รูปแบบการเลี้ยวเบนของรังสีเอ็กซ์ แสดงเฟสที่เกิดขึ้นในสภาพหล่อของเหล็กหล่อ โครเมียมสูงที่ไม่เติมโมลิบดินัม และเติมโมลิบดินัม
ก) เหล็กหล่อโครเมียมสูงที่ไม่เติมโมลิบดินัมในสภาพหล่อ
ข) เหล็กหล่อโครเมียมสูงที่เติมโมลิบดินัมในสภาพหล่อ

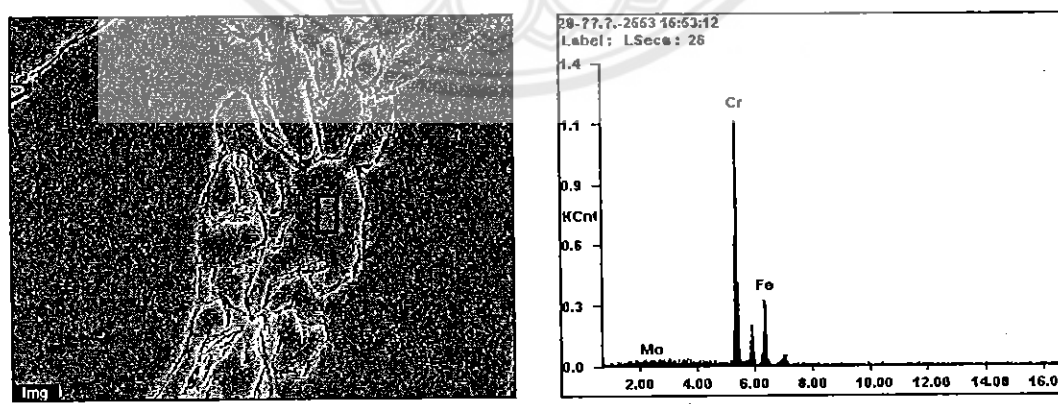
จากนั้นทำการวิเคราะห์องค์ประกอบทางเคมี ด้วยด้วยสเปกตรัมของการวัดการกระจายพลังงานของรังสีเอ็กซ์ แบบจุด (Point Analysis) เพื่อศึกษาว่าธาตุไมโลบิดินัมที่เติมลงไปอยู่ส่วนไหนของชิ้นงาน ตรวจสอบการกระจายตัวของธาตุไมโลบิดินัม ภายในชิ้นงาน

4.1.3 การวิเคราะห์องค์ประกอบทางเคมี

จากการวิเคราะห์องค์ประกอบทางเคมีในบริเวณเด่นไดร์ท และยูเทคติกคาร์บีดด้วยสเปกตรัมของการวัดการกระจายพลังงานของรังสีเอ็กซ์ แบบจุด (Point Analysis) ในเหล็กหล่อโครงเมียมสูงที่ไม่เติมโนโลบิดินัมในสภาพหล่อ พบร้าธาตุเหล็กจะละลายอยู่มากในบริเวณเด่นไดร์ท ส่วนโครงเมียม และคาร์บอนจะละลายในยูเทคติกคาร์บีด ดังรูปที่ 4.5 และตารางที่ 4.1 แสดงปริมาณธาตุ โครงเมียม เหล็ก โนโลบิดินัม และคาร์บอน (ร้อยละโดยน้ำหนัก) ในยูเทคติกคาร์บีด และเดนไดร์ท ในสภาพหล่อของเหล็กหล่อที่ไม่เติมโนโลบิดินัม



ก) บริเวณเด่นไดร์ท



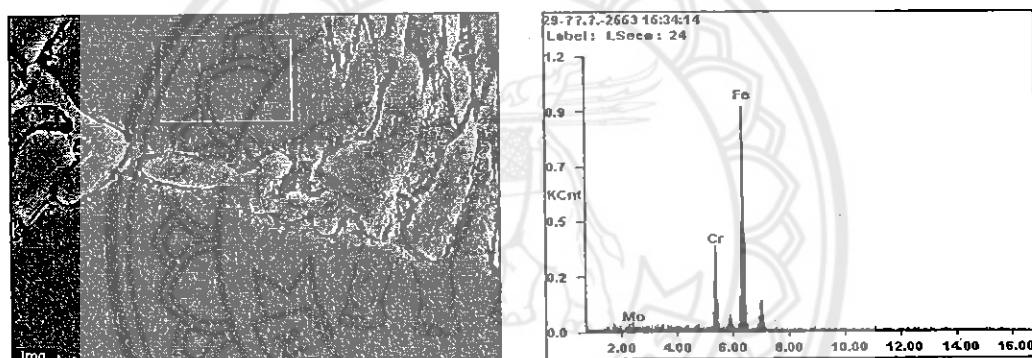
ข) บริเวณยูเทคติกคาร์บีด

รูปที่ 4.5 สเปกตรัมของการวัดการกระจายพลังงานของรังสีเอ็กซ์ แบบจุด (Point Analysis)
ในสภาพหล่อของเหล็กหล่อที่ไม่เติมโนโลบิดินัม

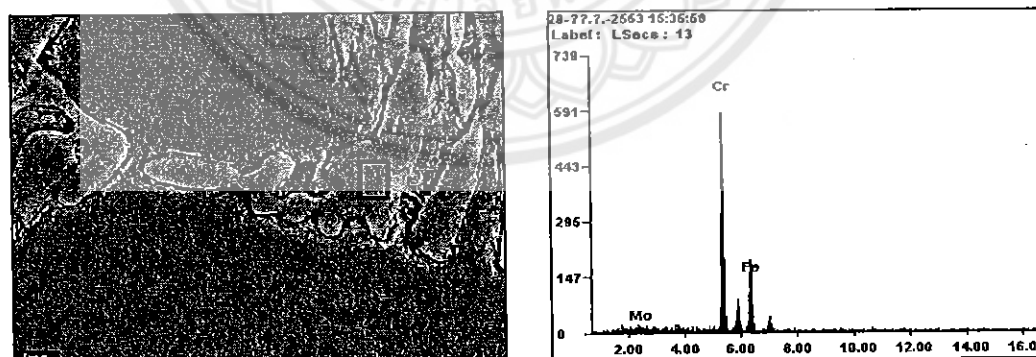
ตารางที่ 4.1 ปริมาณธาตุโครงเมียม เหล็ก โมลิบดินัม และคาร์บอน (ร้อยละโดยน้ำหนัก)
ในยูเทคติกการ์เบอร์ และเดนไดร์ท ในสภาพหล่อของเหล็กหล่อที่ไม่เติมโมลิบดินัม

เหล็กหล่อ	เดนไดร์ท				ยูเทคติกการ์เบอร์			
	Fe	Cr	Mo	C	Fe	Cr	Mo	C
โครงเมียมสูง 25 ร้อยละโดยน้ำหนัก	80.94	17.67	0.00	1.39	30.20	65.43	0.31	4.06

สำหรับเหล็กหล่อโครงเมียมสูงร้อยละ 25 โดยน้ำหนักที่เติมโมลิบดินัมในสภาพหล่อ พบร้า ธาตุเหล็กจะละลายอยู่มากในบริเวณเดนไดร์ท ส่วนโครงเมียม และคาร์บอนจะละลายมากในยูเทคติก-การ์เบอร์ ดังรูปที่ 4.6 และตารางที่ 4.2 แสดงปริมาณธาตุโครงเมียม คาร์บอน เหล็ก และโมลิบดินัม (ร้อยละโดยน้ำหนัก) ในยูเทคติกการ์เบอร์ และเดนไดร์ท ซึ่งเป็นลักษณะที่คล้ายกับเหล็กหล่อที่ไม่เติม โมลิบดินัม ส่วนโมลิบดินัมที่เติมพบว่าละลายอยู่ในห้องบริเวณเดนไดร์ท และยูเทคติกการ์เบอร์



ก) บริเวณเดนไดร์ท



ข) บริเวณยูเทคติกการ์เบอร์

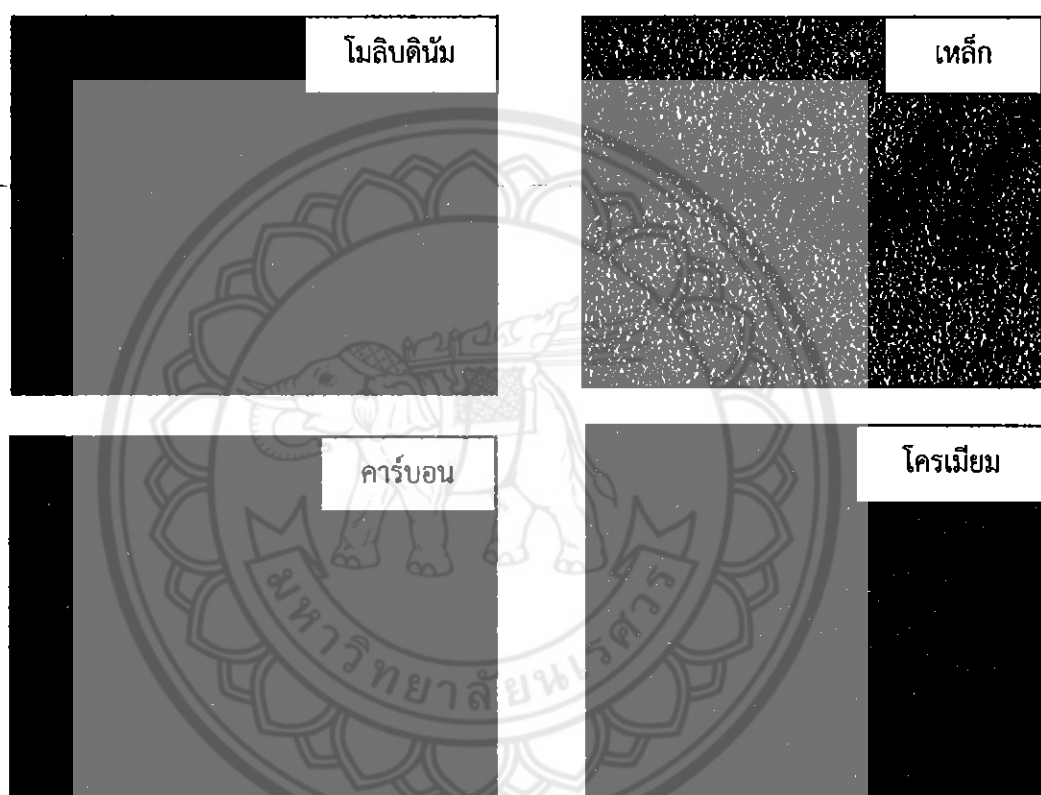
รูปที่ 4.6 สเปกตรัมของการวัดการกระจายพลังงานของรังสีเอ็กซ์ แบบจุด (Point Analysis)
ในสภาพหล่อของเหล็กหล่อที่เติมโมลิบดินัม

**ตารางที่ 4.2 ปริมาณธาตุโคโรเมียม เหล็ก โนลิบดินัม และคาร์บอน (ร้อยละโดยน้ำหนัก)
ในยูเทคติกการ์เบิร์ด และเดนไดร์ท ในสภาพหล่อของเหล็กหล่อที่เติมโนลิบดินัม**

เหล็กหล่อ	เดนไดร์ท				ยูเทคติกการ์เบิร์ด			
	Fe	Cr	Mo	C	Fe	Cr	Mo	C
โคโรเมียมสูง 25 ร้อยละโดยน้ำหนัก ที่เติมโนลิบดินัม	79.49	17.76	0.89	1.85	32.45	62.71	0.77	4.08

จากการวิเคราะห์แบบจุด (Point Analysis) ดังตารางที่ 4.2 จะเห็นว่าโนลิบดินัมที่ตรวจพบมีอยู่ทั้งสองส่วนคือเดนไดร์ท และยูเทคติกการ์เบิร์ด เพื่อยืนยันผลดังกล่าวจึงนำชิ้นงานไปตรวจสอบด้วยการวิเคราะห์องค์ประกอบทางเคมีด้วยสเปกตรัมของการวัดการกระจายพลังงานของรังสีเอ็กซ์ (Energy dispersion X-ray spectroscopy, EDXS) ที่ต้องกับกล้องจุลทรรศน์อิเล็กตรอนแบบส่องกราด แบบ Mapping

ซึ่งได้ผลแสดง ดังรูปที่ 4.7 จะเห็นว่าการกระจายตัวของธาตุเหล็กจะกระจายตัวหนาแน่นบริเวณเดนไดร์ท โคโรเมียมจะกระจายตัวหนาแน่นบริเวณยูเทคติกการ์เบิร์ด ส่วนคาร์บอน และโนลิบดินัมจะกระจายตัวอยู่ทั่วไปในบริเวณของเดนไดร์ท และยูเทคติกการ์เบิร์ด ซึ่งสอดคล้องกับผลการวิเคราะห์องค์ประกอบทางเคมี แบบจุด (Point Analysis)



รูปที่ 4.7 สเปกตรัมของการวัดการกระจายพลังงานของรังสีเอ็กซ์ แบบ Mapping

แสดงการกระจายตัวของเหล็ก โนลิบดินัม คาร์บอน โครเมียม บริเวณยุทธศึกษา เป้าเป้าและเดนไทร์ทของเหล็กหล่อโครเมียมสูงที่เต็มโนลิบดินัมในสภาพหล่อโดยสีเหลืองแทนธาตุเหล็กสีเขียวแทนโนลิบดินัม สีแดงแทนคาร์บอน สีน้ำเงินแทนโครเมียม

4.2 ผลการตรวจสอบโครงสร้างจุลภาค และความแข็งหลังกรรมวิธีทางความร้อน หลังการอบดีสเตบีไลเซชัน

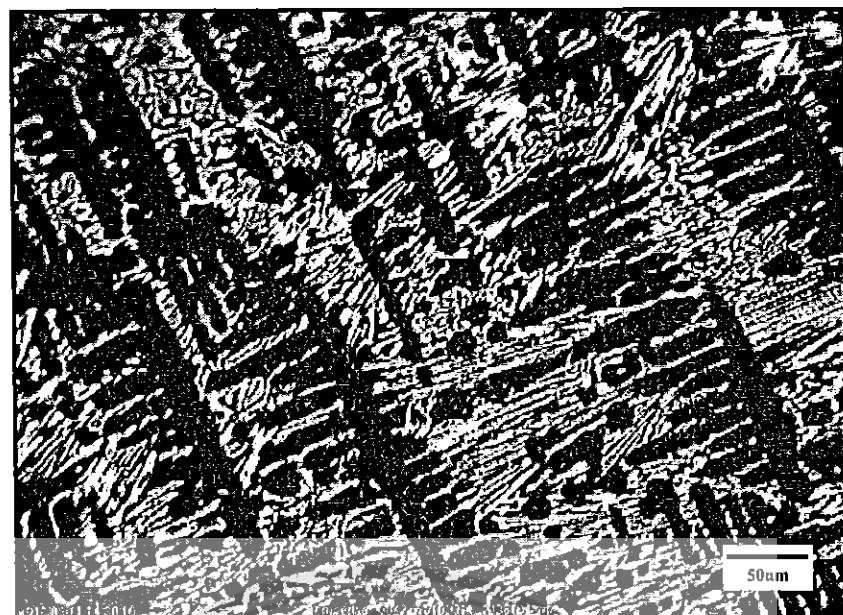
4.2.1 โครงสร้างจุลภาคหลังการอบดีสเตบีไลเซชัน

โครงสร้างจุลภาคหลังการอบดีสเตบีไลเซชันของเหล็กหล่อโครงเมียมสูงที่ไม่เติมโมลิบดินัม ประกอบด้วยคาร์ไบเดททุติยภูมิที่แตกต่างกันในเดนไดร์ทอสเทนในตปฐมภูมิ ที่เปลี่ยนเป็นมาเทนไซต์ขณะเย็นตัวในอากาศ ดังรูปที่ 4.8 ก) และ 4.8 ข) เมื่อศึกษาลักษณะของคาร์ไบเดททุติยภูมิพบว่ามีลักษณะเป็นแท่งยาว และสีเหลืองคล้ำบานสี ดังรูปที่ 4.9

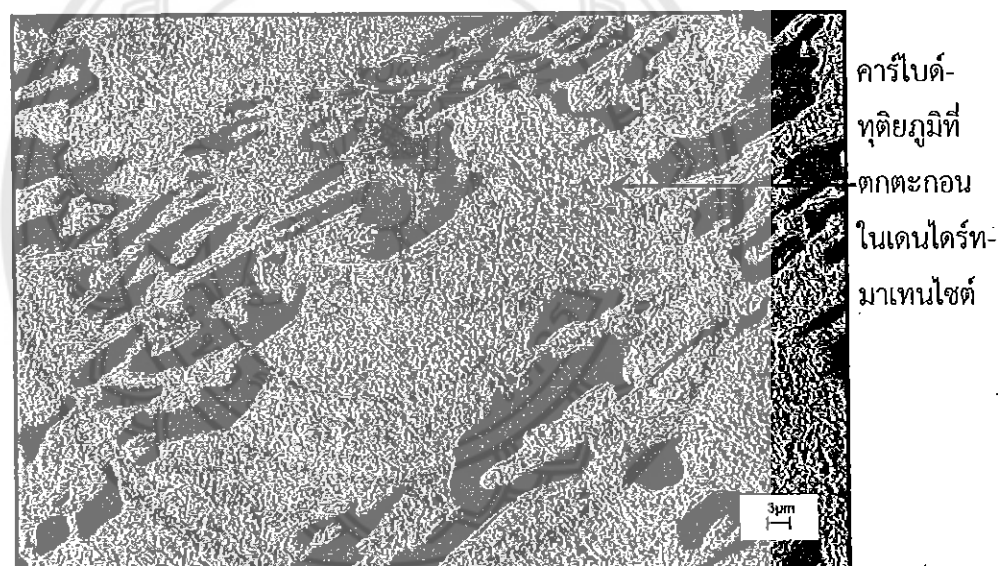
ผลของอุณหภูมิ และเวลาต่อขนาดของการอบดีสเตบีไลเซชันที่อุณหภูมิ 900, 1000 และ 1100 องศาเซลเซียส เป็นเวลา 4 ชั่วโมง จะสังเกตได้จากรูปที่ 4.10 พบว่า การอบดีสเตบีไลเซชันที่อุณหภูมิ 900 องศาเซลเซียส คาร์ไบเดททุติยภูมิมีขนาดเล็ก และมีปริมาณมาก เมื่ออบดีสเตบีไลเซตที่อุณหภูมิสูงขึ้นการอบดีสเตบีไลเซชันจะมีขนาดใหญ่ขึ้น และมีปริมาณน้อยลง เมื่อศึกษาขนาดของคาร์ไบเดททุติยภูมิหลังการอบดีสเตบีไลเซชัน พบว่าการอบดีสเตบีไลเซชันที่อุณหภูมิ 900 องศาเซลเซียส คาร์ไบเดททุติยภูมิจะมีขนาดเฉลี่ยเท่ากับ 0.2830 ไมครอน ที่อุณหภูมิ 1000 องศาเซลเซียส คาร์ไบเดททุติยภูมิจะมีขนาดเฉลี่ยเท่ากับ 0.5858 ไมครอน และที่อุณหภูมิ 1100 องศาเซลเซียส คาร์ไบเดททุติยภูมิจะมีขนาดเฉลี่ยเท่ากับ 0.9917 ไมครอน ดังตารางที่ 4.3 ซึ่งแสดงผลของอุณหภูมิในการอบดีสเตบีไลเซชันต่อการตกลงของขนาดของคาร์ไบเดททุติยภูมิของเหล็กหล่อโครงเมียมสูงที่ไม่เติมโมลิบดินัม เมื่ออบดีสเตบีไลเซชันที่อุณหภูมิสูงขึ้นการอบดีสเตบีไลเซชันที่อุณหภูมิจะมีขนาดใหญ่ขึ้น

สำหรับผลของเวลาในการอบดีสเตบีไลเซชันต่อขนาดของการอบดีสเตบีไลเซชันที่อุณหภูมิ 1000 องศาเซลเซียส เป็นเวลา 2, 4 และ 8 ชั่วโมง จะเห็นได้จากรูปที่ 4.11 พบว่าการอบดีสเตบีไลเซชันเป็นเวลา 2 ชั่วโมง คาร์ไบเดททุติยภูมิมีขนาดเล็ก และมีปริมาณมาก เมื่ออบดีสเตบีไลเซชันเป็นเวลานาน 2 ชั่วโมง ขนาดของคาร์ไบเดททุติยภูมิจะมีขนาดใหญ่ขึ้น และมีปริมาณน้อยลง เมื่อศึกษาขนาดของคาร์ไบเดททุติยภูมิหลังการอบดีสเตบีไลเซชัน พบว่าการอบดีสเตบีไลเซชันเป็นเวลานาน 4 ชั่วโมง คาร์ไบเดททุติยภูมิมีขนาดเท่ากับ 0.3690 ไมครอน การอบดีสเตบีไลเซชันเป็นเวลานาน 8 ชั่วโมง คาร์ไบเดททุติยภูมิมีขนาดเท่ากับ 0.5858 ไมครอน และการอบดีสเตบีไลเซชันเป็นเวลานาน 8 ชั่วโมง คาร์ไบเดททุติยภูมิมีขนาดเท่ากับ 0.8833 ไมครอน ดังตารางที่ 4.4 ซึ่งแสดงผลของเวลาในการอบดีสเตบีไลเซชันต่อการตกลงของขนาดของคาร์ไบเดททุติยภูมิของเหล็กหล่อโครงเมียมสูงที่ไม่เติมโมลิบดินัม เมื่ออบดีสเตบีไลเซชันเป็นเวลานานขึ้นทำให้คาร์ไบเดททุติยภูมิมีขนาดใหญ่ขึ้น

ผลดังกล่าวสอดคล้องกับงานวิจัยของ อัมพร (2549) ได้กล่าวว่า เมื่ออบดีสเตบีไลเซชันที่อุณหภูมิต่ำ หรือเวลานานน้อยเกินไป คาร์ไบเดททุติยภูมิจะมีขนาดเล็ก เนื่องจากระยะเวลาในการแพร์เชอร์ราตุที่เกิดเป็นคาร์ไบเดททุติยภูมิไม่เพียงพอ เช่นที่อุณหภูมิ 900 องศาเซลเซียส ที่เวลา 2 ชั่วโมง แต่ในขณะที่อุณหภูมิสูง หรือเวลามากเกินไป เช่นที่อุณหภูมิ 1100 องศาเซลเซียส ที่เวลา 8 ชั่วโมง คาร์ไบเดททุติยภูมิจะมีขนาดใหญ่ และมีปริมาณน้อยซึ่งอาจเป็นผลจากคอร์สเซนนิ่ง (Coarsening Effect) ที่อุณภูมิขนาดเล็กจะรวมกันเป็นอุณภูมิขนาดใหญ่



ก)



ข)

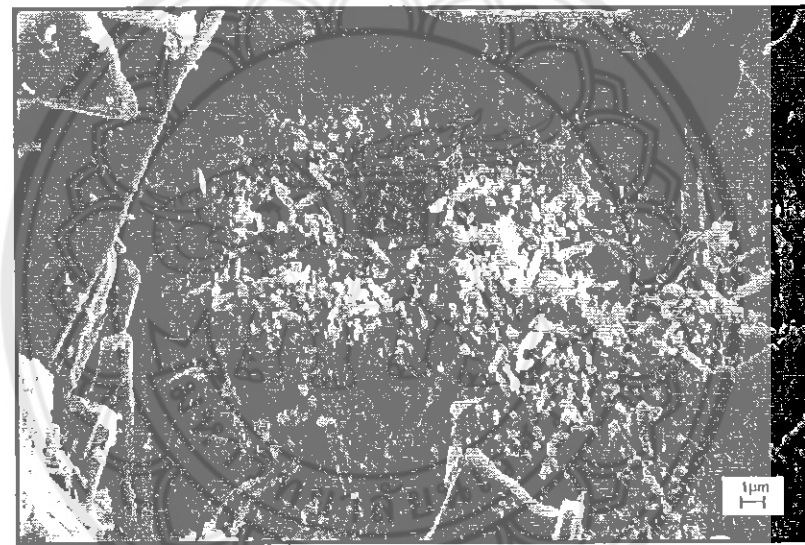
รูปที่ 4.8 โครงสร้างจุลภาคหลังการอบดีสเทบีไลเซชันของเหล็กหล่อที่ไม่เติมโนโลหิตนั้นที่มีการตกตะกอนของการใบ-ทุติยภูมิในเดนไดร์ท่องมาเนนไซต์

- ก) ภาพถ่ายจากกล้อง LM
- ข) ภาพถ่ายจากกล้อง SEM

(กรด 10 กรัม ของ $\text{Na}_2\text{S}_2\text{O}_5$ + 50 มิลลิลิตร ของ HCl + ในน้ำกลั่น 100 มิลลิลิตร)

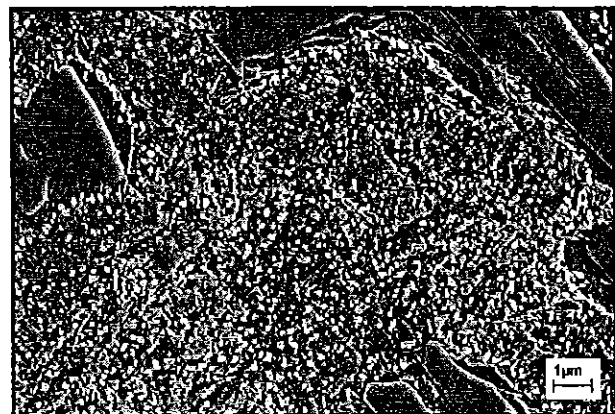


(ก)

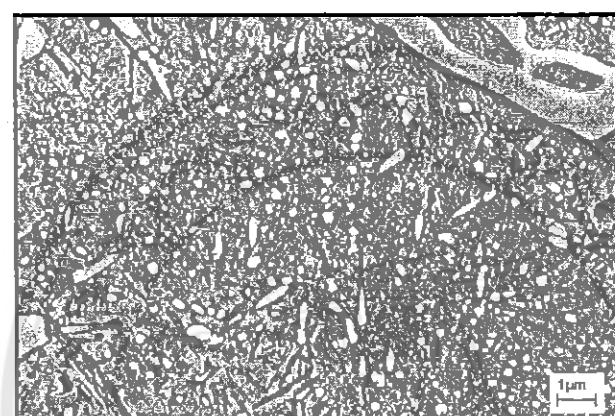


(ข)

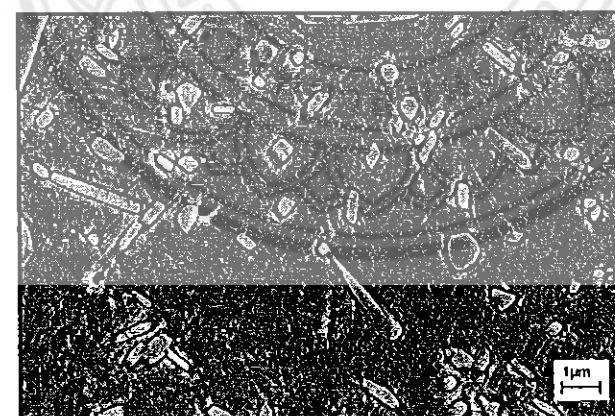
รูปที่ 4.9 ภาพถ่ายจากกล้อง SEM แสดงลักษณะการใบดินใน 3 มิติ หลังการกัดกรดแบบลีก
 ก) เหล็กหล่อที่ไม่เติมโนโลหิตดินน้ำ
 ข) เหล็กหล่อที่เติมโนโลหิตดินน้ำ
 (กรด 10 มิลลิลิตร ของ $HCl + 100$ มิลลิลิตร ของ เมทานอล)



ก)



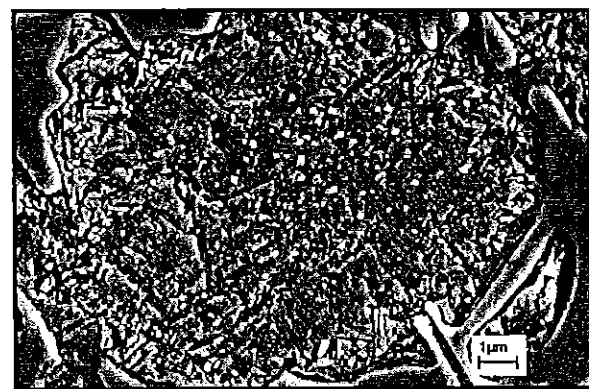
ข)



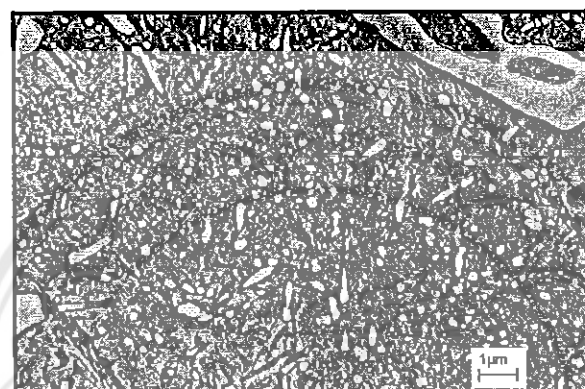
ค)

รูปที่ 4.10 ผลของอุณหภูมิในการถีสเทบีไลเซซั่นต่อการตกตะกอนของการใบดทุติยภูมิของเหล็กหล่อ
โดยเมื่อมีอุณหภูมิสูงร้อยละ 25 โดยน้ำหนัก ที่ไม่เติมโมลิบดินัม โดยอบเป็นเวลา 4 ชั่วโมงเท่ากัน

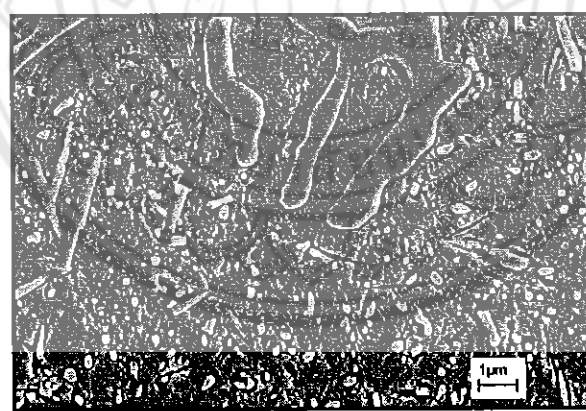
- ก) อุณหภูมิ 900 องศาเซลเซียส
- ข) อุณหภูมิ 1000 องศาเซลเซียส
- ค) อุณหภูมิ 1100 องศาเซลเซียส



ก)



ก)



ก)

รูปที่ 4.11 ผลของเวลาในการอบดีสเตบ์ไอลเซชันต่อการตกตะกอนของการรีบเดคทุติยภูมิของเหล็กหล่อโครงเมียมสูงร้อยละ 25 โดยน้ำหนักที่ไม่เติมโนลิบดินัม เมื่ออบที่อุณหภูมิ 1000 องศาเซลเซียส เท่ากัน

ก) 2 ชั่วโมง

ข) 4 ชั่วโมง

ค) 8 ชั่วโมง

ตารางที่ 4.3 ศึกษาผลของการอบดีสเตบีไลเซชันต่อการทดสอบของขนาดของ
การ์ไบเดร์ทุติยภูมิของเหล็กหล่อโครงเมียมสูงไม่เติมโมลิบดินัม

สภาพการอบดีสเตบีไลเซชัน		ขนาดการ์ไบเดร์ทุติยภูมิเฉลี่ย (ไมครอน)
อุณหภูมิ (องศาเซลเซียส)	เวลา (ชั่วโมง)	
900	4	0.2830
1000	4	0.5858
1100	4	0.9917

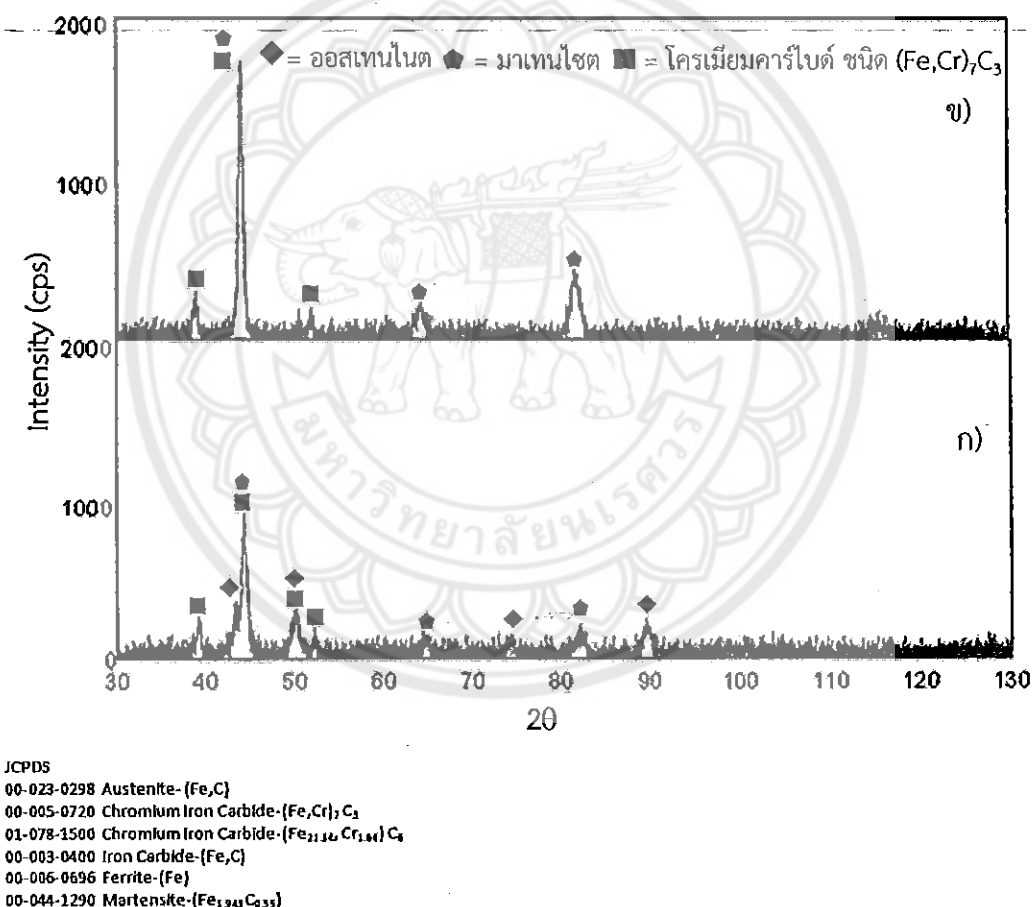
ตารางที่ 4.4 ศึกษาผลของเวลาในการอบดีสเตบีไลเซชันต่อการทดสอบของขนาดของการ์ไบเดร์
ทุติยภูมิของเหล็กหล่อโครงเมียมสูงไม่เติมโมลิบดินัม

สภาพการอบดีสเตบีไลเซชัน		ขนาดการ์ไบเดร์ทุติยภูมิเฉลี่ย (ไมครอน)
อุณหภูมิ (องศาเซลเซียส)	เวลา (ชั่วโมง)	
1000	2	0.3690
	4	0.5858
	8	0.8833

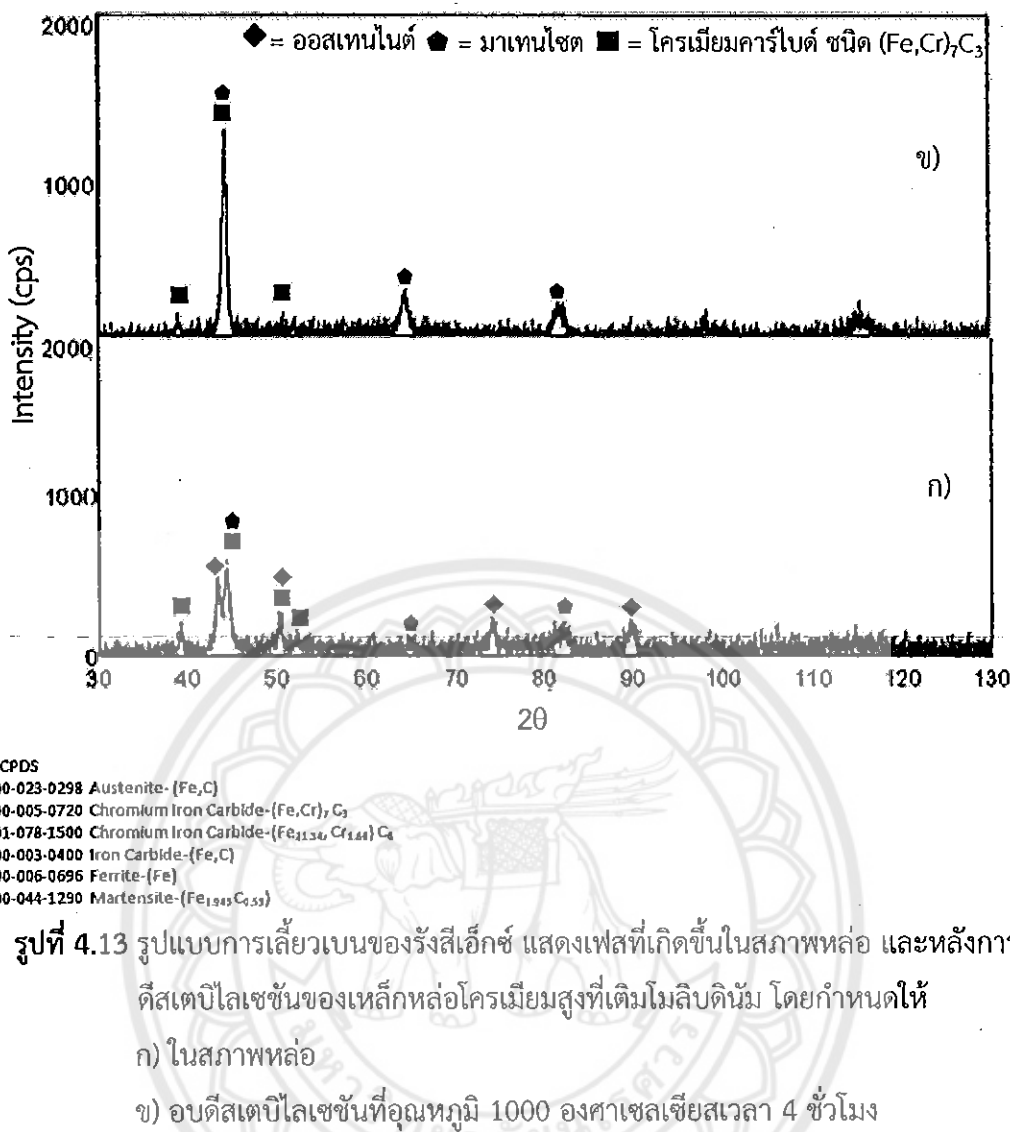
จากนั้น เพื่อทำการวิเคราะห์ชนิดของเฟสในชิ้นงานที่ยังไม่ได้กัดกรดของชิ้นงาน
เหล็กหล่อโครงเมียมสูงที่ไม่เติมโมลิบดินัม และเติมโมลิบดินัมทั้งในสภาพหล่อ และหลังการอบ
ดีสเตบีไลเซชัน จึงทำการตรวจสอบการเลี้ยวเบนของรังสีเอ็กซ์ด้วยเครื่อง (X-ray Diffractometer,
XRD) รุ่น X'Pert ของบริษัท Philips

4.2.2 การศึกษาชนิดเฟสด้วยเทคนิคการเลี้ยวเบนของรังสีเอ็กซ์ของชิ้นงานในสภาพหล่อและหลังการอบดีสเตบิไลเซชัน

จากรูปที่ 4.12 และรูปที่ 4.13 ซึ่งแสดงผลการวิเคราะห์รูปแบบการเลี้ยวเบนรังสีเอ็กซ์ของเหล็กหล่อโครงเมียมสูงที่ไม่เติมโมลิบดินัม และเติมโมลิบดินัม ตามลำดับ พบร่วมกันในสภาพหล่อของเหล็กหล่อโครงเมียมสูงทั้งสองประกอบด้วย เฟสอสเทนไนต์ เฟสยูเตกติการ์ไบเด็นนิด ($(Fe,Cr)_7C_3$) และเฟสมาเทนไชต์ หลังจากการอบดีสเตบิไลเซชันไม่พบเฟสอสเทนไนต์ และพบว่าเฟสโครงเมียมการไบเด็นนิด ($(Fe,Cr)_7C_3$) และเฟสมาเทนไชต์มีปริมาณเพิ่มสูงขึ้นกว่าในสภาพหล่อ โดยใช้เปรียบเทียบกับ Joint Committee Powder Diffraction Standards (JCPDS) ของอสเทนไนต์ หมายเลข 023-0298 โครงเมียมการไบเด็นนิด ($(Fe,Cr)_7C_3$) หมายเลข 005-0720 และมาเทนไชต์ หมายเลข 044-1290



รูปที่ 4.12 รูปแบบการเลี้ยวเบนของรังสีเอ็กซ์ แสดงเฟสที่เกิดขึ้นในสภาพหล่อ และหลังการอบดีสเตบิไลเซชันของเหล็กหล่อโครงเมียมสูงที่ไม่เติมโมลิบดินัม โดยกำหนดให้ ก) ในสภาพหล่อ
 ข) อบดีสเตบิไลเซชันที่อุณหภูมิ 1000 องศาเซลเซียส เวลา 4 ชั่วโมง



สรุปเฟสที่พบหลังการอบดีสเตบีไลเซ็น คือ เฟสมาเทนไชต์ เฟสโครเมียมคาร์ไบด์ชนิด $(Fe,Cr)_7C_3$ ซึ่งจะเห็นได้ว่าเฟสทั้งสองมีปริมาณเพิ่มขึ้น และไม่พบเฟสօอสเทนไนต์ เมื่อเปรียบเทียบกับชิ้นงานในสภาพหล่อ ดังแสดงในรูป 4.13 ก)

4.2.3 ผลของการอบดีสเตบีโลเชชันต่อความแข็ง

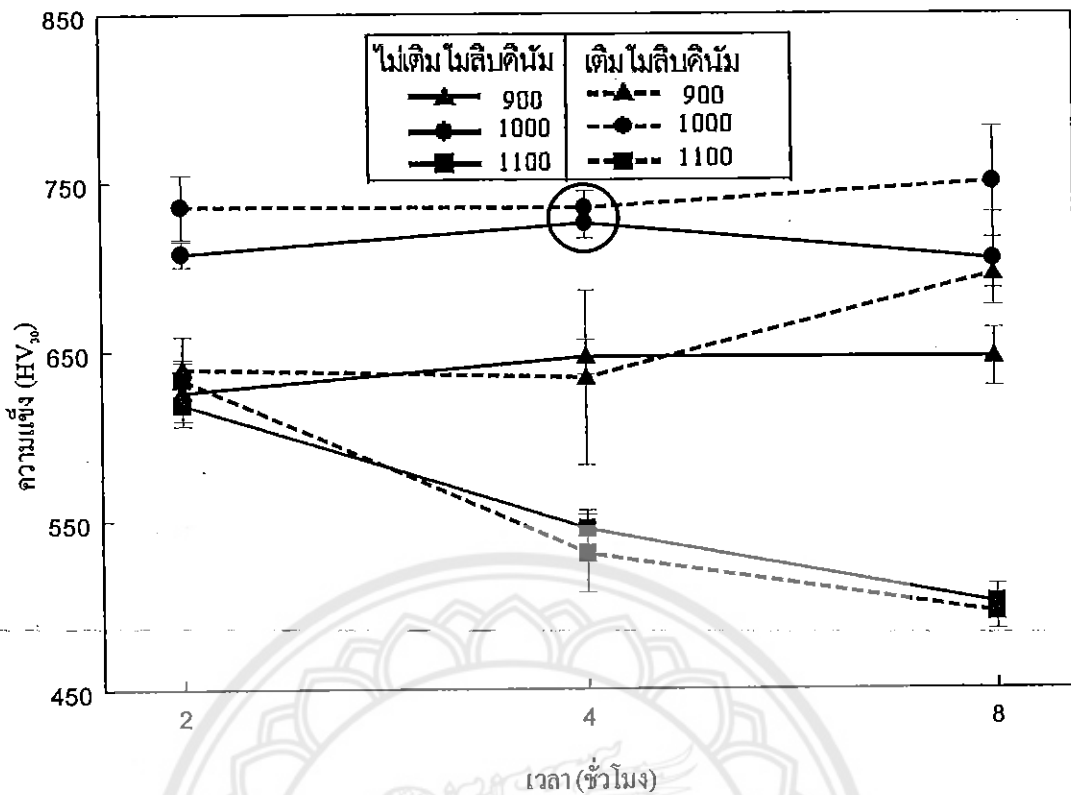
เมื่อศึกษาผลของการอบดีสเตบีโลเชชันต่อความแข็งของเหล็กหล่อโครงเมียมสูงที่ไม่เติมโมลิบดินัม และเติมโมลิบดินัม โดยการวัดความแข็งมหภาคแบบบริกเกอร์ จากการทดลองพบว่า ในสภาพหล่อเหล็กหล่อที่ไม่เติมโมลิบดินัมที่มีค่าความแข็งเฉลี่ยเท่ากับ 462 HV_{30} ส่วนเหล็กหล่อที่เติมโมลิบดินัมมีความแข็งเฉลี่ยเท่ากับ 472 HV_{30}

หลังการอบดีสเตบีโลเชชันที่อุณหภูมิ 900, 1000 และ 1100 องศาเซลเซียส เป็นเวลา 2, 4 และ 8 ชั่วโมง พบร่วมกับการอบดีสเตบีโลเชชันความแข็งจะเพิ่มขึ้นจากสภาพหล่อทุกสภาวะ ดังรูปที่ 4.14 ซึ่งแสดงผลของการอบดีสเตบีโลเชชันต่อความแข็ง โดยเหล็กหล่อที่ไม่เติมโมลิบดินัมหลังการอบดีสเตบีโลเชชันที่อุณหภูมิ 900 และ 1100 องศาเซลเซียส มีความแข็งน้อยกว่าที่อุณหภูมิ 1000 องศาเซลเซียส เพราะหลังการอบดีสเตบีโลเชชันทำให้ปริมาณօอสเทนในต่อก้างในเดนไดร์ทเปลี่ยนเป็นมาเทนไชต์ และคาร์บิดทุติยภูมิจะมีขนาดใหญ่ขึ้นเนื่ออุณหภูมิ และเวลาที่เหมาะสม ซึ่งสอดคล้องกับรูปที่ 4.10 จะเห็นได้ว่าอุณหภูมิ และเวลาส่งผลต่อขนาดของคาร์บิดทุติยภูมิที่เกิดขึ้น และสอดคล้องกับรูปที่ 4.11 แสดงการเปลี่ยนเฟสหลังการอบดีสเตบีโลเชชัน จะเห็นได้ว่าหลังการอบดีสเตบีโลเชชัน ปริมาณเฟสօอสเทนในต่อก้างลดลง ส่วนเฟスマเทนไชต์ และโครงเมียมคาร์บิดมีปริมาณเพิ่มขึ้น

ทั้งนี้เหล็กหล่อที่ไม่เติมโมลิบดินัมหลังการอบดีสเตบีโลเชชันที่อุณหภูมิ 1000 องศาเซลเซียส เวลา 4 ชั่วโมง มีค่าความแข็งสูงสุด ซึ่งสอดคล้องกับงานวิจัยของ อัมพร (2549) ซึ่งได้ทดลองอบดีสเตบีโลเชชันกับชิ้นงานเหล็กหล่อโครงเมียมสูงที่ไม่เติมโมลิบดินัมที่อุณหภูมิ 900, 1025 และ 1100 องศาเซลเซียส แล้วพบว่าชิ้นงานที่ให้ความแข็งสูงสุดคือชิ้นงานที่ผ่านการอบดีสเตบีโลเชชันที่อุณหภูมิ 1025 องศาเซลเซียส เป็นเวลา 4 ชั่วโมง ซึ่งเป็นค่าอุณหภูมิที่ใกล้เคียงกับอุณหภูมิอบดีสเตบีโลเชชันในงานครั้งนี้คือ ที่อุณหภูมิ 1000 องศาเซลเซียส เป็นเวลา 4 ชั่วโมง

สำหรับเหล็กหล่อที่เติมโมลิบดินัมหลังการอบดีสเตบีโลเชชันที่อุณหภูมิ 1000 องศาเซลเซียส เป็นเวลา 8 ชั่วโมง เป็นอุณหภูมิที่ให้ความแข็งสูงที่สุด ดังรูป 4.14 โดยการอบดีสเตบีโลเชชันเป็นเวลานานขึ้นความแข็งมีแนวโน้มเพิ่มขึ้นเล็กน้อย ซึ่งสอดคล้องกับงานวิจัยของ Pearce (2542) และ Wiengmoon (2548) ได้กล่าวว่าการอบที่อุณหภูมิสูง หรือต่ำกว่าจุดที่ดีที่สุดจะทำให้ความแข็งลดลง โดยที่อุณหภูมิต่ำกว่าบอนจะละลายในօอสเทนในต่อกันน้อย และเมื่อยืนตัวในอากาศจะได้มาเทนไชต์ที่มีคาร์บอนต่ำ ส่งผลให้ความแข็งลดลง ถ้าอุณหภูมิสูงเกินไปบอนจะละลายในօอสเทนในต่อกันมากขึ้นทำให้อุณหภูมิการเปลี่ยนเป็นมาเทนไชต์ (Ms temperature) ลดลง ส่งผลให้ปริมาณօอสเทนในต่อก้างสูงขึ้น และความแข็งลดลง นอกจากนี้งานวิจัยของ Pearce (2542) ยังพบว่าเหล็กหล่อโครงเมียมสูงที่ไม่เติมโมลิบดินัมความแข็งมีแนวโน้มลดลงเมื่อเวลานานขึ้น

ดังนั้นการวิจัยครั้งนี้จึงเลือกสภาวะการอบดีสเตบีโลเชชันที่อุณหภูมิ 1000 องศาเซลเซียส เวลา 4 ชั่วโมง เพื่อศึกษาการเปลี่ยนแปลงหลังการอบเพิ่มเปอร์เซนต์ไป เนื่องจากเหล็กหล่อโครงเมียมสูงทั้งสองชนิดมีค่าความแข็งสูงสุด และมีค่าใกล้เคียงกัน ที่สภาวะดังกล่าว ดังรูปที่ 4.14



รูปที่ 4.14 ผลของการอบดีสเตบีไลเซ็นต์ต่อความแข็งโดยที่ให้ (—) แทนเหล็กหล่อ
โครงเมียมสูงที่ไม่เติมโนโลหิตนิม และ (---) แทนเหล็กหล่อโครงเมียมสูงเติม
โนโลหิตนิม วงกลม แทนอุณหภูมิที่เลือกใช้ในการอบเทมเบอริง

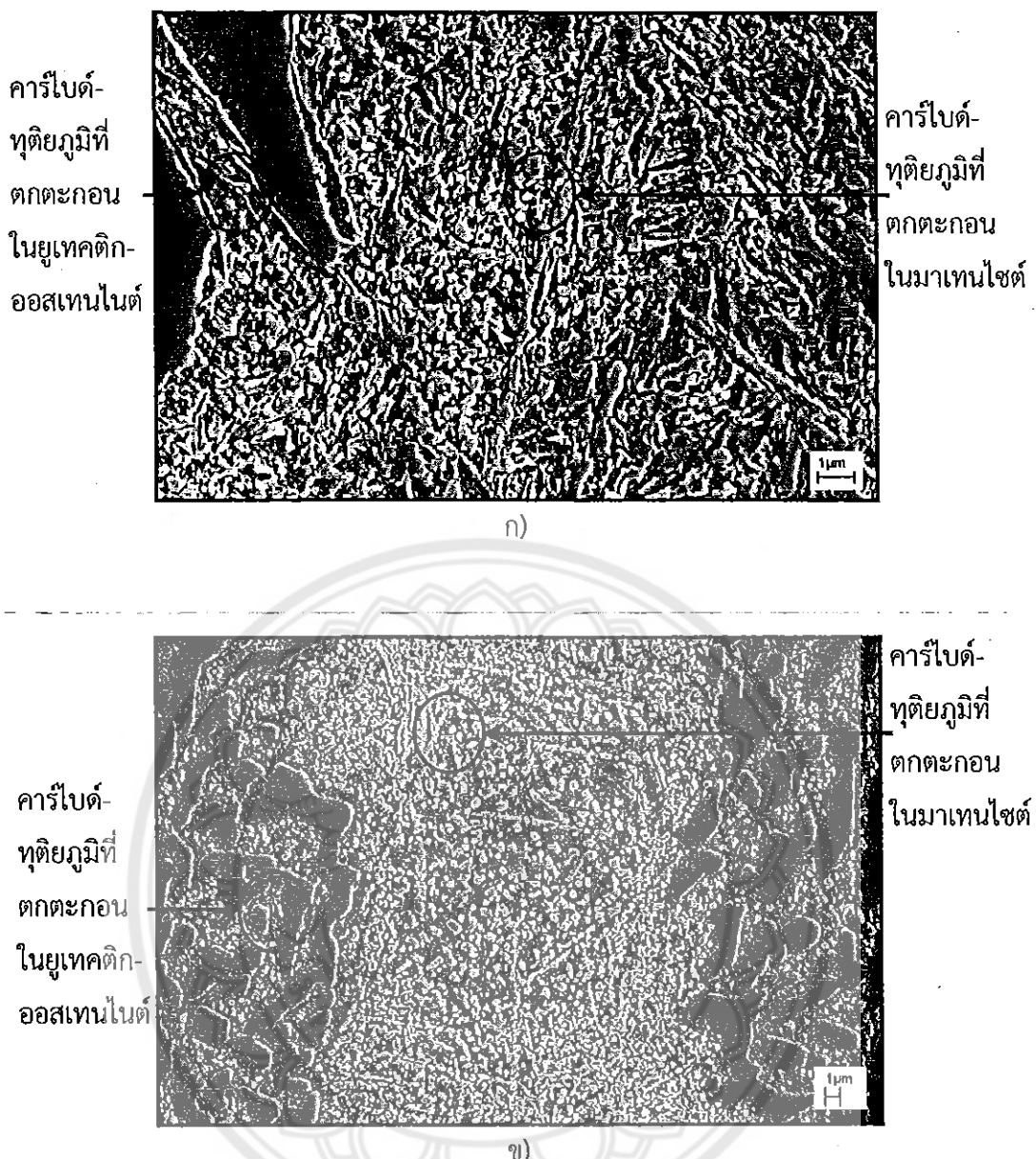
4.3 ผลของการมีวิธีทางความร้อนหลังการอบดีสเตบีໄลเซ็น และเทเมเปอร์ริง

4.3.1 โครงสร้างจุลภาคหลังการอบดีสเตบีໄลเซ็น และเทเมเปอร์ริง

เมื่อนำภาพถ่ายโครงสร้างจุลภาคของเหล็กหล่อโครงเมี่ยมสูงที่เติมโนลิบดินัมหลังอบดีสเตบีໄลเซ็นที่อุณหภูมิ 1000 องศาเซลเซียส เป็นเวลา 4 ชั่วโมง มาเปรียบเทียบกับชิ้นงานหลังอบเทเมเปอร์ริงที่อุณหภูมิ 550 องศาเซลเซียส เป็นเวลา 4 ชั่วโมง ดังรูปที่ 4.15 พบร่วมกันที่ผ่านการอบเทเมเปอร์ริงมีโครงสร้างจุลภาคประกอบด้วยคาร์ไบด์ทุติยภูมิ และเทเมเปอร์คาร์ไบด์ตกลอกอนในเทเมเปอร์มาแทนไชต์ โดยมีปริมาณการไบเด็ทุติยภูมิที่ตกลอกอนในเดนไดร์ฟ และยูเทคติกอสเทนในตัวเพิ่มขึ้น เมื่อเทียบกับชิ้นงานหลังการอบดีสเตบีໄลเซ็นเพียงอย่างเดียว (ดังรูปที่ 4.15 ก) โดยการไบเด็ทุติยภูมิเหล่านี้บางส่วนเกิดขึ้นในระหว่างการอบดีสเตบีໄลเซ็น และโดยในขณะอบเทเมเปอร์ริง และบางส่วนเกิดขึ้นระหว่างการอบเทเมเปอร์ริง ซึ่งมากเรียกว่า เทเมเปอร์คาร์ไบด์ นอกจากนี้จะสังเกตเห็นว่า หลังการอบเทเมเปอร์ริงโครงสร้างของมาแทนไชต์ที่มีลักษณะแผลมคล้ายขันกจะหายไป เนื่องจากการแพร่ของคาร์บอนในระหว่างการอบไบทมเปอร์ริงส่งผลให้มากเทนไชต์โค้งมนต์ขึ้น หรือที่เรียกว่า เทเมเปอร์มาแทนไชต์ (ดังรูปที่ 4.15 ก) และ ข) (อัมพร, 2549)

เมื่อนำภาพถ่ายโครงสร้างจุลภาคของชิ้นงานที่ไม่เติมโนลิบดินัม จากกล้องจุลทรรศน์ อิเล็กตรอนแบบส่องกราด ที่ผ่านการอบเทเมเปอร์ริงที่อุณหภูมิ 350 400 450 500 550 และ 600 องศาเซลเซียส เป็นเวลา 4 ชั่วโมง มาเปรียบเทียบกัน พบร่วมกับเมื่อเทเมเปอร์ริงที่อุณหภูมิสูงขึ้นการไบเด็ทุติยภูมิจะมีขนาดใหญ่ขึ้น และมีการตกลอกอนของคาร์ไบด์ทุติยภูมิขนาดเล็กมากขึ้น และมีแนวโน้มที่จะเชื่อมต่อกัน (ดังรูปที่ 4.16 จ) และ ฉ) นอกจากนี้ยังพบว่าการตกลอกอนของคาร์ไบด์ทุติยภูมิในยูเทคติกอสเทนในตัวมีปริมาณมากขึ้นเมื่ออุณหภูมิสูงขึ้น ดังรูปที่ 4.17

สำหรับเหล็กหล่อโครงเมี่ยมสูง (ร้อยละ 25 โดยน้ำหนัก) ที่เติมโนลิบดินัม พบร่วมกับการไบเด็ทุติยภูมิตกลอกอนทั้งในเดนไดร์ฟ และยูเทคติกอสเทนในตัว (ดังรูปที่ 4.18) และเกิดการเชื่อมต่อกันของคาร์ไบด์ทุติยภูมิ (ดังรูปที่ 4.18 จ) และ ฉ) เมื่อบเทเมเปอร์ริงเป็นเวลา 4 ชั่วโมงที่ อุณหภูมิ 550 และ 600 องศาเซลเซียสตามลำดับ นอกจากนี้ยังพบว่าการตกลอกอนของคาร์ไบด์ทุติยภูมิในยูเทคติกอสเทนในตัวมีการตกลอกอนเพิ่มมากขึ้น (ดังรูปที่ 4.19) ซึ่งเป็นลักษณะเช่นเดียวกัน กับที่พบในเหล็กหล่อที่ไม่เติมโนลิบดินัม เมื่อนำเหล็กทั้งสองชนิดหลังการอบเทเมเปอร์ริงที่อุณหภูมิ 450 องศาเซลเซียส ไปกัดกรด ซึ่งประกอบด้วย 4 กรัม ของ $KMnO_4$ + 4 กรัม ของ $NaOH + H_2O$ ที่กัดเฉพาะส่วนของคาร์ไบด์ทุติยภูมิออก พบร่วมกับการไบเด็ทุติยภูมิที่ตกลอกอนอยู่ในเดนไดร์ฟมีลักษณะเป็นเหลี่ยม และแท่งยาว (ดังรูปที่ 4.20) นอกจากนี้ยังพบคาร์ไบด์ทุติยภูมิที่มีขนาดเล็กๆ ในรูป 4.20 ซึ่ง คาร์ไบด์คาร์ไบด์เหล่านี้อาจเป็นโนลิบดินัมคาร์ไบค์ซึ่งจะต้องมีการศึกษาต่อไป

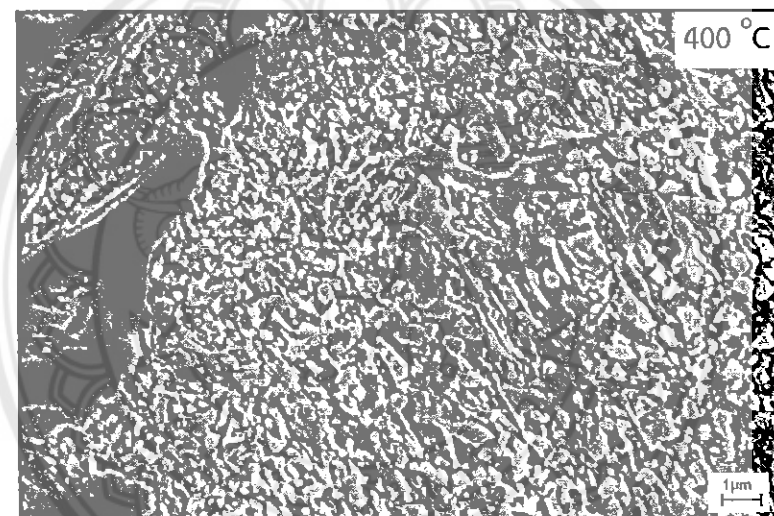


รูปที่ 4.15 โครงสร้างจุลภาคหลังการอบดีสเตบีไลเซชัน และเทมเปอริ่ง

- ก) อบดีสเตบีไลเซชันที่อุณหภูมิ 1000 องศาเซลเซียส เป็นเวลา 4 ชั่วโมง
- ข) อบดีสเตบีไลเซชันที่อุณหภูมิ 1000 องศาเซลเซียส เป็นเวลา 4 ชั่วโมง
และอบเทมเปอริ่งที่อุณหภูมิ 550 องศาเซลเซียส เป็นเวลา 4 ชั่วโมง



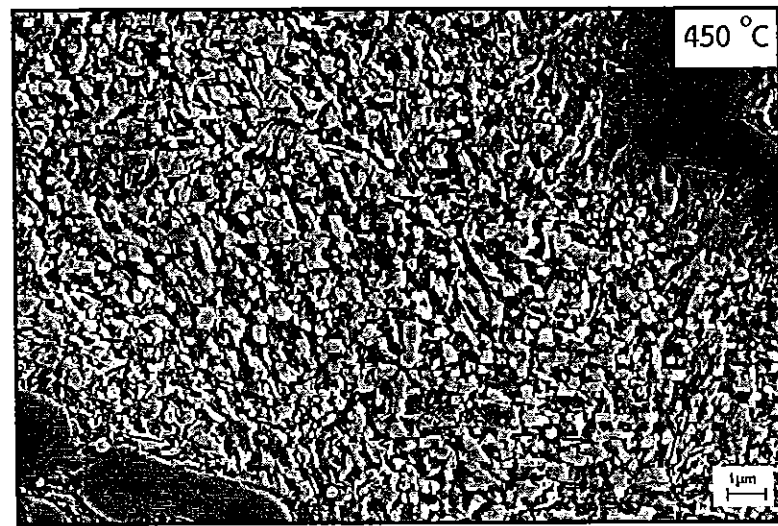
ก)



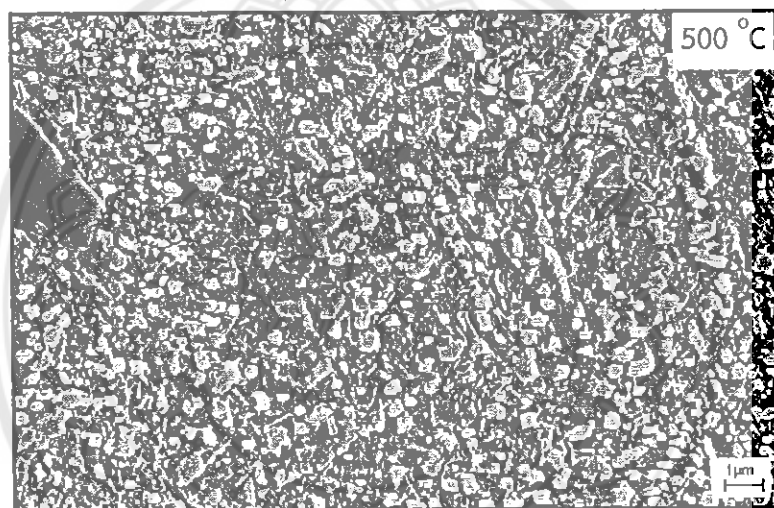
ข)

รูปที่ 4.16 ภาพถ่ายจากกล้อง SEM แสดงการเกิดการเปลี่ยนผ่านทางเชิงรุนแรงของเหล็กหล่อที่ไม่เติมโนลิบตินัม หลังการอบดีสเตบ์ไลเซ็น และการอบเทมเปอร์ริ่งเป็นเวลา 4 ชั่วโมง

- ก) อุณหภูมิ 350 องศาเซลเซียส
- ข) อุณหภูมิ 400 องศาเซลเซียส



ค)



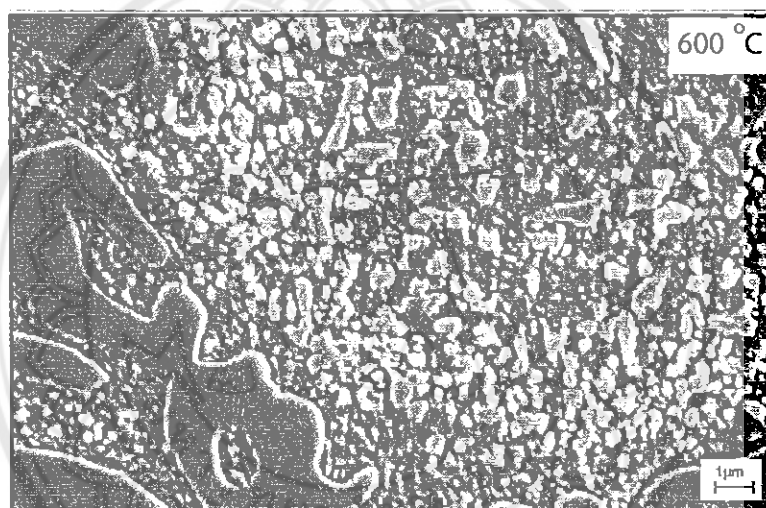
ง)

รูปที่ 4.16 (ต่อ) ภาพถ่ายจากกล้อง SEM แสดงการเกิดการใบดีหุดิภูมิในเดนไทร์ทของมาเทนไซต์ของเหล็กหล่อที่ไม่เติมโมลิบดินัม หลังการอบตีสเตบีไลเซ็น และการอบเทมเปอริ่งเป็นเวลา 4 ชั่วโมง

ค) อุณหภูมิ 450 องศาเซลเซียส
ง) อุณหภูมิ 500 องศาเซลเซียส



ก)



ก)

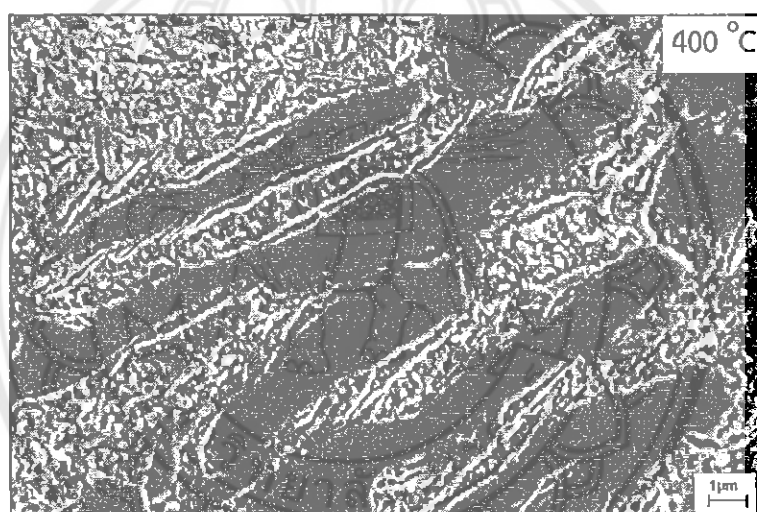
รูปที่ 4.16 (ต่อ) ภาพถ่ายจากกล้อง SEM แสดงการเกิดการใบด้วยภูมิในเดนไไดร์ทของมาเทนไซต์ ของเหล็กหล่อที่ไม่เติมโมลิบดินัม หลังการอบดีสเตบีไลเซ็น และการอบเทมเปอร์ริ่ง เป็นเวลา 4 ชั่วโมง

ก) อุณหภูมิ 550 องศาเซลเซียส

ก) อุณหภูมิ 600 องศาเซลเซียส



ก)

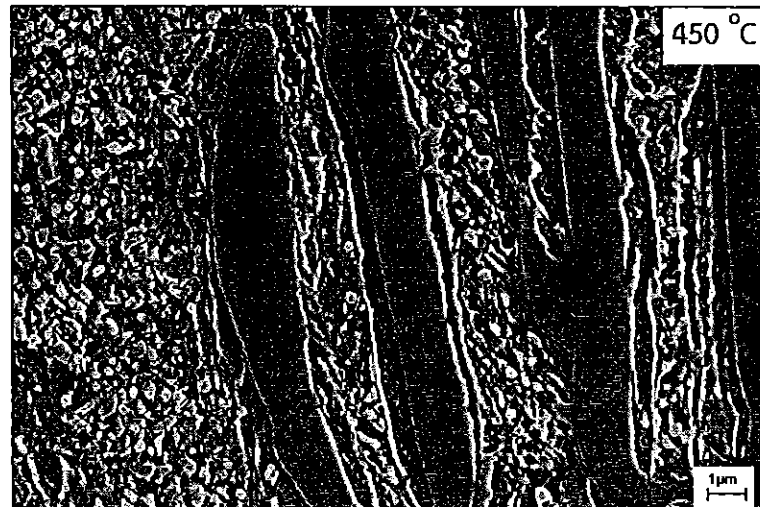


ข)

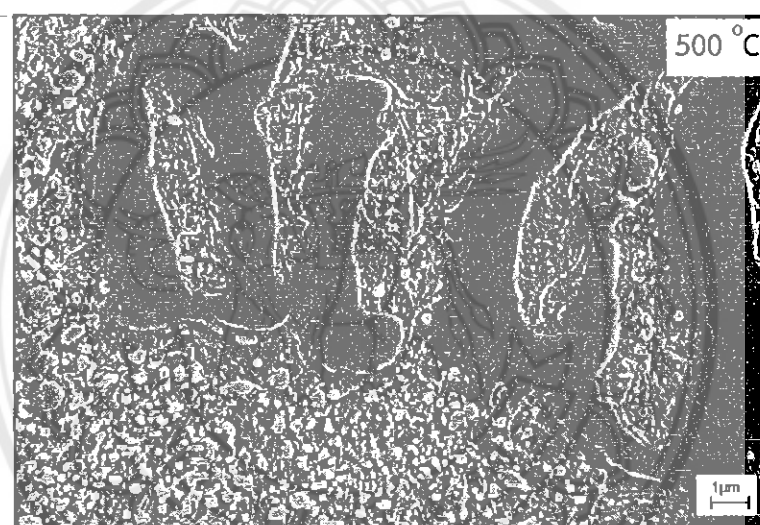
รูปที่ 4.17 ภาพถ่ายจากกล้องจุลทรรศน์ SEM และการเกิดการเปลี่ยนผ่านทางกายภาพของเหลวในตัวอย่างที่อุณหภูมิ 350 °C และ 400 °C หลังการอบด้วยสเตบบิลайเซชัน 4 ชั่วโมง

ก) อุณหภูมิ 350 องศาเซลเซียส

ข) อุณหภูมิ 400 องศาเซลเซียส

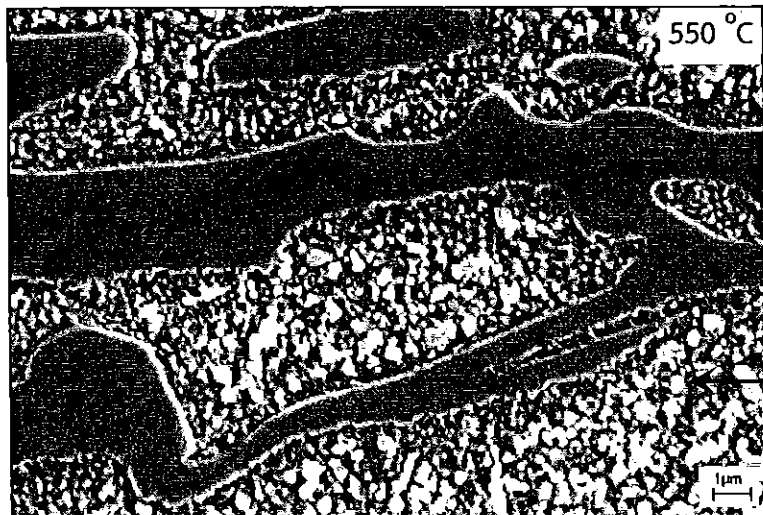


(ค)

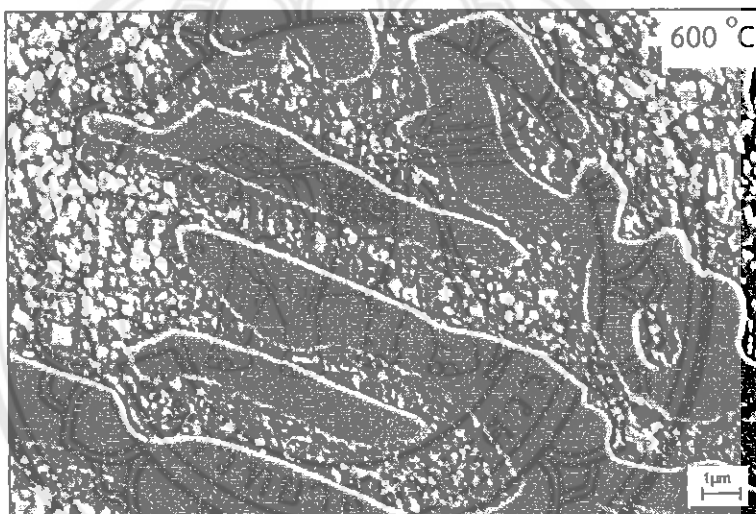


(ง)

รูปที่ 4.17 (ต่อ) ภาพถ่ายจากกล้องจุลทรรศน์ SEM แสดงการเกิดการใบดทุติยภูมิ และเหมเปอร์-
การใบดในยูเทกติกการใบด-อสเทนในต์ของเหล็กหล่อที่ไม่เติมโนลิบดินนัม
หลังการอบดีสเตปป์ไลเซชัน และการอบเหมเปอร์ริง เป็นเวลา 4 ชั่วโมง
ค) อุณหภูมิ 450 องศาเซลเซียส
ง) อุณหภูมิ 450 องศาเซลเซียส



จ)

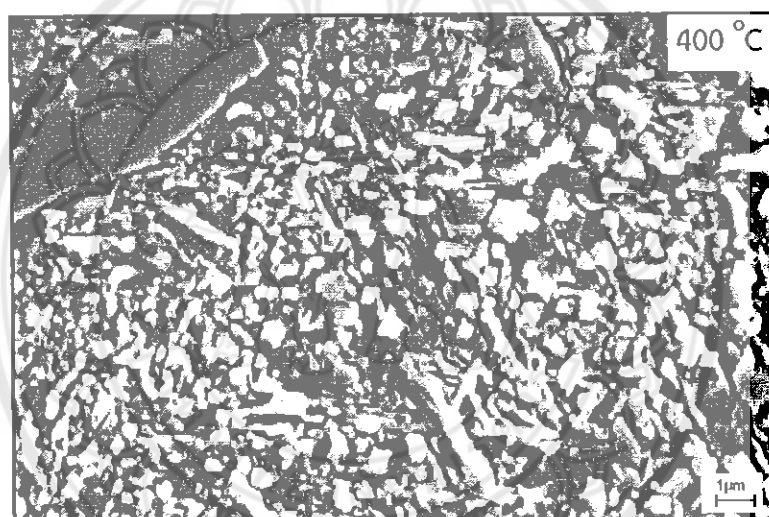


ฉ)

รูปที่ 4.17 (ต่อ) ภาพถ่ายจากกล้อง SEM แสดงการเกิดการรีบด์ทุติยภูมิ และเหنمเปอร์การรีบด์ใน
ยูเทคติกการรีบด์-อสเทนในต์ของเหล็กหล่อที่ไม่เติมโมลิบดินัม หลังการอบ
ดีสเตบีໄเลเซ็น และการอบเหنمเปอร์ริง เป็นเวลา 4 ชั่วโมง
จ) อุณหภูมิ 550 องศาเซลเซียส
ฉ) อุณหภูมิ 600 องศาเซลเซียส



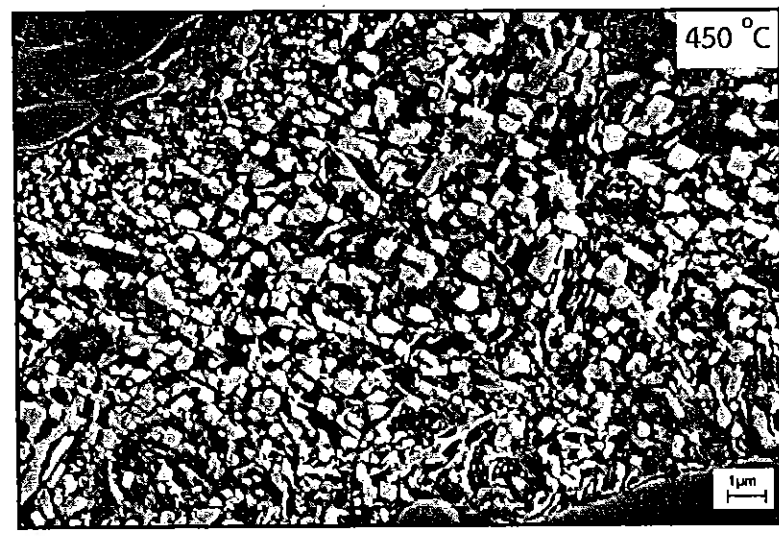
ก)



ข)

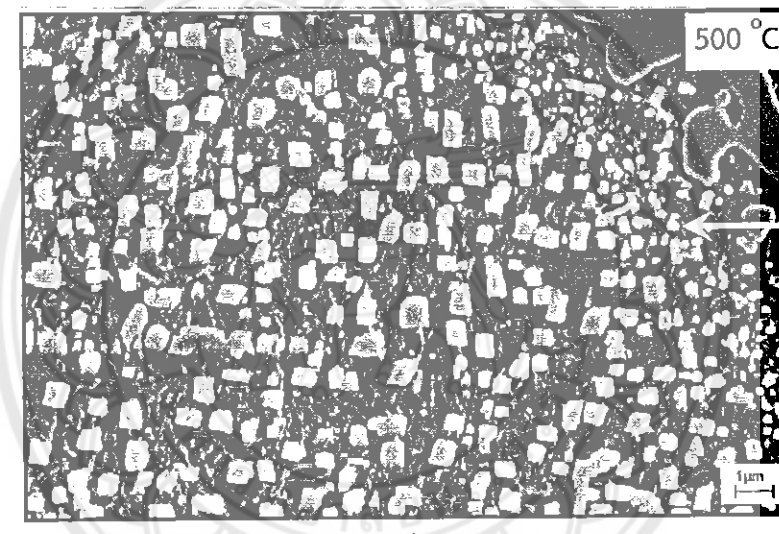
รูปที่ 4.18 ภาพถ่ายจากกล้อง SEM แสดงการเกิดการเปลี่ยนผ่านทางเชิงทางเคมีในเดนไตร์ทของมาเทนไซต์ของเหล็กหล่อที่เติมโนโนลิกดิน้ำ หลังการอบดีสเตรบิไลเซชัน และการอบเพาเวอร์ิ่ง เป็นเวลา 4 ชั่วโมง

- ก) อุณหภูมิ 350 องศาเซลเซียส
- ข) อุณหภูมิ 400 องศาเซลเซียส



การเปรียบ
ทุติยภูมิ

ค)



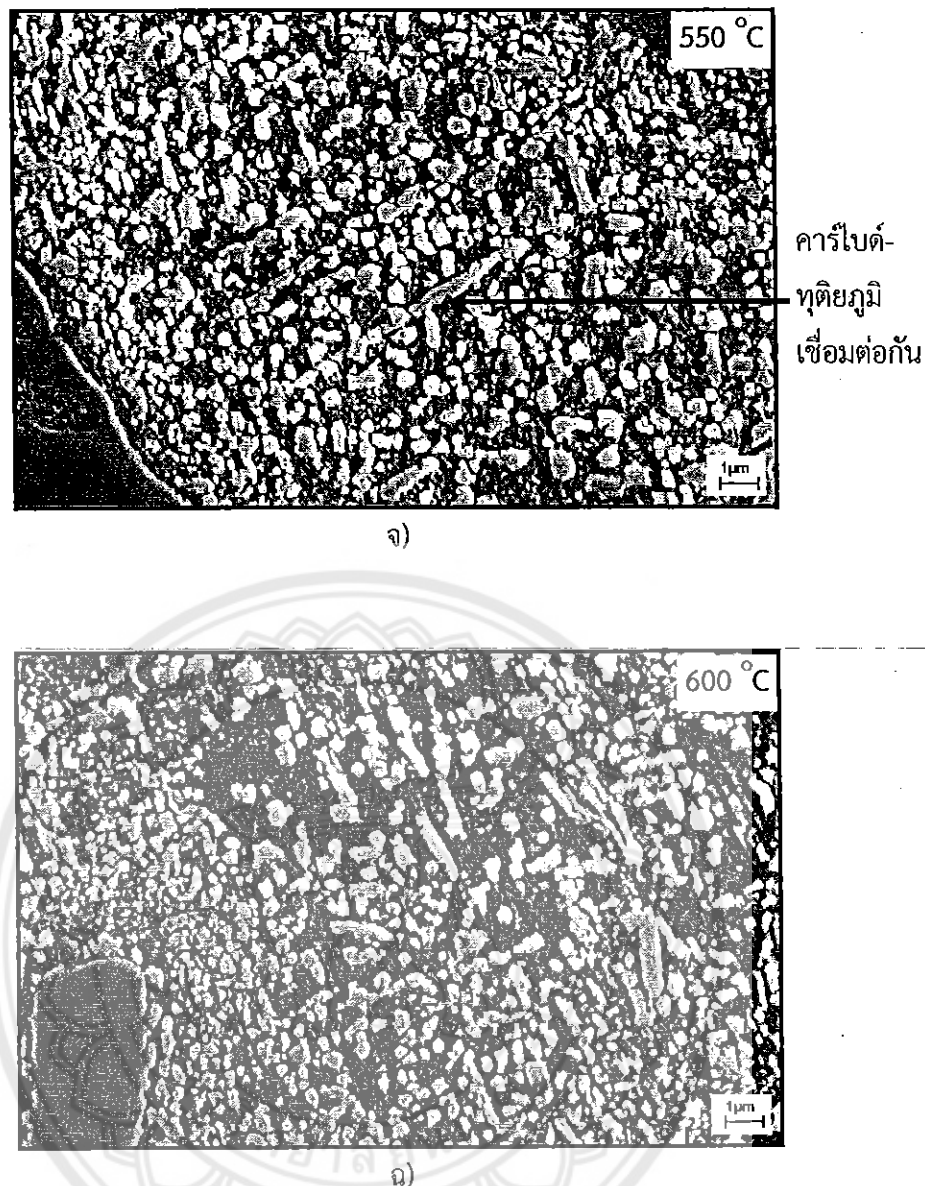
เทมเปอร์
การเปรียบ

ก)

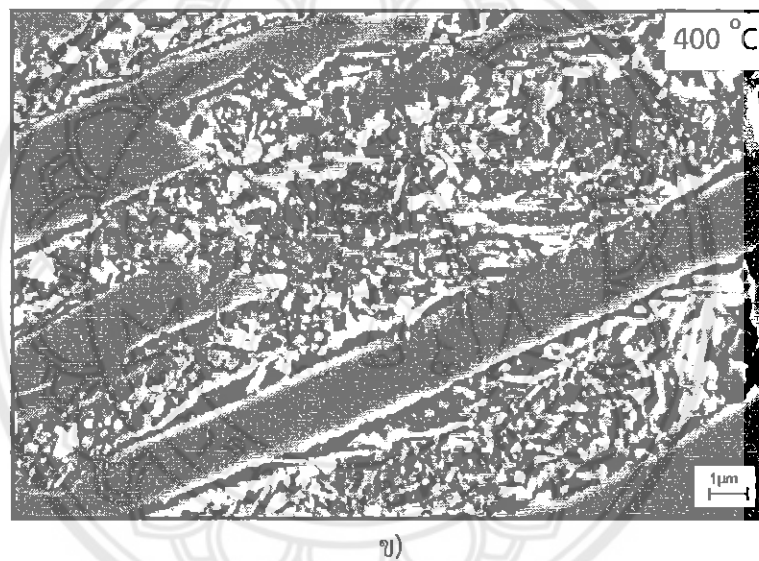
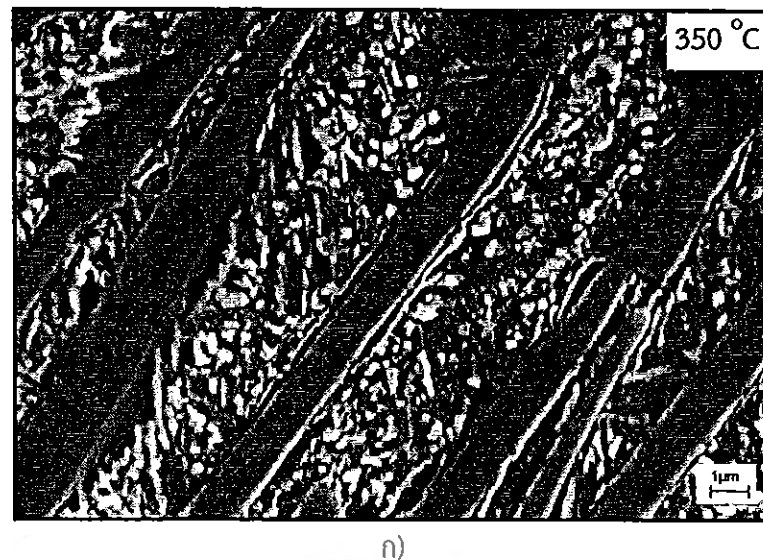
รูปที่ 4.18 (ต่อ) ภาพถ่ายจากกล้อง SEM แสดงการเกิดการเปรียบทุติยภูมิในเดนไครทของมาเทนไซต์ของเหล็กหล่อที่เติมโมลิบดินัม หลังการอบดีสเตบิไลเซชัน และการอบเทมเปอร์วิ่งเป็นเวลา 4 ชั่วโมง

ค) อุณหภูมิ 450 องศาเซลเซียส

ก) อุณหภูมิ 500 องศาเซลเซียส



รูปที่ 4.18 (ต่อ) ภาพถ่ายจากกล้อง SEM แสดงการเกิดการรีบ์ทุติยภูมิในเดนไคร์ทของมาเนนไซร์ ของเหล็กหล่อที่เติมโนโลบดินนัม หลังการอบตีสเตบบ์เลเซชัน และการอบเทมเปอร์ริ่ง เป็นเวลา 4 ชั่วโมง
 จ) อุณหภูมิ 550 องศาเซลเซียส
 ฉ) อุณหภูมิ 600 องศาเซลเซียส

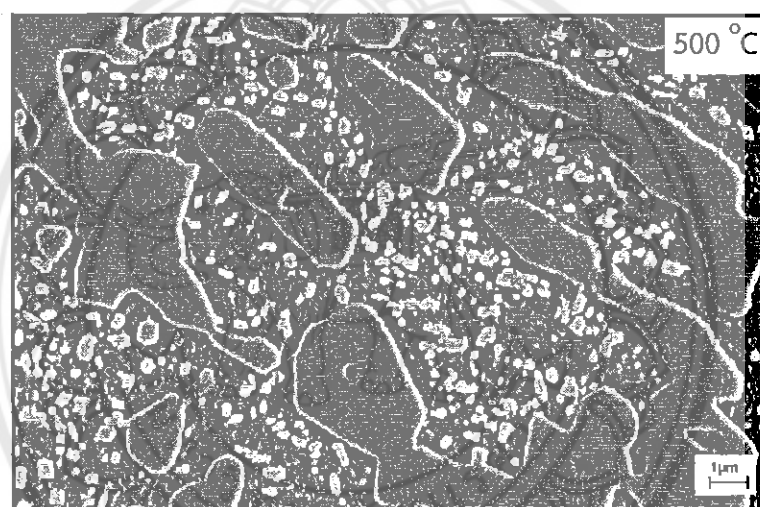


รูปที่ 4.19 ภาพถ่ายจากกล้อง SEM แสดงการเกิดการบีดทุติยภูมิ และเทมเปอร์การบีดในยูเทคติก-
การบีด-อสเทนในต่อของเหล็กหล่อที่เติมโนลิบดินัม หลังการอบดีสเตบีໄโลเซชัน และการ
อบเทมเปอร์ 4 ชั่วโมง

ก) อุณหภูมิ 350 องศาเซลเซียส
ข) อุณหภูมิ 400 องศาเซลเซียส

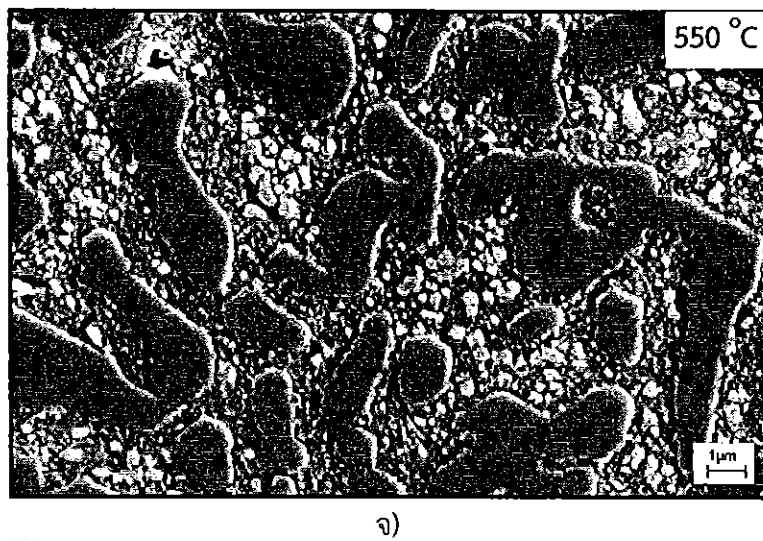


(ก)

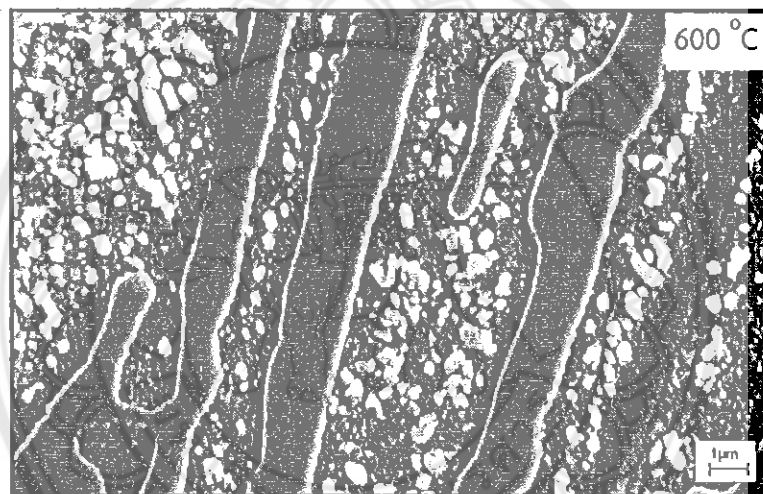


(ง)

รูปที่ 4.19 (ต่อ) ภาพถ่ายจากกล้อง SEM แสดงการเกิดการเปลี่ยนผ่านของเหลว-固相ในชั้นหุ้มเมมเบอร์เริ่มต้น หลังการอบดีสเตบีไลเซ็น และการอบเพิ่มเป็นเวลา 4 ชั่วโมง
 ก) อุณหภูมิ 450 องศาเซลเซียส
 ง) อุณหภูมิ 500 องศาเซลเซียส



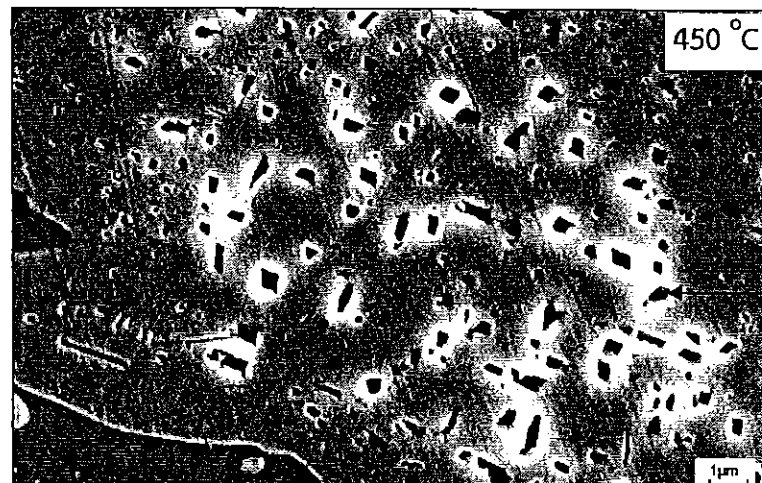
จ)



ฉ)

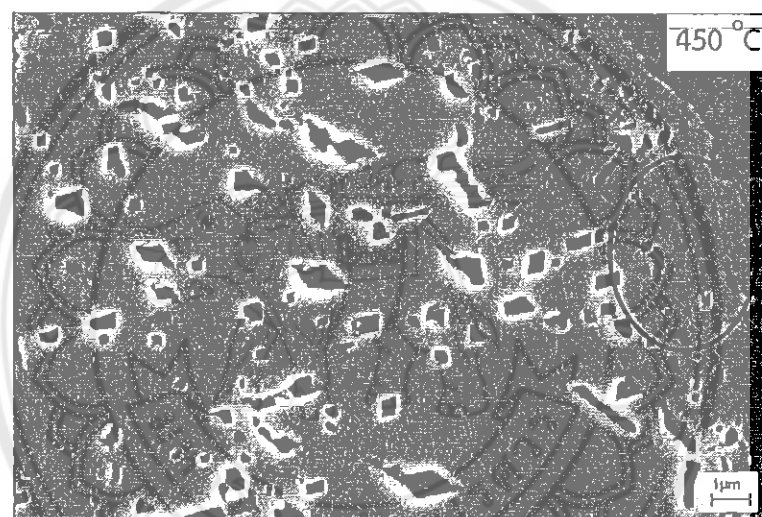
รูปที่ 4.19 (ต่อ) ภาพถ่ายจากกล้อง SEM แสดงการเกิดการเปลี่ยนผ่านเปอร์คาร์ไบด์ในยุหนาการ์ไบด์-อสเทเนในตของเหล็กหล่อที่เติมโนลิบดินัม หลังการอบดีสเตบิไลเซชัน และการอบเทมเปอร์ริ่ง เป็นเวลา 4 ชั่วโมง

- จ) อุณหภูมิ 550 องศาเซลเซียส
- ฉ) อุณหภูมิ 600 องศาเซลเซียส



(ก)

การเปิด-
ทุติยภูมิ



(ข)

เพเมเปอร์-
การเปิด-
ขนาดเล็ก

รูปที่ 4.20 ภาพถ่ายจากกล้อง SEM แสดงการเกิดการเปิดทุติยภูมิในเดนไนด์ของมาเทนไซต์หลัง การอบดีสเตบีไลเซชัน และการอบเพเมเปอร์ริ่ง เป็นเวลา 4 ชั่วโมง ที่อุณหภูมิ 450 องศาเซลเซียส

ก) เหล็กหล่อโครงเมียมสูงที่ไม่เติมโนโลจิกบดินัม

ข) เหล็กหล่อโครงเมียมสูงที่เติมโนโลจิกบดินัม

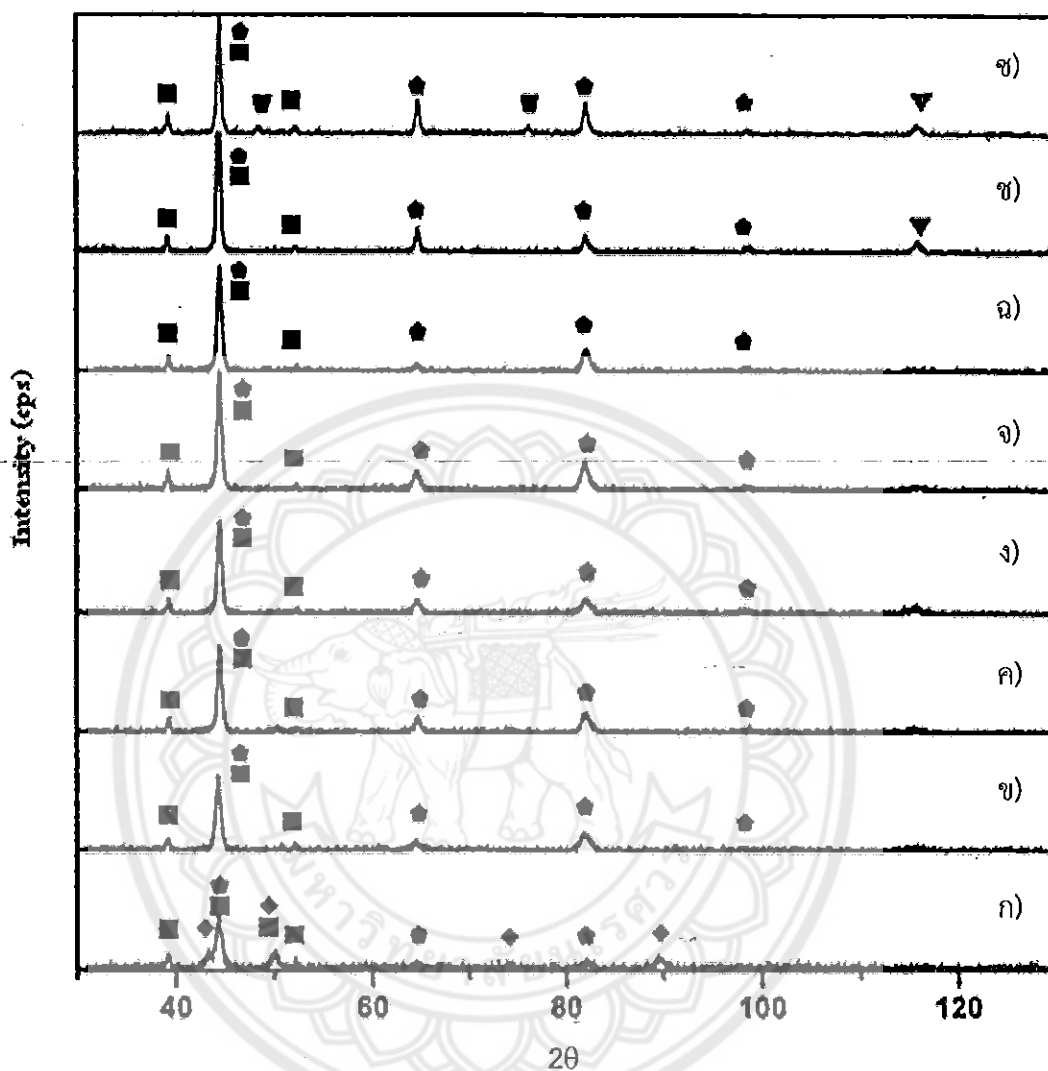
(กรด 4 กรัม ของ KMnO_4 + 4 กรัม ของ $\text{NaOH} + \text{H}_2\text{O}$)

จากนั้น เพื่อทำการวิเคราะห์ชนิดของเฟสในชิ้นงานที่ยังไม่ได้กัดกรดของชิ้นงานเหล็กหล่อโครงเมียมสูงที่ไม่เติมโนโลจิกบดินัม และเติมโนโลจิกบดินัมทั้งในสภาพหล่อ และหลังการอบดีสเตบีไลเซชัน และหลังการอบเพเมเปอร์ริ่ง จึงทำการตรวจสอบการเลี้ยวเบนของรังสีเอ็กซ์ของชิ้นงานด้วยเครื่อง (X-ray Diffractometer, XRD) รุ่น X’Pert ของบริษัท Philips

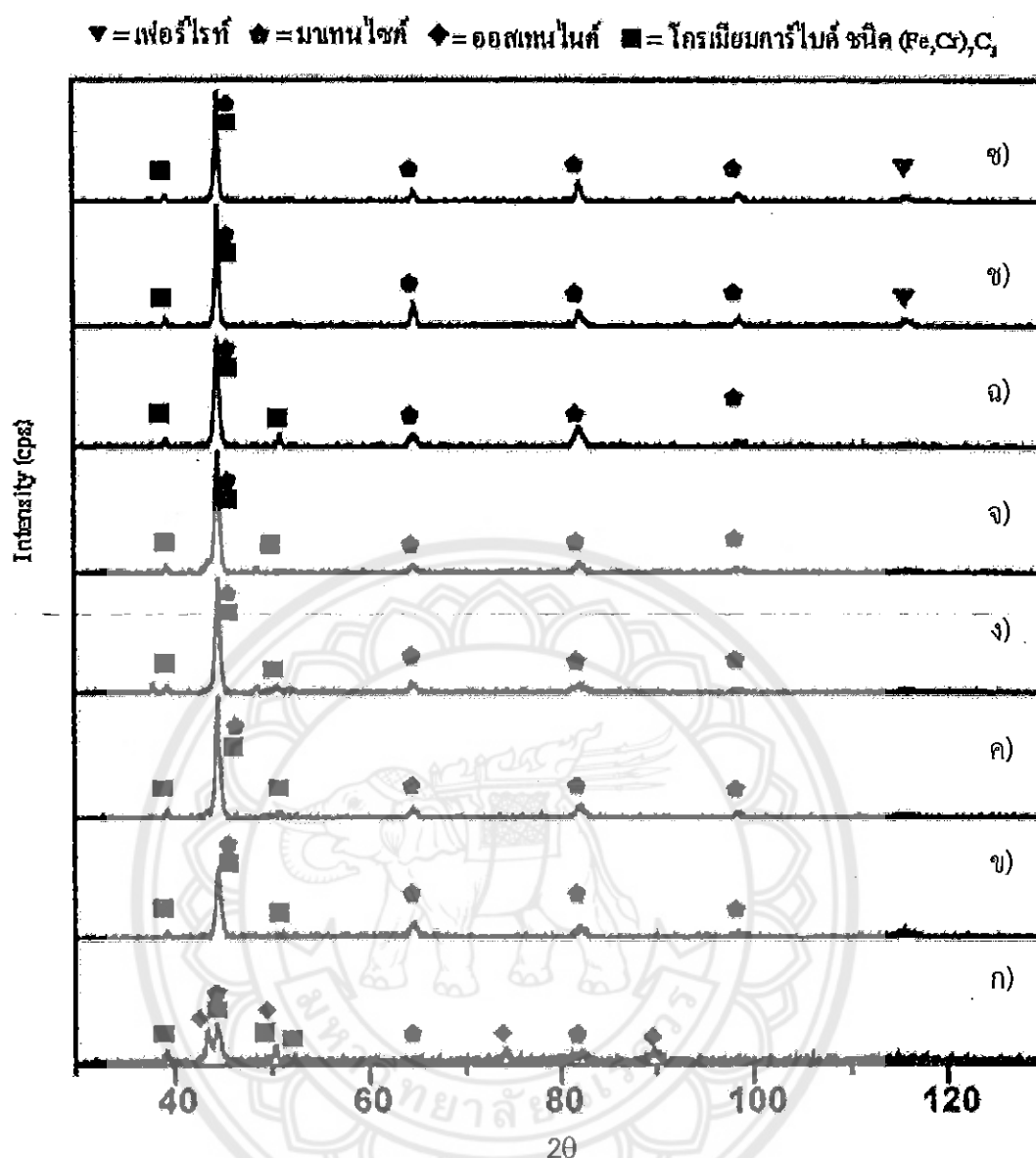
4.3.2 การศึกษาชนิดเฟสด้วยเทคนิคการเลี้ยวเบนของรังสีเอกซ์ของชิ้นงานอบเทมเปอร์ริ่ง

จากรูปที่ 4.21 และรูปที่ 4.22 แสดงรูปแบบการเลี้ยวเบนของรังสีเอกซ์ของเหล็กหล่อที่ไม่เติมโมลิบดินัม และเติมโมลิบดินัมที่ผ่านการอบเทมเปอร์ริ่ง พบร่วมกับโครงสร้างที่อ่อนหุ่นลง ชนิดที่ประกอบด้วย เฟสมาเทนไชต์ เฟสโครงเมียมคาร์ไบด์ชนิด M_7C_3 และยังพบว่าเฟสมาเทนไชต์มีปริมาณเพิ่มขึ้นมากกว่าหลังการอบดีสเตรบิไลเซชัน เมื่ออบเทมเปอร์ริ่งที่อุณหภูมิ 350 400 450 และ 500 องศาเซลเซียส พบร่วมกับเฟสมาเทนไชต์ และเฟสօอสเทนในตัวมีปริมาณเพิ่มขึ้น นอกจากนี้ยังพบว่า ที่อุณหภูมิ 500 และ 600 องศาเซลเซียส ของเหล็กหล่อโครงเมียมสูงที่ไม่เติมโมลิบดินัม เกิดเฟสเฟอร์ไรท์ และเฟสโครงเมียมคาร์ไบด์ชนิด $(Fe,Cr)_{23}C_6$ เนื่องจากเกิดการเปลี่ยนเฟสจากօอสเทนในตัว ตกค้างเป็นเฟอร์ไรท์ และโครงเมียมคาร์ไบด์ชนิด $(Fe,Cr)_{23}C_6$ ส่วนเหล็กหล่อโครงเมียมสูงที่เติมโมลิบดินัม หลังจากอบเทมเปอร์ริ่งที่อุณหภูมิ 550 และ 600 องศาเซลเซียส พบร่องรอยเฟสเฟอร์ไรท์ ส่วนที่อุณหภูมิ 600 องศาเซลเซียส ไม่พบเฟสโครงเมียมคาร์ไบด์ชนิด $(Fe,Cr)_{23}C_6$ ดังรูปที่ 4.22 โดยใช้เปรียบเทียบกับ Joint Committee Powder Diffraction Standards (JCPDS) ของօอสเทนในตัว หมายเลข 023-0298 โครงเมียมคาร์ไบด์ชนิด $(Fe,Cr)_7C_3$ หมายเลข 005-0720 โครงเมียมคาร์ไบด์ชนิด $(Fe,Cr)_{23}C_6$ หมายเลข 078-1500 เฟอร์ไรท์ หมายเลข 006-0696 และมาเทนไชต์ หมายเลข 044-1290 อย่างไรก็ตามการที่ไม่พบเฟสของօอสเทนในตัวตกค้างในผลการเลี้ยวเบนของรังสีเอกซ์ของชิ้นงาน อาจเนื่องมาจากข้อจำกัดของเครื่องทดสอบ ด้วยเทคนิคการเลี้ยวเบนของรังสีเอกซ์ที่ไม่สามารถตรวจปริมาณเฟสที่มีปริมาณต่ำๆ ได้

▼ = เฟอร์ไรด์ ● = นิกเกอร์ไนท์ ♦ = ออสตานไนท์ ■ = กรรมเมี่ยมการ์ไนท์ ชนิด $(\text{Fe}, \text{Cr})_3\text{C}_2$
 ▨ = กรรมเมี่ยมการ์ไนท์ ชนิด $(\text{Fe}, \text{Cr})_2\text{C}_6$



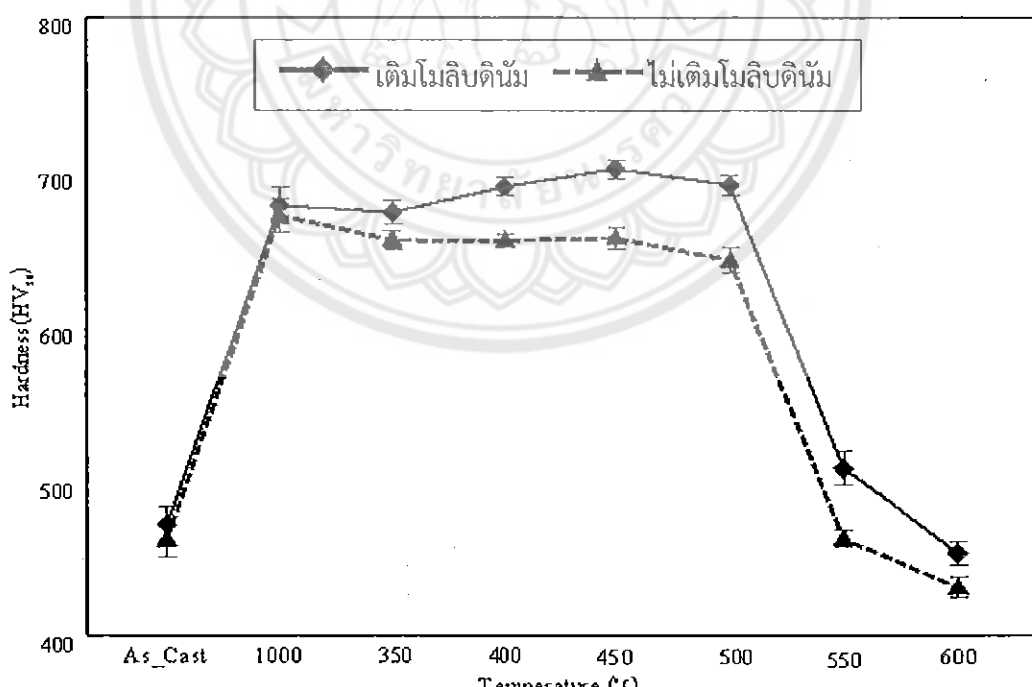
รูปที่ 4.21 รูปแบบการเดี้ยวบนของรังสีเอ็กซ์ของเหล็กหล่อที่ไม่เติมโนลิบดินัมโดยกำหนดให้
 ก) สภาพหล่อ
 ข) ตีสเตบีไลเซ็ชัน 1000 องศาเซลเซียส เป็นเวลา 4 ชั่วโมง
 ค) เทมเปอร์ริ่ง 350 องศาเซลเซียส
 ง) เทมเปอร์ริ่ง 400 องศาเซลเซียส
 จ) เทมเปอร์ริ่ง 450 องศาเซลเซียส
 ฉ) เทมเปอร์ริ่ง 500 องศาเซลเซียส
 ช) เทมเปอร์ริ่ง 550 องศาเซลเซียส
 ช) เทมเปอร์ริ่ง 600 องศาเซลเซียส



รูปที่ 4.22 รูปแบบการเลี้ยวเบนของรังสีเอ็กซ์ของเหล็กหล่อที่ไม่เติมโนลิบดินบ้มโดยกำหนดให้
 ก) สภาพหล่อ
 ข) ดีสเตรบีไลเซ็น 1000 องศาเซลเซียส เป็นเวลา 4 ชั่วโมง
 ค) เทมเปอร์ริ่ง 350 องศาเซลเซียส
 ง) เทมเปอร์ริ่ง 400 องศาเซลเซียส
 จ) เทมเปอร์ริ่ง 450 องศาเซลเซียส
 ฉ) เทมเปอร์ริ่ง 500 องศาเซลเซียส
 ช) เทมเปอร์ริ่ง 550 องศาเซลเซียส
 ซ) เทมเปอร์ริ่ง 600 องศาเซลเซียส

4.3.3 ผลของการอบเทมเปอร์ริ่งต่อความแข็ง

เมื่อทำการทดสอบความแข็งขึ้นงานเหล็กหล่อโครงเมียมสูงที่ไม่เติมโมลิบดินัม และที่เติมโมลิบดินัม และนำค่าที่ได้มาสร้างความสัมพันธ์ระหว่างอุณหภูมิและค่าความแข็งจะได้ ดังรูปที่ 4.23 จะเห็นว่าหลังการอบเทมเปอร์ริ่งที่อุณหภูมิ 350 ถึง 500 องศาเซลเซียสในเหล็กหล่อที่ไม่เติมโมลิบดินัมมีความแข็งมากกว่ากับขึ้นงานหลังการอบดีสเตบีไลเซชัน ส่วนในเหล็กหล่อที่เติมโมลิบดินัม ความแข็งมีแนวโน้มสูงขึ้น จากรายงานของ Pearce (2542) ได้อธิบายว่าในระหว่างเทมเปอร์ริงอนุภาคของโมลิบดินัมcarbideจะแตกตะกอนเพิ่มขึ้น ส่งผลให้ความแข็งมีค่าสูงขึ้น ทั้งนี้สอดคล้องกับภาพถ่ายโครงสร้างจุลภาคหลังการอบเทมเปอร์ริ่งที่อุณหภูมิ 350 ถึง 600 องศาเซลเซียส ดังรูปที่ 4.16 และรูปที่ 4.18 และจะเห็นได้ว่าบริเวณเดนไดรท์ที่อุณหภูมิ 350 ถึง 450 องศาเซลเซียส มีการแตกตะกอนของคาร์ไบด์ทุติยภูมิขนาดเล็ก และมีปริมาณมากเมื่ออุณหภูมิสูงขึ้นที่ 500 ถึง 600 องศาเซลเซียส มีการแตกตะกอนของคาร์ไบด์ทุติยภูมิขนาดใหญ่ และมีปริมาณน้อยลง นอกจากนี้จากการตรวจสอบด้วยเทคนิคการเลี้ยงเบนของรังสีเอ็กซ์ ดังรูปที่ 4.21 ชี้พบเฟสเฟอร์ไรท์ และคาร์ไบด์-ทุติยภูมิที่มีขนาดใหญ่ ปริมาตรลดลง และเฟสเฟอร์ไรท์ที่พบ เป็นสาเหตุให้ค่าความแข็งของขึ้นงานหลังอบเทมเปอร์ริ่งที่อุณหภูมิ 500 ถึง 600 องศาเซลเซียส มีความแข็งลดลง



รูปที่ 4.23 ผลของอุณหภูมิหลังการอบดีสเตบีไลเซชัน และการอบเทมเปอร์ริ่งต่อความแข็งของเหล็กหล่อโครงเมียมสูงที่ไม่เติมโมลิบดินัม และเติมโมลิบดินัม

บทที่ 5

บทสรุป และข้อเสนอแนะ

5.1 สรุปผล

5.1.1 เหล็กหล่อโครงเมียมสูงที่ไม่เติมโนลิบดินัม และเติมโนลิบดินัม โครงสร้างในสภาพหล่อประกอบด้วย ยูเทคติกคาร์ไบด์-อสเทนไนต์ และเดนไดร์ทที่มีโครงสร้างพื้นเป็นอสเทนไนต์ปฐมภูมิ หลังการอบดีสเตบีไลเซชันโครงสร้างประกอบด้วย ยูเทคติกคาร์ไบด์ และเดนไดร์ทที่มีโครงสร้างพื้นเป็น คาร์ไบด์ทุติยภูมิที่ตกตะกอนในมาเทนไซต์ และพบว่าหลังการอบเทมเปอร์ที่อุณหภูมิ 550 ถึง 600 องศาเซลเซียส เกิดโครงสร้างเฟอร์ไรท์

5.1.2 เหล็กหล่อโครงเมียมสูงที่ไม่เติมโนลิบดินัม และเติมโนลิบดินัมในสภาพหล่อ มีความแข็ง เฉลี่ยเท่ากับ 465 HV_{30} และ 475 HV_{30} หลังการอบดีสเตบีไลเซชันมีความแข็งเฉลี่ยเพิ่มขึ้นมากกว่า สภาพหล่อ และพบว่าหลังอบเทมเปอร์ที่อุณหภูมิ 550 ถึง 600 องศาเซลเซียส ความแข็งลดลง ใกล้เคียงกับในสภาพหล่อ

5.2 ข้อเสนอแนะ และการพัฒนา

5.2.1 จากการวิจัยที่ผ่านมาพบว่า ปัจจัยที่มีผลต่อความแข็งของเหล็กหล่อโครงเมียมสูงนั้นมี หลายปัจจัย คือ ลักษณะ กระจายตัว ชนิด และบริเวณของการไบด์ทั้งยูเทคติกคาร์ไบด์ และคาร์ไบด์- ทุติยภูมิ รวมทั้งโครงสร้างของเดนไดร์ท ดังนั้น การทำการวิเคราะห์ชนิด และปริมาณของการไบด์ ยูเทคติก คาร์ไบด์ทุติยภูมิ เทมเปอร์คาร์ไบด์ และโนลิบดินัมคาร์ไบด์

5.2.2 ควรมีการศึกษาชนิดของคาร์ไบด์ทุติยภูมิ และคาร์ไบด์ขนาดเล็กที่เกิดขึ้นด้วยกล้อง จุลทรรศน์อิเล็กตรอนแบบส่องผ่าน (TEM)

5.3 ปัญหา และแนวทางการแก้ไข

เนื่องจากเครื่องมือที่ใช้วิเคราะห์มีจำนวนไม่เพียงพอ จึงทำให้ใช้เวลามากขึ้น แก้ปัญหาโดยการ วางแผนการทำงาน เช่น ควรจองเครื่องไว้ล่วงหน้าโดยคำนวณเวลาในการเตรียมตัวอย่างซึ่งงานที่ใช้ วิเคราะห์ให้ทันวันที่จองเครื่อง และควรจองจำนวนวันเพื่อไว้ เพราะว่าการทดสอบอาจจะมี ข้อผิดพลาดต้องแก้ไข

เอกสารอ้างอิง

- ประกายทิพย์ กิติคุณ และอัมพร เวียงมูล. 2550. การศึกษาโครงสร้างจุลภาคของเหล็กหล่อ
โครเมียมสูง. ภาควิชาฟิสิกส์ คณะวิทยาศาสตร์ มหาวิทยาลัยนเรศวร.
มนัส สติรจินดา. 2527. เหล็กหล่อ. วิศวกรรมสถานแห่งประเทศไทย. พิมพ์ครั้งที่ 1.
สยาม แก้วคำไสย. 2554. การวิเคราะห์ความเสียหายและการกัดกร่อนของโลหะ เรื่องเหล็กกล้า
รีสันิม ตอนที่ 15 สืบค้นเมื่อ 11 พฤษภาคม 2554.
http://siamkaewkumsai.blogspot.com/2011_02_01_archive.html.
- อัมพร เวียงมูล. 2549. อิทธิพลของการอบชุบทาทางความร้อนและการเติมธาตุต่อโครงสร้างจุลภาค
และสมบัติของเหล็กหล่อโครเมียมสูง. ภาควิชาฟิสิกส์ คณะวิทยาศาสตร์
มหาวิทยาลัยนเรศวร.
-
- Chicco, B., and Thorpe, W.R., 1993. On the solidification of pure C-Cr-Fe alloys. Cast
metals, 5, 203-211.
- Pearce, J.T.H., 1999. High Chromium iron to resist ware. Proceeding of the Sixth
Asian Foundry Congress, Jan 23-26, Calcutta India, 120-134
- Thorpe, W.R. and Chicco, B., 1985. The Fe-rich corner of the metasable C-Cr-Fe
liquidus surface. Metall. Trans. A, 16A, 1541-1549.
- Wiengmoon, A., 2005. Microstructures of carbides in high chromium cast irons.
Ph.D. Thesis. Chiang Mai University, Thailand.



ตารางที่ ก.1 ผลของการอบดีสเตบ์ไลเซนต์ความแข็งของเหล็กหล่อโครงเมียมสูง
ที่ไม่เติมโมลิบดินัม

อุณหภูมิ (องศาเซลเซียส)	หลังการอบดีสเตบ์ไลเซนต์								
	900			1000			1100		
เวลา (ชั่วโมง)	2	4	8	2	4	8	2	4	8
ค่าความแข็ง (HV_{30}) จุดที่ 1	614	639	664	701	729	687	671	528	500
ค่าความแข็ง (HV_{30}) จุดที่ 2	610	653	630	705	720	677	610	533	495
ค่าความแข็ง (HV_{30}) จุดที่ 3	604	652	659	715	728	672	614	552	497
ค่าความแข็ง (HV_{30}) จุดที่ 4	615	645	664	712	720	729	627	563	522
ค่าความแข็ง (HV_{30}) จุดที่ 5	657	657	657	706	722	755	608	547	505
ค่าความแข็ง (HV_{30}) จุดที่ 6	639	653	664	718	733	720	626	536	489
ค่าความแข็ง (HV_{30}) จุดที่ 7	661	641	628	698	732	703	611	543	495.
ค่าความแข็ง (HV_{30}) จุดที่ 8	625	645	624	699	732	715	637	540	515
ค่าความแข็ง (HV_{30}) จุดที่ 9	624	657	642	702	735	712	615	558	489
ค่าความแข็ง (HV_{30}) จุดที่ 10	613	642	631	717	705	670	624	552	502
เฉลี่ย	626	648	646	707	726	704	624	545	501

**ตารางที่ ก.2 ผลของการอบดีสเตบีโลเชันต่อความแข็งของเหล็กหล่อโครงเมียมสูง
ที่เติมโมลิบดินัม**

อุณหภูมิ (องศาเซลเซียส)	หลังการอบดีสเตบีโลเชัน								
	900			1000			1100		
เวลา (ชั่วโมง)	2	4	8	2	4	8	2	4	8
ค่าความแข็ง (HV_{30}) จุดที่ 1	664	676	701	720	729	769	624	536	499
ค่าความแข็ง (HV_{30}) จุดที่ 2	657	684	691	769	728	771	631	467	502
ค่าความแข็ง (HV_{30}) จุดที่ 3	614	564	699	751	720	779	642	540	515
ค่าความแข็ง (HV_{30}) จุดที่ 4	662	679	700	746	750	778	635	543	499
ค่าความแข็ง (HV_{30}) จุดที่ 5	649	588	699	720	742	700	617	532	481
ค่าความแข็ง (HV_{30}) จุดที่ 6	639	592	680	737	732	695	632	538	492
ค่าความแข็ง (HV_{30}) จุดที่ 7	628	567	691	720	732	778	628	538	494
ค่าความแข็ง (HV_{30}) จุดที่ 8	635	635	699	724	751	731	639	544	482
ค่าความแข็ง (HV_{30}) จุดที่ 9	642	676	684	712	733	769	656	525	488
ค่าความแข็ง (HV_{30}) จุดที่ 10	608	683	707	755	729	728	631	541	499
เฉลี่ย	640	634	695	735	735	750	634	530	495

**ตารางที่ ก.3 ผลของการอบดีสเตบีไลเซชัน และการอบเทมเปอร์ิ่งต่อความแข็ง
ของเหล็กหล่อໂຄຣເມີຍນສູງທີ່ເຕີມໂນລົບດິນນັມ**

อุณหภูมิ (องศาเซลเซียส)	สภาพหล่อ	ดีสเตบีไลเซชัน	หลังการอบดีสเตบีไลเซชันและเทมเปอร์ิ่ง					
			350	400	450	500	550	600
ค่าความแข็ง (HV_{30}) จุดที่ 1	467	673	650	653	669	639	461	424
ค่าความแข็ง (HV_{30}) จุดที่ 2	471	661	663	663	657	654	466	432
ค่าความแข็ง (HV_{30}) จุดที่ 3	474	664	657	656	668	633	468	430
ค่าความแข็ง (HV_{30}) จุดที่ 4	462	672	656	657	661	649	456	438
ค่าความแข็ง (HV_{30}) จุดที่ 5	446	667	654	654	652	652	464	426
ค่าความแข็ง (HV_{30}) จุดที่ 6	455	663	656	654	650	644	466	428
ค่าความแข็ง (HV_{30}) จุดที่ 7	460	694	661	652	659	635	461	421
ค่าความแข็ง (HV_{30}) จุดที่ 8	469	664	664	663	653	639	469	440
ค่าความแข็ง (HV_{30}) จุดที่ 9	477	686	654	656	655	633	452	437
ค่าความแข็ง (HV_{30}) จุดที่ 10	443	679	646	651	650	652	464	436
เฉลี่ย	462	672	656	656	657	643	463	431

**ตารางที่ ก.4 ผลของการอบตีสเตบป์ไลเซ็นส์ และการอบรมเพื่อปรับต่อความแข็ง
ของเหล็กหล่อโครงนิยมสูงที่เติมโมลิบดินัม**

อุณหภูมิ (องศาเซลเซียส)	สภาพหล่อ	ตีสเตบป์ไลเซ็นส์	หลังการอบตีสเตบป์ไลเซ็นส์และเหมเปอร์ริง					
			350	400	450	500	550	600
ค่าความแข็ง (HV_{30}) จุดที่ 1	467	678	798	681	692	691	515	463
ค่าความแข็ง (HV_{30}) จุดที่ 2	461	685	679	700	708	702	518	455
ค่าความแข็ง (HV_{30}) จุดที่ 3	471	699	684	694	701	688	514	464
ค่าความแข็ง (HV_{30}) จุดที่ 4	477	681	665	686	705	691	500	456
ค่าความแข็ง (HV_{30}) จุดที่ 5	475	663	677	687	692	693	518	446
ค่าความแข็ง (HV_{30}) จุดที่ 6	477	682	661	699	699	703	507	448
ค่าความแข็ง (HV_{30}) จุดที่ 7	487	675	682	693	706	681	512	462
ค่าความแข็ง (HV_{30}) จุดที่ 8	457	663	668	690	705	686	504	450
ค่าความแข็ง (HV_{30}) จุดที่ 9	459	667	672	689	709	695	483	445
ค่าความแข็ง (HV_{30}) จุดที่ 10	490	694	686	687	706	689	516	584
เฉลี่ย	472	679	687	691	702	692	509	467

ประวัติผู้ดำเนินโครงการ



- ชื่อ นายศรัณย์ พลับเที่ยง
ภูมิลำเนา 11/3 หมู่ 5 ต.ท่าโพธิ์ อ.เมือง จ.พิษณุโลก
ประวัติการศึกษา
- จบระดับมัธยมศึกษา
 - จากโรงเรียนพิษณุโลกพิทยาคม
 - ปัจจุบันกำลังศึกษาในระดับปริญญาตรีชั้นปีที่ 4
สาขาวิชารัฐศาสตร์ คณะวิศวกรรมศาสตร์
มหาวิทยาลัยนเรศวร

E-mail: runner2up@hotmail.com



- ชื่อ นางสาวอรทัย เทียนสีเม่วง
ภูมิลำเนา 82 หมู่ 9 ต.ท่าสัก อ.พิชัย จ.อุตรดิตถ์
ประวัติการศึกษา
- จบระดับมัธยมศึกษาจากโรงเรียนกาญจนากิจกิจวิทยาลัย เพชรบูรณ์
 - ปัจจุบันกำลังศึกษาในระดับปริญญาตรีชั้นปีที่ 4
สาขาวิชารัฐศาสตร์ คณะวิศวกรรมศาสตร์
มหาวิทยาลัยนเรศวร

E-mail: orrathai01371@hotmail.com